

PERPUSTAKAAN FTSP	
HADIAMBELI	
TGL TERIMA :	2001-2001
NO. JUDUL :	
NO. INV. :	133-133-133
NO. INDIK :	

**TUGAS AKHIR**

**PENGARUH TEPUNG KACA TERHADAP KUAT  
DESAK DAN KUAT LENTUR BALOK BETON**

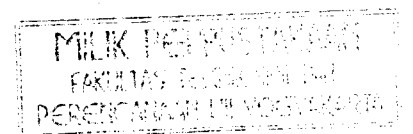


Disusun Oleh :

**Aryawan Widodo**  
No Mhs : 94 310 209

**Bobby Satriohadi**  
No Mhs : 94 310 229

TA  
601 3  
wido  
B  
01



**JURUSAN TEKNIK SIPIL  
FAKULTAS TEKNIK SIPIL DAN PERENCANAAN  
UNIVERSITAS ISLAM INDONESIA  
YOGYAKARTA  
2001**

LEMBAR PENGESAHAN  
TUGAS AKHIR

PENGARUH TEPUNG KACA  
TERHADAP KUAT DESAK DAN KUAT  
LENTUR BALOK BETON

disusun oleh :

Nama : Aryawan Widodo  
No. Mhs : 94 310 209

Nama : Bobby Satriohadi  
No. Mhs : 94 310 229

Telah diperiksa dan disetujui oleh:

Ir. Ibnu Sudarmadji, MS  
Dosen Pembimbing I

  
Tanggal : 07/07 - 2021

Ir. Fatkhurrohman NS, MT  
Dosen Pembimbing II

  
Tanggal : 07/4 2021

## MOTTO dan PERSEMBAHAN

### MOTTO:

“Niscaya Allah akan meningkatkan orang-orang yang beriman diantaramu dan orang-orang yang diberi ilmu pengetahuan beberapa derajat. Dan Allah Maha Mengetahui apa yang kamu kerjakan”

**(Q.S. Al-Mujaadilah ayat 11)**

“Sesungguhnya sesudah kesulitan itu ada kemudahan”

**(Q.S. Alam Nasyrah ayat 6)**

“..... Katakanlah “Adakah sama orang-orang yang mengetahui dan orang-orang yang tidak mengetahui ? Sesungguhnya hanya orang yang berakallah yang dapat menerima pelajaran”.

**(Q.S. Az – Zumar ayat 9)**

Kupersembahkan *Tugas Akhir* ini kepada:  
Ayah dan Ibu yang kami hormati dan  
cintai,  
Kakak Adik kami yang kusayangi,  
yang telah mendo'akan dan  
memberikan kasih sayang, semangat,  
dan kepercayaan

## KATA PENGANTAR

*Assalammu'alaikum Wr.Wb.*

Puji syukur dipanjatkan kehadiran Allah SWT atas limpahan rahmat dan ridho-Nya, khususnya kepada penyusun sehingga dapat menyelesaikan Tugas Akhir ini, yang merupakan syarat guna memperoleh derajat strata satu (S-1) pada Jurusan Teknik Sipil, Fakultas Teknik Sipil dan Perencanaan, Universitas Islam Indonesia.

Dalam penyelesaian tugas ini tidak lepas dari dukungan serta sumbangan pikiran dan saran dari berbagai pihak yang selalu memberikan motivasi dalam menghadapi hambatan yang terjadi selama penyusunan. Untuk itu dengan segala hormat dan keikhlasan hati penyusun haturkan terima kasih kepada:

1. Bapak Ir. Ibnu Sudarmadji, MS, selaku Dosen Pembimbing I,
2. Bapak Ir. Fatkhurrohman NS, MT, selaku Dosen Pembimbing II dan Kepala Bagian Laboratorium Struktur, Jurusan Teknik Sipil, Universitas Islam Indonesia Yogyakarta,
3. Bapak Ir. H. Susastrawan, MS, selaku Dosen Penguji,
4. Orang tua yang telah memberi dorongan moril maupun materiil dalam penyusunan Tugas Akhir ini,
5. Bapak Ir. H. Widodo, MSCE, PhD, selaku Dekan Fakultas Teknik Sipil dan Perencanaan, Universitas Islam Indonesia Yogyakarta,

6. Bapak Ir. Tadjuddin BMA, MS, selaku Ketua Jurusan Teknik Sipil, Fakultas Teknik Sipil dan Perencanaan, Universitas Islam Indonesia Yogyakarta,
7. Bapak Ir. Ilman Noor, MSCE, selaku Kepala Laboratorium Bahan Konstruksi Teknik, Jurusan Teknik Sipil, Universitas Islam Indonesia Yogyakarta,
8. Bapak Sigit, selaku Laboran Laboratorium Geologi, Jurusan Teknik Pertambangan, Universitas Pembangunan Nasional Yogyakarta,
9. Bapak Darussalam dan Bapak Warno selaku Laboran Laboratorium Bahan Konstruksi Teknik, Jurusan Teknik Sipil, Universitas Islam Indonesia Yogyakarta,
10. Bapak Drs. Maryadi, MS selaku Kepala Balai Teknik Kesehatan Lingkungan (BTKL) Yogyakarta, dan
11. Teman-teman yang telah membantu dalam penyusunan Tugas Akhir ini.

Penyusun menyadari dalam penyelesaian Tugas Akhir ini masih banyak kekurangan, untuk itu penyusun mengharap kritik dan saran yang bersifat membangun.

Akhir kata, penyusun berharap semoga Tugas Akhir ini dapat bermanfaat bagi penyusun dan pembaca pada umumnya.

Semoga Allah SWT selalu memberkati, Amien.

*Wassalamu'alaikum Wr. Wb.*

Yogyakarta, April 2001

Penyusun

## DAFTAR ISI

<b>HALAMAN JUDUL</b> .....	i
<b>HALAMAN PENGESAHAN</b> .....	ii
<b>HALAMAN MOTTO DAN PERSEMBAHAN</b> .....	iii
<b>KATA PENGANTAR</b> .....	iv
<b>DAFTAR ISI</b> .....	vi
<b>DAFTAR GAMBAR</b> .....	x
<b>DAFTAR TABEL</b> .....	xi
<b>DAFTAR LAMPIRAN</b> .....	xii
<b>DAFTAR NOTASI</b> .....	xiii
<b>INTISARI</b> .....	xvi
<b>BAB I PENDAHULUAN</b> .....	1
1.1 Latar Belakang .....	1
1.2 Rumusan Masalah .....	2
1.3 Tujuan Penelitian .....	2
1.4 Manfaat Penelitian .....	2
1.5 Batasan Penelitian .....	3
<b>BAB II TINJAUAN PUSTAKA</b> .....	4
2.1 Konsep Beton Struktural .....	4
2.2 Bahan Penyusun Beton .....	6
2.3 Bahan Campuran .....	10

<b>BAB III LANDASAN TEORI</b> .....	12
3.1 Umum .....	12
3.2 Beton Bertulang .....	12
3.3 Hubungan Silika dan Perubahan Mutu Semen Portland .....	13
3.4 Tinjauan Tepung Kaca sebagai “Puzzolan” .....	14
3.5 Tinjauan Tepung Kaca sebagai bahan pengisi (“filler”) .....	15
3.6 Kuat Desak Beton.....	17
3.7 Momen Lentur Balok Normal .....	18
3.8 Hubungan Beban dan Lendutan .....	21
3.9 Hubungan Momen dan Kelengkungan .....	22
3.10 Hipotesis .....	28
<b>BAB IV METODE PENELITIAN</b> .....	29
4.1 Material Pembentuk Beton .....	29
4.1.1 Semen .....	29
4.1.2 Agregat.....	29
4.1.3 Air.....	29
4.1.4 Baja Tulangan .....	29
4.1.5 Tepung Kaca .....	30
4.2 Peralatan Pengujian .....	30
4.2.1 Timbangan .....	30
4.2.2 Mistar dan Kaliper .....	30
4.2.3 Ayakan .....	30

4.2.4	Mesin Pemecah Batu .....	31
4.2.5	Mesin Penyaring .....	31
4.2.6	Mesin Pengaduk Beton .....	31
4.2.7	Cetok dan Talam Baja .....	31
4.2.8	Kerucut Abrahms .....	31
4.2.9	Mesin Uji Kuat Tarik .....	32
4.2.10	Mesin Uji Kuat Desak .....	32
4.2.11	“Loading Frame” .....	32
4.2.12	Dukungan Sendi dan Rol.....	33
4.2.13	Sel Beban .....	34
4.2.14	“Tranducer Indicator” .....	35
4.2.15	Dongkrak Hidrolik .....	35
4.2.16	“Dial Gauge” .....	36
4.3	Pelaksanaan Penelitian .....	36
4.3.1	Persiapan .....	36
4.3.2	Pembuatan dan Perawatan Model .....	37
4.3.3	Pelaksanaan Pengujian .....	38
<b>BAB V</b>	<b>HASIL DAN PEMBAHASAN .....</b>	<b>40</b>
5.1	Hasil Penelitian .....	40
5.1.1	Hasil Uji Kandungan Silika Tepung Kaca .....	40
5.1.2	Hasil Uji Kuat Desak Beton .....	40
5.1.3	Hasil Uji Kuat Tarik Baja Tulangan .....	42

5.1.4 Hasil Uji Lentur Balok Beton Bertulang .....	42
5.2 Pembahasan .....	46
5.2.1 Kandungan Silika Tepung Kaca.....	46
5.2.2 Kuat Desak Beton .....	47
5.2.3 Kuat Tarik Baja .....	47
5.2.4 Kuat Lentur ditinjau dari Hubungan Beban dan Lendutan ..	48
5.2.5 Kuat Lentur ditinjau dari Hubungan Momen dan Kelengkungan .....	49
5.2.4 Kuat Lentur ditinjau dari Hubungan Beban dan Jarak Dua Retak .....	50
<b>BAB VI KESIMPULAN DAN SARAN .....</b>	<b>51</b>
6.1 Kesimpulan .....	51
6.2 Saran .....	51
<b>DAFTAR PUSTAKA .....</b>	<b>53</b>
<b>LAMPIRAN</b>	

## DAFTAR GAMBAR

	<b>Hal</b>
Gambar 2.1 Hubungan Kuat Desak Beton dengan “Gel Space Ratio”	5
Gambar 2.2 Grafik Hubungan antara Umur dan Kuat Desak Beton	8
Gambar 3.1 Skema Komposisi Pasta Semen	16
Gambar 3.2 Skema Hidrasi Semen	16
Gambar 3.3 Hubungan Kuat Desak dan Porositas	17
Gambar 3.4 Distribusi Regangan dan Tegangan Lentur Balok Beton Normal	19
Gambar 3.5 Hubungan Beban dan Lendutan	22
Gambar 3.6 Kelengkungan Balok Beton Bertulang	23
Gambar 3.7 Lendutan Balok	25
Gambar 3.8 Kurva Momen – Kelengkungan Ideal	27
Gambar 3.9 Diagram P - $\Delta$ dari Pengujian Kuat Lentur	28
Gambar 4.1 “Loading Frame”	33
Gambar 4.2 Dukungan Sendi dan Rol	33
Gambar 4.3 (a) Bentuk “Load Cell” ; (b) Sirkuit “Full Bridge”	34
Gambar 4.4 “Transducer Indicator”	35
Gambar 4.5 Dongkrak Hidrolik	35
Gambar 4.6 “Dial Gauge”	36
Gambar 4.7 Model Balok Uji	37
Gambar 5.1 Grafik Kenaikan Kuat Desak Silinder Beton	41
Gambar 5.2 Grafik Hubungan Beban dan Lendutan	42
Gambar 5.3 Grafik Kenaikan Kapasitas Balok	43
Gambar 5.4 Grafik Bilinier Momen dan Kelengkungan	44
Gambar 5.5 Grafik Kenaikan Faktor Kekakuan	45
Gambar 5.6 Grafik Hubungan Beban dan Jarak Retak	46

## DAFTAR TABEL

	<b>Hal</b>
Tabel 2.1 Susunan Unsur Kimia Semen Portland	6
Tabel 2.2 Prosentase Senyawa Kimia Semen Portland	9
Tabel 2.3 Komposisi Kimia dari Botol Kaca	11
Tabel 5.1 Hasil Analisa Silika Tepung Kaca	40
Tabel 5.2 Hasil Uji Desak Silinder Beton	41
Tabel 5.3 Hasil Uji Tarik Baja	42
Tabel 5.4 Hasil Analisa Beban dan Lendutan	43
Tabel 5.5 Hasil Perhitungan Momen – Kelengkungan Teoritis	44
Tabel 5.6 Hasil Analisa Momen–Kelengkungan dengan Faktor Kekakuan	45

## DAFTAR LAMPIRAN

1. Data Hasil Uji Kimia Tepung Kaca	Lampiran 1
2. Data Pemeriksaan Modulus Halus Butir Pasir	Lampiran 2
3. Data Pemeriksaan Berat Volume Agregat Kasar	Lampiran 3
4. Data Pemeriksaan Berat Jenis Agregat Halus	Lampiran 4
5. Data Pemeriksaan Berat Jenis Agregat Kasar	Lampiran 5
6. Data Hasil Uji Tegangan Tarik Baja	Lampiran 6
7. Data Hasil Uji Desak Silinder Beton	Lampiran 7
8. Data Hasil Uji Lentur Balok Beton	Lampiran 8
9. Analisa Kandungan Silika Tepung Kaca	Lampiran 9
10. Hitungan “Mix Design” Dengan Metoda ACI	Lampiran 10
11. Analisa Momen Kelengkungan Teoritis	Lampiran 11
12. Rencana Pembebanan Balok Beton Bertulang	Lampiran 12
13. Analisa Hasil Kuat Desak Beton	Lampiran 13
14. Grafik Data Hasil Uji Lentur	Lampiran 14
15. Gambar Retak Balok	Lampiran 15
16. Grafik dan Data Hubungan Beban terhadap Jarak Dua Retak	Lampiran 16
17. Dokumentasi	Lampiran 17

## DAFTAR NOTASI

- $\phi$  = kelengkungan
- $\sigma'_{bk}$  = kuat desak beton karateristik
- $\sigma'_{bm}$  = kuat desak beton rata-rata benda uji
- $\sigma'_b$  = kuat desak beton
- $\alpha$  = rasio kekakuan lentur penampang balok
- $\beta_1$  = faktor reduksi tinggi blok tegangan desak ekivalen beton,
- $\phi_1$  = kelengkungan leleh pertama
- $\phi_u$  = kelengkungan ultimit
- $\epsilon_c$  = regangan beton
- $\epsilon_s$  = regangan baja
- $\pi$  = konstanta = 3,14
- $\Delta$  = lendutan
- $\rho$  = rasio penulangan
- $\Phi$  = faktor reduksi kekuatan
- $a$  = tinggi blok tegangan desak persegi ekivalen
- $A_s$  = luas tulangan tarik
- $A_s'$  = luas tulangan desak
- $b$  = lebar penampang balok

- $c$  = jarak dari serat terluar desak ke garis netral  
 $C_c$  = resultan gaya desak beton  
 $C_s$  = resultan gaya desak baja  
 $d$  = tinggi efektif penampang balok  
 $d'$  = jarak dari serat desak terluar ke titik berat baja desak  
 $E_c$  = modulus elastis beton  
 $E_s$  = modulus elastis baja  
 $EI$  = faktor kekakuan  
 $f_c'$  = kuat desak beton  
 $f_r$  = modulus retak balok  
 $f_y$  = tegangan leleh baja  
 $h$  = tinggi total balok  
 $I$  = momen inersia penampang balok terhadap garis netral  
 $jd$  = lengan dari titik berat dari baja desak dan beton ketitik berat tulangan tarik  
 $k$  = kekakuan  
 $M$  = momen terfaktor  
 $M_{cr}$  = momen yang menyebabkan terjadinya retak lentur pada penampang akibat beban luar  
 $M_n$  = momen nominal suatu penampang  
 $M_u$  = momen terfaktor pada penampang  
 $M_y$  = tahanan momen yang disumbangkan oleh tulangan kepala geser  
 $N$  = jumlah sampel

- $P$  = beban aksial
- $R$  = jari-jari kelengkungan
- $s$  = standar deviasi
- SR = "silica ratio"
- $T_s$  = resultan gaya tarik dari baja
- $V_w$  = volume air
- $V_a$  = volume udara
- $V_g$  = volume gel
- $V_p$  = volume semen yang digunakan untuk proses hidrasi
- $y_a$  = jarak dari garis netral ke serat luar desak balok
- $X_F$  = "gel-space ratio"

## INTISARI

*Pecahan botol kaca merupakan salah satu limbah industri rumah tangga yang pemanfaatannya belum optimal karena selama ini hanya didaur ulang kembali menjadi berbagai produk kaca padahal dengan kandungan silika, SiO<sub>2</sub> sebesar 71,9 % limbah yang diubah menjadi tepung dengan ukuran 75 – 150 μm tersebut dapat berfungsi sebagai “puzzolan” dan “filler” sehingga dengan menambahkannya ke dalam adukan beton dengan mereduksi jumlah semen, bahan tersebut diperkirakan dapat meningkatkan kuat desak dan kuat lentur balok beton. Penelitian ini dilakukan untuk mengetahui kenaikan penurunan kuat desak dan kuat lentur balok beton dengan beberapa variasi campuran tepung kaca. Pengujian balok dilakukan dengan pembebanan statis pada  $\frac{1}{3}$  bentang atau “One-Third Point Loading”, beban statis ditingkatkan dari 0 kN sampai balok mengalami keruntuhan. Pada setiap pembebanan statis lendutan yang terjadi pada titik-titik yang ditentukan diukur lalu dibuat grafik yang menunjukkan hubungan antara beban (P) dan lendutan ( $\Delta$ ) dan dengan menggunakan tiga titik bantu, data dianalisis dengan metode numeris “central differences”, kemudian dibuat grafik yang menunjukkan hubungan momen (M) dan kelengkungan ( $\phi$ ). Hasil dari penelitian ini menunjukkan bahwa penambahan tepung kaca 10 % dari berat semen mengakibatkan kenaikan kuat desak silinder beton ( $f'c$ ) sebesar 38,8 %, kekakuan balok (k) mengalami kenaikan sebesar 17,96 %, faktor kekakuan (EI) naik sebesar 122,2 % dan kenaikan kapasitas balok sebesar 15,97 %. Dari penelitian ini hasil yang didapatkan yaitu kemampuan balok dengan campuran tepung kaca dalam menahan beban (P) mengalami kenaikan, lendutan ( $\Delta$ ) mengalami penurunan, momen (M) mengalami kenaikan, kelengkungan ( $\phi$ ) mengalami penurunan dan kekakuan (k) mengalami kenaikan. Hal ini terjadi karena kenaikan kuat desak beton ( $f'c$ ).*

*Kata kunci: “puzzolan”, “filler”, lendutan, kelengkungan, kekakuan*

# **BAB I**

## **PENDAHULUAN**

### **1.1 Latar Belakang**

Dewasa ini perkembangan industri maju makin meningkat seiring dengan perkembangan ilmu dan teknologi. Namun fenomena tersebut tidak selamanya dapat diimbangi dengan penanganan limbah yang timbul akibat kegiatan industri rumah tangga, contohnya adalah pecahan botol kaca. Selama ini usaha pemanfaatan limbah tersebut belum optimal dan hanya dilakukan dengan cara mendaur ulang pecahan botol kaca menjadi berbagai produk kaca seperti gelas, piring, mangkok, botol, lampu dan sebagainya.

Pada umumnya kandungan unsur kimia pecahan botol kaca hampir sama dengan semen portland. Berdasarkan uji kandungan kimia pecahan botol kaca jenis kalsit yang dilakukan di Balai Teknik Kesehatan Lingkungan Yogyakarta (BTKL), ternyata silika,  $\text{SiO}_2$ , merupakan unsur kimia botol kaca yang paling dominan yaitu mencapai 71,9 % sehingga limbah ini merupakan “puzzolan” yaitu bahan yang bereaksi dengan kapur ikat bebas selama pengikatan semen. Dengan menghancurkan dan menggiling pecahan kaca menjadi tepung dengan ukuran  $75 \mu\text{m} - 150 \mu\text{m}$ , pecahan kaca dapat dimanfaatkan sebagai “puzzolan” dan bahan

pengisi (“filler”) untuk memperbaiki mutu beton dengan komposisi campuran berupa semen portland : pasir : kerikil : tepung kaca.

### **1.2 Rumusan Masalah**

Dalam penelitian ini, tepung kaca dipakai sebagai pengganti sebagian dari berat semen. Dengan mempertimbangkan latar belakang masalah yang telah diuraikan, maka dapat diambil rumusan masalah sebagai berikut :

1. kenaikan kuat desak silinder dan kuat lentur balok beton akibat penambahan tepung kaca, dan
2. mencari prosentase perbandingan campuran tepung kaca terhadap berat semen yang menghasilkan kuat desak dan lentur paling maksimum.

### **1.3 Tujuan Penelitian**

Penelitian ini bertujuan untuk membuat beton alternatif dengan memanfaatkan tepung kaca sebagai bahan campuran.

### **1.4 Manfaat Penelitian**

Manfaat yang diharapkan dari penelitian ini adalah :

1. memberikan informasi tentang jumlah prosentase tepung kaca terhadap peningkatan kuat desak beton yang masih memenuhi syarat untuk dipakai sebagai bahan campuran beton, dan
2. hasil penelitian ini diharapkan dapat bermanfaat bagi perkembangan ilmu teknologi beton dan jasa konstruksi.

### 1.5 Batasan Penelitian

Batasan penelitian ini dibuat agar masalah yang akan diteliti lebih terarah.

Adapun batasan penelitian tersebut adalah :

1. penelitian eksperimental dengan maksud mencari kuat desak dan kuat lentur balok,
2. kuat desak rencana  $f_c'$  adalah 25 Mpa,
3. agregat kasar digunakan kerikil dari Celereng, agregat halus adalah pasir dari Kali Krasak sedangkan semen yang dipakai adalah Semen Gresik, tipe I,
4. tepung kaca yang dipakai berasal dari pecahan botol kaca dengan ukuran 75 – 150  $\mu\text{m}$  sedangkan variasi tepung kaca terhadap berat semen adalah sebesar 2,5 %; 5 %; 7,5 %; dan 10 %,
5. digunakan tulangan polos dengan perincian;  $\varnothing 12$  mm untuk tulangan baja tarik,  $\varnothing 8$  mm untuk tulangan baja desak sedangkan untuk tulangan sengkang dipakai  $\varnothing 6$  mm,
6. benda uji yang digunakan adalah silinder beton dengan dimensi 300 x 150 mm untuk uji kuat desak dan balok beton bertulang dengan dimensi 1800 x 100 x 200 mm untuk uji kuat lentur,
7. jumlah sampel untuk tiap variasi adalah 10 buah silinder beton dan 2 buah balok beton bertulang, dan
8. Air yang digunakan adalah dari Laboratorium Bahan Konstruksi, Jurusan Teknik Sipil, Universitas Islam Indonesia, Yogyakarta.

## BAB II

### TINJAUAN PUSTAKA

#### 2.1 Konsep Beton Struktural

Menurut **Standar SK-SNI, (1991)**, beton terbuat dari bahan semen portland, air, agregat/batuan kasar dan halus dalam proporsi perbandingan tertentu dengan atau tanpa bahan tambah membentuk massa padat.

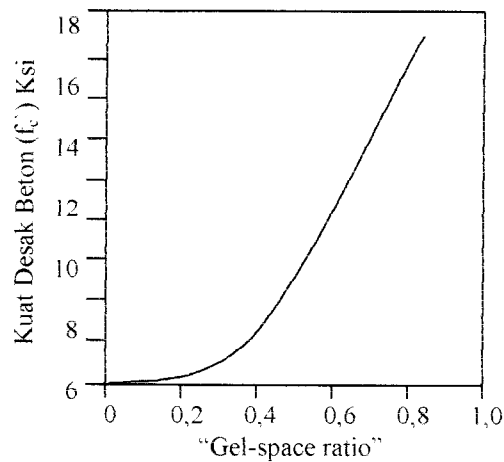
**Istimawan, (1994)**, mengemukakan bahwa nilai kekuatan serta daya tahan (“durability”) beton merupakan fungsi dari banyak faktor, di antaranya ialah nilai banding campuran dan mutu bahan susun, metode pelaksanaan pengecoran, pelaksanaan “finishing”, temperatur, dan kondisi pengerasannya.

**Sagel, Kole, dan Gideon, (1993)**, berpendapat bahwa kekuatan desak beton ditentukan oleh pengaturan perbandingan semen, agregat kasar dan halus, air, dan jenis campuran.

**Popovic, (1998)**, mengatakan bahwa kuat desak beton dipengaruhi oleh porositas yang terdiri dari pori gel, pori kapiler dan pori udara, semakin besar porositas maka semakin kecil kuat desak beton yang terjadi.

**Popovic, (1998)**, mengemukakan bahwa luas permukaan gel dapat didekati dengan ukuran “gel-space ratio” ( $X_F$ ) dan merupakan fungsi pangkat tiga dari kuat desak beton ( $f'_c$ ) sehingga semakin besar “gel-space ratio” ( $X_F$ ), makin besar kuat

desak beton ( $f'_c$ ) yang terjadi. Hubungan antara kedua parameter tersebut dapat digambarkan dalam bentuk kurva seperti tampak pada Gambar 2.1.



Gambar 2.1 Hubungan Kuat Desak Beton dengan “Gel-Space Ratio”

**Istimawan, (1994)**, mengatakan bahwa nilai kuat desak beton didapatkan dengan menggunakan mesin uji yang memberikan beban pada benda uji silinder beton (diameter 150 mm, tinggi 300 mm) dari 0 kN sampai hancur.

Menurut **Nawy, (1985)**, beban yang bekerja pada struktur menyebabkan adanya lentur dan deformasi pada elemen struktur. Lentur pada balok merupakan akibat dari adanya regangan yang timbul karena adanya beban.

**Park dan Paulay, (1975)**, mengemukakan bahwa karakteristik beban dan lendutan penampang lentur pada saat leleh dan pada momen ultimit tergantung pada penampang karakteristik momen lengkung.

**Shah, Swartz, dan Ouyang, (1995)**, mengatakan bahwa semakin jauh jarak dua retak dengan beban yang sama pada balok beton bertulang yang mengalami kegagalan lentur, kekakuan yang terjadi makin besar.

## 2.2 Bahan Penyusun Beton

### 2.2.1 Semen Portland

Menurut **Kardiyono, (1989)**, semen portland ialah semen hidrolis yang dihasilkan dengan cara menghaluskan klinker yang terutama terdiri dari silikat-silikat kalsium yang bersifat hidrolis dengan “gips” sebagai bahan tambahan. Sifat semen sangat dipengaruhi oleh komposisi kimiawi dan kehalusan penggilingan.

**Mindess dan Young, (1981)** mengatakan bahwa kapur, silika, dan alumina merupakan unsur-unsur penyusun semen yang paling berpengaruh terhadap jenis semen. Susunan unsur semen portland dapat dilihat pada tabel 2.1

Tabel 2.1. Susunan Unsur Kimia Semen Portland

Oksida	Persen, ( % )
Kapur, CaO	63
Silika, SiO <sub>2</sub>	22
Alumina, Al <sub>2</sub> O <sub>3</sub>	6
Besi, Fe <sub>2</sub> O <sub>3</sub>	2,5
Magnesia, MgO	2,6
Sulfur, SO <sub>3</sub>	2
Soda, Na <sub>2</sub> O	0,3
Potas, K <sub>2</sub> O	0,6

**Kardiyono, (1989)**, mengemukakan bahwa setelah semen bersentuhan dengan air, akan terbentuk gel, C<sub>3</sub>S<sub>2</sub>H<sub>3</sub>, yaitu pasta semen yang terdiri dari butiran sangat halus hasil hidrasi yang memiliki luas permukaan besar dan “calsium hidroksida”, Ca(OH)<sub>2</sub>, yaitu sisa semen yang tak bereaksi.

Menurut **Neville, (1973)**, jumlah gel dan “calsium hidroksida”,  $\text{Ca}(\text{OH})_2$ , yang dihasilkan dari reaksi hidrasi semen tergantung pada jenis semen portland yang digunakan.

**Murdock dan Brook, (1979)**, mengemukakan bahwa senyawa-senyawa kimia yang terbentuk pada saat hidrasi semen adalah:

1) “tricalcium aluminate”,  $\text{C}_3\text{A}$  atau  $3\text{CaO} \cdot \text{Al}_2\text{O}_3$

senyawa ini mengalami hidrasi sangat cepat disertai pelepasan sejumlah besar panas dan menyebabkan pengerasan awal,

2) “tricalcium silikat”,  $\text{C}_3\text{S}$  atau  $3\text{CaO} \cdot \text{SiO}_2$

senyawa ini mengeras dalam beberapa jam, dengan melepas sejumlah panas dimana kuantitas yang terbentuk dalam ikatan mempengaruhi kekuatan beton pada awal umurnya, hingga mencapai 14 hari,

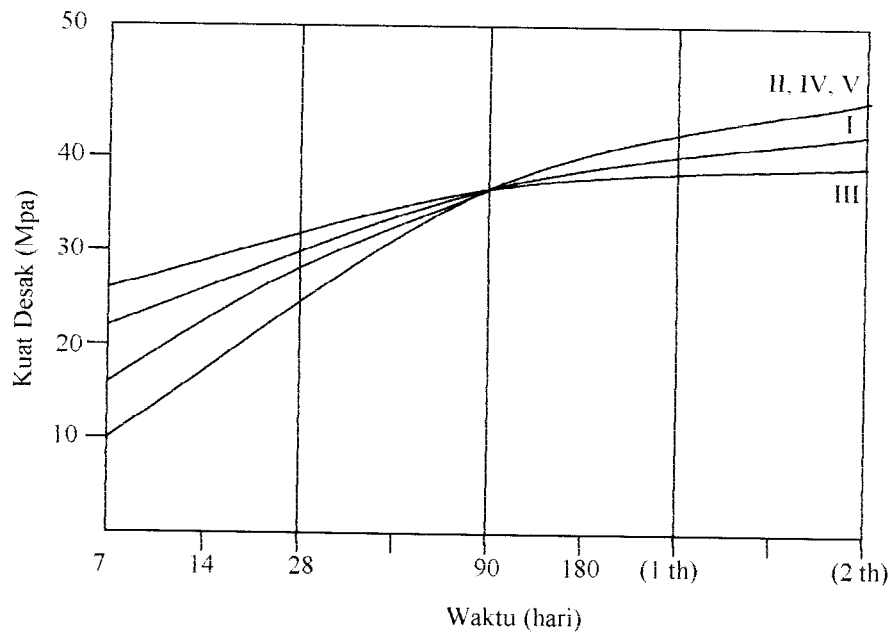
3) “dicalcium silikat”,  $\text{C}_2\text{S}$  atau  $2\text{CaO} \cdot \text{SiO}_2$

formasi senyawa ini berlangsung perlahan dengan pelepasan panas yang lambat dimana senyawa ini mempengaruhi peningkatan kekuatan yang terjadi dari 14 hari sampai 28 hari, dan

4) “tetra calsium aluminoferrite”,  $\text{C}_4\text{AF}$  atau  $4\text{CaO} \cdot \text{Al}_2\text{O}_3 \cdot \text{Fe}_2\text{O}_3$

senyawa ini secara umum tidak berpengaruh terhadap kekuatan semen.

**Mindess dan Young, (1981)** mengemukakan bahwa di antara keempat senyawa kimia semen portland yang terbentuk, “tricalcium silikat”,  $\text{C}_3\text{S}$ , mampu menghasilkan kuat desak tertinggi. Hubungan antara umur, kuat desak dan jenis semen di gambarkan dalam Gambar 2.2



Gambar 2.2 Grafik Hubungan antara Umur dan Kuat Desak Beton

Menurut **Nawy, (1990)**, kekuatan awal semen portland semakin tinggi apabila semakin banyak prosentase “tricalcium silikat”,  $C_3S$ . Jika perawatan kelembaban terus berlangsung maka kekuatan akhirnya akan lebih besar apabila prosentase “dicalcium silikat”,  $C_2S$  semakin besar.

**Neville, (1973)**, mengemukakan bahwa dasar penggolongan jenis semen portland adalah menurut sifat-sifat senyawa kimianya sehingga dengan menambah/mengurangi prosentase unsur kimia yang dikandungnya, jumlah senyawa kimia yang dihasilkan akan berbeda dan diikuti dengan perubahan jenis semen portland.

**Kusnadi, (1985)**, mengemukakan bahwa berdasarkan sifat-sifat komposisi dan senyawa kimianya, semen portland dapat dibedakan jenisnya yaitu:

1. jenis I, merupakan semen portland standard yang digunakan untuk semua bangunan beton tanpa persyaratan tertentu,

2. jenis II, dipakai untuk bangunan dengan pembetonan secara massal, seperti dam. Semen ini diperoleh dengan cara menambah prosentase  $C_2S$  dan mengurangi prosentase  $C_3S$  dari semen Portland jenis I,
3. jenis III, adalah jenis semen yang cepat mengeras dan memiliki kekuatan awal tinggi karena butirannya lebih halus dan mengandung prosentase  $C_3S$  yang lebih banyak. Jenis ini dipakai bilamana kekuatan harus dicapai dalam waktu singkat, seperti pembuatan jalan raya,
4. jenis IV, adalah semen yang memiliki panas hidrasi rendah, prosentase  $C_2S$  lebih banyak dari semen portland jenis I dan umumnya digunakan pada turap penahan tanah gravitasi, dan bendungan besar, dan
5. jenis V, merupakan semen yang tahan terhadap serangan sulfat, umumnya digunakan untuk pembuatan beton pada daerah laut/pantai.

Menurut **Kusnadi, (1985)**, jenis semen portland sangat mempengaruhi kuat desak beton. Hubungan antara jenis semen portland, prosentase senyawa kimia, dan kuat desak beton dapat disajikan dalam Tabel 2.2

Tabel 2.2 Prosentase Senyawa Kimia Semen Portland

Jenis Semen	Prosentase				Kuat Desak (%)		
	$C_3S$	$C_2S$	$C_3A$	$C_4AF$	Umur 3 hari	Umur 28 hari	Umur 3 bulan
Jenis I	53	24	8	8	100	100	100
Jenis II	47-50	32	3-8	12	80	85	100
Jenis III	58	16	8-15	8	190	130	115
Jenis IV	26-35	54-40	2-7	12	50	65	90
Jenis V	50	50	5	0	65	65	85

### 2.2.2 Agregat

**Murdock dan Brook, (1979)**, mengatakan bahwa agregat yang banyak digunakan untuk beton adalah pasir dan kerikil karena pertimbangan ekonomis dan kemudahan pengerjaan. Sifat yang paling penting dari suatu agregat (batu-batuan, kerikil, pasir dan lain-lain) ialah kekuatan hancur dan ketahanannya terhadap benturan, yang dapat mempengaruhi ikatannya dengan pasta semen, porositas dan karakteristik penyerapan air yang mempengaruhi daya tahan terhadap agresi kimia dan penyusutan.

### 2.2.3 Air

Menurut **Sagel, Kole, dan Gideon, (1993)**, air diperlukan untuk bereaksi dengan semen dan menjadi bahan pelumas antara butir-butir agregat agar mudah dikerjakan dan dipadatkan. Kualitas air sangat mempengaruhi mutu beton. Air yang bebas dari lumpur, tidak mengandung garam-garaman, khlorida, dan senyawa sulfat sangat dianjurkan untuk digunakan.

## 2.3 Bahan Campuran

Menurut **Murdock dan Brook, (1979)**, “puzzolan” adalah bahan yang bereaksi dengan kapur ikat bebas selama pengikatan semen, di dalam bahan tersebut terdapat sedikit atau tiada sama sekali sifat-sifat semennya. Bahan ini digunakan untuk penambah, atau untuk pengganti sampai dengan 70 % semen.

**Neville, (1973)**, berpendapat bahwa “puzzolan” merupakan bahan mineral yang dipakai untuk memperhalus perbedaan-perbedaan pada campuran beton dengan memberikan ukuran butir yang tidak ada atau kurang pada agregat.

**Nawy, (1985)**, mengatakan bahwa banyaknya kapur bebas yang dilepaskan pada reaksi hidrasi semen sekitar 20 % dari berat semen sehingga memungkinkan terjadinya pemisahan struktur, oleh karena itu harus dicegah dengan menambahkan pada semen suatu mineral silika seperti “puzzolan” yang bereaksi dengan kapur membentuk bahan yang kuat, yaitu gel,  $3\text{CaO} \cdot 2\text{SiO}_2 \cdot 3\text{H}_2\text{O}$ .

Menurut **Murdock dan Brook, (1979)**, sejumlah bahan tersedia dalam bentuk tepung dapat digunakan untuk menambah karakteristik kohesip dari beton dan oleh karenanya memperbaiki ketahanan terhadap “bleeding”.

**Kardiyono, (1989)** mengatakan bahwa kaca termasuk benda padat buangan/limbah yang dapat dipakai sebagai pengganti agregat dalam pembuatan beton.

**Tata dan Saito, (1992)**, mengemukakan bahwa unsur dari botol kaca didominasi oleh kandungan silika ( $\text{SiO}_2$ ) yang berkisar antara 72,3-73,3 %, tergantung dari jenisnya seperti di tunjukkan pada Tabel 2.3 berikut:

Tabel 2.3 Komposisi Kimia dari Botol Kaca.

Jenis	Si O <sub>2</sub>	Al <sub>2</sub> O <sub>3</sub>	Fe <sub>2</sub> O <sub>3</sub>	MgO	CaO	Na <sub>2</sub> O	K <sub>2</sub> O	SO <sub>3</sub>	BaO	F <sub>2</sub>	SO <sub>3</sub>
Kalsit	72.3	1.86	0.60	0.17	10.63	13.46	0.54	0.31	0.55	0.25	-
Dolomit	73.3	1.93	0.37	3.76	5.82	14.07	0.46	0.23	0.34	0.06	0.04
Amber	72.5	1.45	0.09	3.77	7.34	13.71	0.61	-	0.29	0.26	-

## **BAB III**

### **LANDASAN TEORI**

#### **3.1 Umum**

Karakteristik dari beton harus dipertimbangkan dalam hubungannya dengan kualitas yang dituntut untuk suatu tujuan konstruksi tertentu. Kuat desak beton dipengaruhi oleh jenis dan kualitas semen, bentuk dan tekstur permukaan agregat, bahan campuran, perawatan, suhu, dan umur beton. Menurut **SK-SNI, (1993)**, untuk menghitung modulus elastisitas beton normal dipakai nilai  $E_c = 4700 \sqrt{f'_c}$ . Jika kuat desak beton ( $f'_c$ ) makin meningkat maka modulus elastisitas beton ( $E_c$ ) naik, semakin besar nilai  $E_c$  faktor kekakuan lentur komponen struktur ( $EI$ ) akan makin meningkat dan semakin besar  $EI$ , kekakuan yang terjadi ( $k$ ) akan naik sehingga kekuatan beton akan bertambah.

#### **3.2 Beton Bertulang**

Beton sederhana dibentuk oleh pengerasan campuran semen, air, agregat halus, agregat kasar, udara, dengan atau tanpa bahan campuran lainnya. Dalam adukan beton, air dan semen membentuk pasta semen yang mengisi pori-pori antar butiran-butiran agregat halus dan bersifat sebagai perekat/pengikat dalam proses pengerasan sehingga butiran-butiran agregat saling terikat dengan kuat

hingga terbentuk massa yang kompak/padat. Bahan yang terbentuk ini ,mempunyai kekuatan desak yang tinggi, dan ketahanan terhadap tarik rendah, atau kira-kira kuat tariknya 0,1 kali kekuatan terhadap desak. Oleh karena itu penguatan tarik dan geser harus diberikan pada daerah tarik dari penampang untuk mengatasi kelemahan pada daerah elemen beton bertulang sehingga jika beton dikombinasikan dengan baja tulangan maka akan menjadi elemen utama pada suatu sistem struktur.

### 3.3 Hubungan Silika dan Perubahan Mutu Semen Portland

Menurut **Kusnadi, (1985)**, komposisi silika untuk semen portland dibatasi dengan menentukan perbandingan “silica ratio” yang didekati dengan persamaan:

$$SR = \frac{SiO_2}{Al_2O_3 + Fe_2O_3} \quad (3.1)$$

Dari Persamaan (3.1) tampak bahwa semakin tinggi kandungan silika dalam semen portland, makin besar nilai SR. Nilai SR dibatasi:  $1,6 < SR < 3,5$  dengan nilai rata-rata 2,0-2,5.

**Neville, (1973)**, mengatakan bahwa penggolongan jenis semen dapat dibedakan menurut komposisi mineral yang dihitung dalam prosen berat terhadap semen portland. Pengurangan/penambahan salah satu unsur kimia semen seperti silika, akan mengubah prosentase senyawa kimia semen portland. Analisis kimia tersebut adalah sebagai berikut:

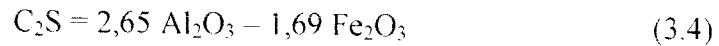
1. “Tricalcium silikat”,  $3 CaO.SiO_2$  atau  $C_3S$

$$C_3S = 4,07 CaO - 7,60 SiO_2 - 6,72 Al_2O_3 - 1,43 Fe_2O_3 - 2,85 SO_3 \quad (3.2)$$

2. “Dicalcium silikat”,  $2 \text{CaO} \cdot \text{SiO}_2$  atau  $\text{C}_2\text{S}$



3. “Tricalcium aluminat”,  $3 \text{CaO} \cdot \text{Al}_2\text{O}_3$  atau  $\text{C}_3\text{A}$



4. “Tetracalciumaluminoferrit”,  $4 \text{CaO} \cdot \text{Al}_2\text{O}_3 \cdot \text{Fe}_2\text{O}_3$  atau  $\text{C}_4\text{AF}$

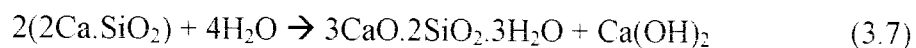
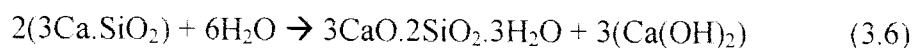


Dari persamaan-persamaan di atas akan didapatkan data prosentase senyawa kimia dari semen portland dan mengacu dari Tabel 2.2, jenis semen dapat diketahui, yaitu jenis I, jenis II, jenis III, jenis IV, atau jenis V.

### 3.4 Tinjauan Tepung Kaca sebagai “Puzzolan”

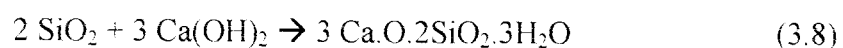
Dari hasil pengujian yang dilakukan oleh Balai Teknik Kesehatan Lingkungan Yogyakarta (BTKL), pecahan botol kaca didominasi oleh silika,  $\text{SiO}_2$  sebesar 71,9 %, sehingga bahan ini termasuk “puzzolan”.

Menurut **Kardiyono, (1989)**, reaksi hidrasi semen terjadi ketika semen bersentuhan dengan air, reaksinya adalah sebagai berikut:



Persamaan (3.6) dan (3.7) menghasilkan gel,  $3\text{CaO} \cdot 2\text{SiO}_2 \cdot 3\text{H}_2\text{O}$  atau  $\text{C}_3\text{S}_2\text{H}_3$  dan sisa reaksinya adalah kapur bebas,  $\text{Ca}(\text{OH})_2$ .

Jika tepung kaca yang mengandung 71,9% silika,  $\text{SiO}_2$ , dimasukkan dalam adukan beton, maka terjadi reaksi sebagai berikut:



Persamaan (3.8) menghasilkan gel,  $3\text{CaO} \cdot 2\text{SiO}_2 \cdot 3\text{H}_2\text{O}$  atau  $\text{C}_3\text{S}_2\text{H}_3$  sehingga penambahan tepung kaca mengakibatkan peningkatan jumlah gel dalam adukan beton.

Menurut **Popovic, (1998)**, luas permukaan gel didekati dengan ukuran “gel-space ratio” ( $X_F$ ) yang dapat dihitung dengan rumus:

$$X_F = \frac{V_g}{V_w + V_a + V_p} \quad (3.9)$$

Dari Persamaan (3.9) tampak bahwa semakin besar jumlah gel yang terbentuk maka “gel space ratio” makin besar. Hubungan antara “gel space ratio” dan kuat desak beton dihitung dengan rumus:

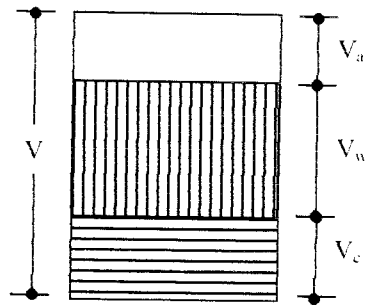
$$f_c' = 29000 \cdot X_F^3 \quad (3.10)$$

Dari Persamaan (3.10) tampak bahwa “gel-space ratio” ( $X_F$ ) merupakan fungsi pangkat tiga dari kuat desak beton ( $f_c'$ ) sehingga semakin besar “gel-space ratio” ( $X_F$ ), makin besar kuat desak beton ( $f_c'$ ).

### 3.5 Tinjauan Tepung Kaca sebagai Bahan Pengisi (“filler”)

Bahan pengisi (“filler”) yang digunakan dalam penelitian ini adalah pecahan kaca yang ditumbuk dan digiling menjadi butiran halus dengan ukuran 75 – 150  $\mu\text{m}$  sehingga bahan ini diharapkan dapat mengisi/mengurangi porositas yang terjadi pada adukan beton.

Menurut **Popovic, (1998)**, porositas terbentuk pada saat hidrasi semen berlangsung. Komposisi volume udara, air, dan semen pada saat hidrasi semen dapat digambarkan seperti tampak pada Gambar 3.1.

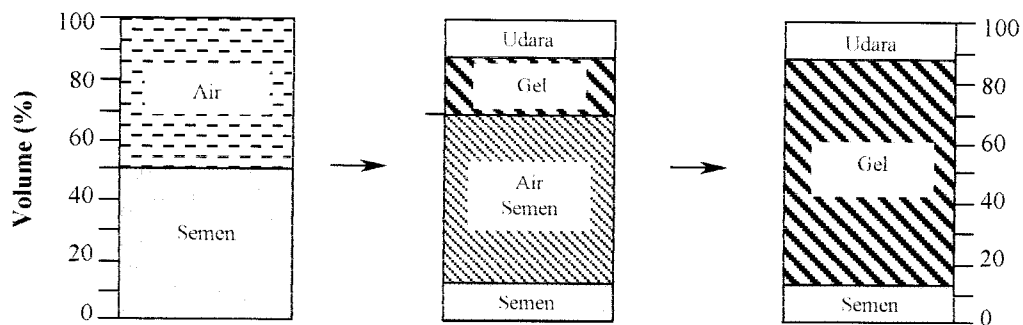


Gambar 3.1 Skema Komposisi Pasta Semen

Dari Gambar 3.1 hubungan antara volume pasta semen ( $V$ ), volume udara ( $V_a$ ), volume air ( $V_w$ ), dan volume semen ( $V_c$ ) dapat didekati dengan persamaan:

$$V = V_a + V_w + V_c \quad (3.12)$$

Proses pembentukan porositas pada saat hidrasi semen dapat digambarkan seperti tampak pada Gambar 3.2

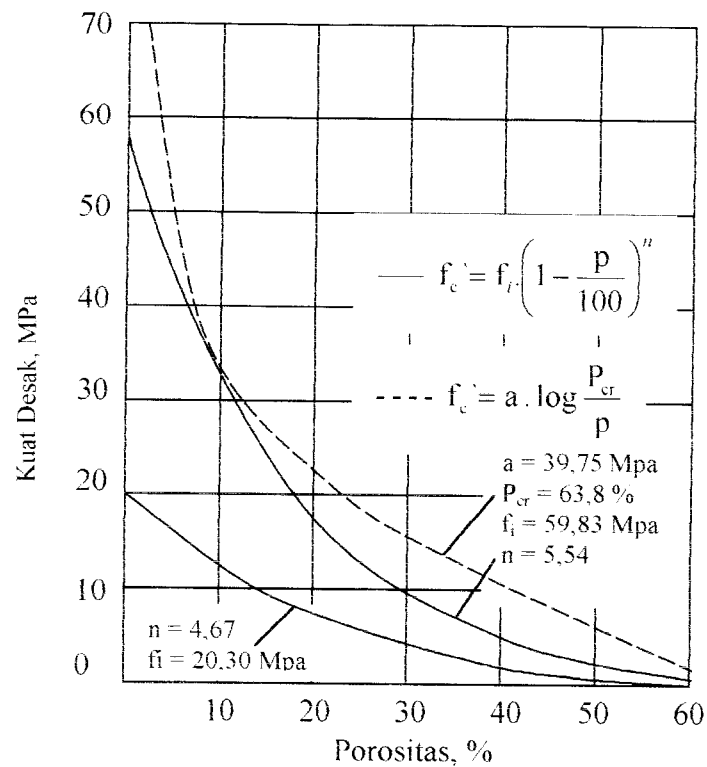


Gambar 3.2 Skema Hidrasi Semen

Dari Gambar 3.2 pada saat hidrasi semen berlangsung, proses pencampuran antara air dan semen menghasilkan gel yang diikuti dengan naiknya air semen ke permukaan (“bleeding”) melalui pori kapiler. Jumlah pori kapiler yang terbentuk dalam hidrasi semen dihitung dalam persen yang didekati dengan persamaan:

$$p = \frac{V_w + V_a + V_p - V_g}{V} \quad (3.13)$$

Porositas merupakan fungsi dari kuat desak beton, hubungan dua parameter tersebut dapat digambarkan dalam bentuk kurva seperti tampak pada Gambar 3.3.



Gambar 3.3 Hubungan Kuat Desak dan Porositas

Mengacu dari Gambar 3.3 hubungan kuat desak beton dan porositas didekati dengan persamaan:

$$f'_c = f_i \left(1 - \frac{p}{100}\right)^n \quad (3.14)$$

dan

$$f'_c = a \log \frac{p_{cr}}{p} \quad (3.15)$$

Dari Persamaan (3.13) dan (3.14) tampak bahwa semakin besar porositas (p), kuat desak beton ( $f_c'$ ) makin berkurang. Oleh karena itu untuk memperoleh kualitas beton yang baik, pori pada beton harus dikurangi dengan memberikan bahan pengisi (“filler”) yang berukuran sangat kecil.

### 3.6 Kuat Desak Beton

Menurut **Peraturan Beton Bertulang Indonesia, (1971)**, dengan menganggap nilai-nilai dari hasil pemeriksaan benda uji menyebar normal (mengikuti lengkung dari Gauss) dan hanya 5 % benda uji yang mengalami penyimpangan maka kekuatan beton karateristik ( $\sigma'_{bk}$ ) dapat dihitung dengan rumus:

$$\sigma'_{bk} = \sigma'_{bm} - 1,64 s \quad (3.16)$$

Dari Persamaan (3.16)  $\sigma'_{bm}$  merupakan kuat desak beton rata-rata benda uji yang dihitung dengan rumus:

$$\sigma'_{bm} = \frac{\sum_{i=1}^N \sigma'_{bi}}{N} \quad (3.17)$$

Mengacu dari persamaan (3.16) standar deviasi (s) dapat didekati dengan rumus:

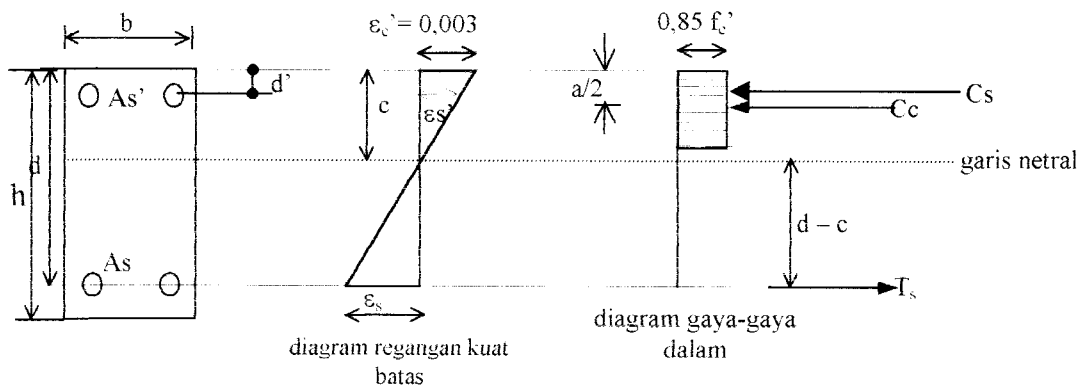
$$s = \sqrt{\frac{\sum_{i=1}^N (\sigma'_{bi} - \sigma'_{bm})^2}{N-1}} \quad (3.18)$$

Dari Persamaan (3.18) tampak bahwa semakin besar standar deviasi maka kekuatan beton karateristik makin kecil.

### 3.7 Momen Lentur Balok Normal

Menurut **Istimawan, (1994)**, pendekatan dan pengembangan perencanaan didasarkan atas anggapan-anggapan sebagai berikut:

1. nilai regangan dalam penampang komponen struktur sebanding lurus dengan jarak ke garis netral,
2. tegangan sebanding dengan regangan hanya sampai sekitar beban sedang, tegangan beton desak adalah  $\pm \frac{1}{2} f_c'$ . Jika beban meningkat hingga ultimit maka tegangan regangannya terdistribusi tidak linier lagi, membentuk garis lengkung di mulai dari garis netral hingga serat desak terluar,
3. untuk memperhitungkan kapasitas momen ultimit komponen struktur, kuat tarik beton diabaikan dan seluruh tarik ditahan tulangan baja tarik, dan
4. tegangan tulangan baja desak ( $f_c'$ ) merupakan fungsi dari regangannya tepat pada titik berat tulangan baja desak.



Gambar 3.4 Distribusi Regangan dan Tegangan Lentur Balok Beton Bertulang

Untuk alasan praktis maka hubungan antara distribusi tegangan desak dan regangan dari beton pada saat tercapai kekuatan normal dapat diambil sebagai distribusi tegangan persegi ekivalen, dengan intensitas tegangan beton yang merata sebesar  $0,85 \cdot f_c$  setinggi  $a = \beta_1 \cdot c$  dari syarat desak maksimum. Harga  $\beta_1$  diberikan oleh rumus sebagai berikut:

Untuk  $f_c < 30$  MPa maka:

$$\beta_1 = 0,85 \quad (3.19)$$

Untuk  $f_c > 30$  MPa maka:

$$\beta_1 = 0,85 - 0,008(f_c - 30) \geq 0,65 \quad (3.20)$$

Dari Gambar 3.4 periksa regangan tulangan baja desak dan baja tarik:

$$\epsilon_s' = \frac{c - d'}{c} (0,003) \quad (3.21)$$

$$\epsilon_s = \frac{d - c}{c} (0,003) \quad (3.22)$$

$$\epsilon_y = \frac{f_y}{E_s} \quad (3.23)$$

Ada dua anggapan:

- a) jika tulangan baja desak ( $A_s'$ ) telah leleh sebelum beton mencapai regangan 0,003 atau  $\epsilon_s' \geq \epsilon_y$  maka:

nilai  $a$  dihitung dengan rumus:

$$a = \frac{A_s \cdot f_y - A_s' \cdot f_y}{0,85 \cdot f_c \cdot b} \quad (3.24)$$

letak garis netral adalah:

$$c = \frac{a}{\beta_1} \quad (3.25)$$

b) jika tulangan baja desak ( $A_s'$ ) belum leleh pada saat beton mencapai regangan desak 0,003 atau  $\epsilon_s' \leq \epsilon_y$  dan  $\epsilon_s \geq \epsilon_y$  maka:

letak garis netral (c) didekati dengan persamaan:

$$0,85 \cdot f_c' \cdot b \cdot \beta \cdot c^2 + (600A_s' - A_s \cdot f_y) \cdot c - 600 d' \cdot A_s' = 0 \quad (3.26)$$

tegangan tulangan baja desak ( $f_s'$ ) dicari dengan rumus:

$$f_s' = \frac{c - d'}{c} (600) \quad (3.27)$$

tinggi blok tegangan desak (a) dihitung dengan persamaan:

$$a = \beta \cdot c \quad (3.28)$$

Mengacu dari Gambar 3.4 gaya desak yang terjadi adalah:

$$C_c = 0,85 \cdot f_c' \cdot a \cdot b \quad (3.29)$$

Untuk kondisi I:

$$C_s = A_s' \cdot f_y \quad (3.30)$$

Untuk kondisi II:

$$C_s = A_s' \cdot f_s' \quad (3.31)$$

Gaya tarik dihitung dengan rumus:

$$T_s = A_s \cdot f_y \quad (3.32)$$

Keseimbangan gaya-gaya dalam adalah:

$$C_c + C_s - T_s = 0 \quad (3.33)$$

Kekuatan momen lentur nominal dapat dihitung dengan rumus:

$$M_n = C_c \left( d - \frac{1}{2} a \right) + C_s \cdot (d - d') \quad (3.34)$$

atau

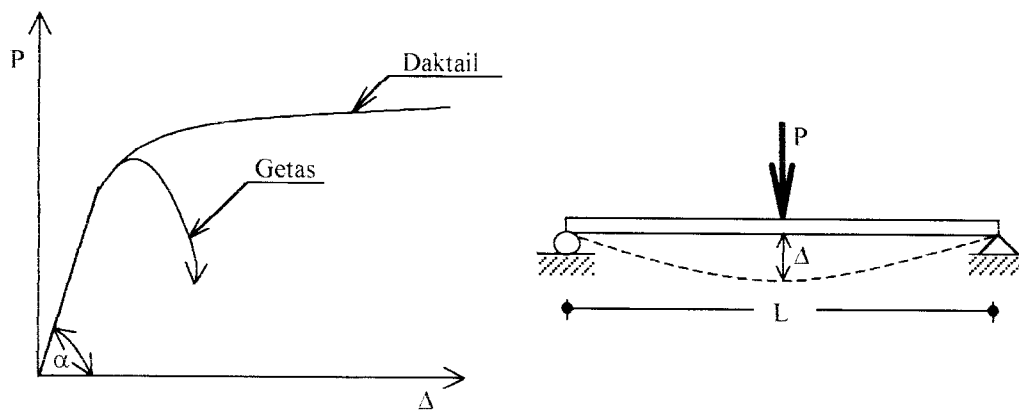
$$M_n = T_s \left( d - \frac{1}{2} a \right) + C_s \cdot \left( \frac{1}{2} a - d' \right) \quad (3.35)$$

Kekuatan momen lentur ultimit dapat dihitung dengan rumus:

$$M_u = \Phi \cdot M_n \quad (3.36)$$

### 3.8 Hubungan Beban dan Lendutan

Menurut **Park dan Paulay, (1975)**, jika suatu balok menerima beban ( $P$ ) maka akan mengakibatkan terjadi lendutan ( $\Delta$ ). Struktur balok beton bertulang mengalami 2 fase yaitu fase linier dan fase plastis.



Gambar 3.5 Hubungan Beban dan Lendutan

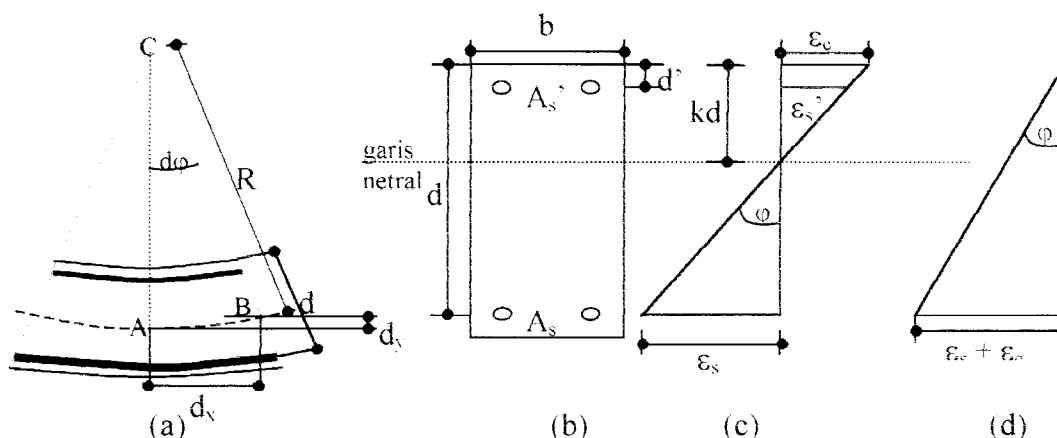
Dari Gambar 3.5 tampak bahwa semakin besar beban yang bekerja pada balok beton bertulang, lendutan yang terjadi makin besar sehingga balok akan mengalami “daktail”, dan jika beban bekerja pada balok tanpa tulangan maka struktur akan mengalami getas, sehingga kekakuan balok ( $k$ ) dapat dihitung dengan rumus:

$$k = \text{tg } \alpha = \frac{P}{\Delta} \quad (3.37)$$

### 3.9 Hubungan Momen dan Kelengkungan

Menurut **Park dan Pauley, (1975)**, kelengkungan terjadi saat balok mengalami retak karena dibebani gaya aksial yang bekerja. Adanya retak pada beton menunjukkan terjadinya penambahan tegangan pada balok sehingga merubah jari-jari kelengkungan ( $R$ ), tinggi garis netral ( $c$ ), regangan beton ( $\epsilon_c$ ) dan regangan baja tarik ( $\epsilon_s$ ). Hubungan ketiga parameter tersebut dapat di dekati dengan rumus:

$$\frac{1}{R} = \frac{\epsilon_c}{kd} = \frac{\epsilon_s}{d(1-k)} \quad (3.38)$$



Gambar 3.6 Kelengkungan Balok Beton Bertulang

Untuk mencari kelengkungan ( $\phi$ ) dapat dilakukan dengan memasang alat “strain gauge” pada daerah regangan beton dan regangan baja. Mengacu dari Gambar 3.6 (c), dengan menggeser daerah regangan baja ( $\epsilon_s$ ) ke kanan sejauh  $\epsilon_c$  dengan tinggi ( $d$ ) konstan, maka sesuai dengan Gambar 3.6 (d) kelengkungan ( $\phi$ ) dapat dihitung dengan rumus:

$$\phi = \frac{\epsilon_c + \epsilon_s}{d} \quad (3.39)$$

Pengujian kuat lentur dengan “strain gauge” sangat praktis, tetapi dari segi ekonomis biayanya sangat mahal sehingga untuk mencari kelengkungan digunakan cara lain yaitu dengan menggunakan metode numeris “central difference”.

Mengacu dari Gambar 3.6 (a) ordinat garis elastis (AB) dapat didekati dengan persamaan:

$$AB = \sqrt{d_x^2 + d_y^2} = d_x \sqrt{1 + \left(\frac{d_y}{d_x}\right)^2} = R \cdot d\varphi \quad (3.40)$$

Dari Persamaan (3.40) jari-jari kelengkungan dapat dihitung dengan rumus:

$$R = \frac{AB}{d\varphi} = \frac{AB}{d\varphi} \cdot \frac{d\varphi}{d\varphi} \quad (3.41)$$

dengan ketentuan bahwa:

$$\frac{d\varphi}{d\varphi} = \sec^2 \varphi = 1 + \tan^2 \varphi = 1 + \left(\frac{d_y}{d_x}\right)^2 \quad (3.42)$$

Jika Persamaan (3.42) disubstitusikan ke Persamaan (3.41) maka:

$$R = \frac{d_x \sqrt{1 + \left(\frac{d_y}{d_x}\right)^2}}{d\varphi} \left\{ 1 + \left(\frac{d_y}{d_x}\right)^2 \right\} \quad (3.43)$$

Persamaan (3.43) dapat ditulis menjadi:

$$\frac{1}{R} = \frac{d\varphi}{d_x} \frac{1}{\left\{ 1 + \left(\frac{d_y}{d_x}\right)^2 \right\}^{3/2}} \quad (3.44)$$

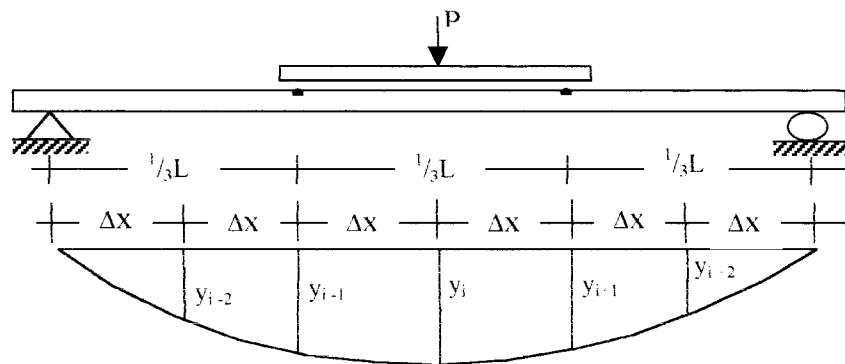
Persamaan (3.44) disederhanakan sehingga diperoleh:

$$\frac{1}{R} = \frac{d_y^2}{d_x^2} \frac{1}{\left\{ 1 + \left(\frac{d_y}{d_x}\right)^2 \right\}^{3/2}} \quad (3.45)$$

mengingat bahwa  $\sqrt{1 + \left(\frac{d_y}{d_x}\right)^2} = R \cdot \frac{d\varphi}{d_x}$  dan karena ordinat-ordinat garis elastis sangat kecil, dianggap  $\frac{d_y}{d_x} \approx 0$  sehingga kelengkungan ( $\varphi$ ) merupakan  $\frac{1}{R}$  maka:

$$\varphi = \frac{1}{R} = \frac{d^2_y}{d_x^2} \quad (3.46)$$

Metode numeris “central difference” adalah suatu cara pendekatan untuk mendapatkan besarnya lendutan balok akibat pembebanan statis yang diperoleh dengan mengukur lendutan 3 titik secara berurutan pada jarak  $1/3$  bentang ( $L$ ) seperti tampak pada Gambar 3.7.



Gambar 3.7 Lendutan balok

Mengacu dari Gambar 3.7, hubungan antara mode “displacement” ( $y$ ) dengan panjang elemen ( $\Delta_x$ ) dapat didekati dengan rumus:

$$\frac{d_y}{d_x} = \frac{y_{i+1} - y_{i-1}}{2\Delta_x} \quad (3.47)$$

Jika persamaan (3.47) diturunkan maka didapat persamaan:

$$\frac{d^2_y}{d_x^2} = \frac{\frac{d_y}{d_x} \cdot (y_{i+1} - y_{i-1}) \cdot 2\Delta_x - \frac{d_y}{d_x} \cdot (y_{i+1} - y_{i-1})}{(2\Delta_x)^2} \quad (3.48)$$

karena  $\Delta_x$  nilainya konstan, maka  $\frac{d_y}{d_x}(y_{i+1} - y_{i-1}) \approx 0$ , sehingga:

$$\frac{d_y^2}{d_x^2} = \frac{d_y}{d_x} \frac{(y_{i+1} - 2y_i + y_{i-1}) \cdot 2\Delta_x}{(2\Delta_x)^2} \quad (3.49)$$

Persamaan (3.49) dapat disederhanakan menjadi:

$$\frac{d_y^2}{d_x^2} = \frac{\left(\frac{y_{i+1} - y_i}{2\Delta_x}\right) - \left(\frac{y_i - y_{i-1}}{2\Delta_x}\right)}{(2\Delta_x)^2} \quad (3.50)$$

atau:

$$\frac{d_y^2}{d_x^2} = \frac{(y_{i+1} - 2y_i + y_{i-1})}{(2\Delta_x)^2} \quad (3.51)$$

Dari substitusi Persamaan (3.51) ke Persamaan (3.46) diperoleh:

$$\varphi = \frac{d_y^2}{d_x^2} = \frac{(y_{i+1} - 2y_i + y_{i-1})}{(2\Delta_x)^2} \quad (3.52)$$

Mengacu dari Gambar 3.7 momen (M) yang terjadi pada bentang (L) karena adanya beban (P) dapat diketahui dengan rumus:

$$M = \frac{1}{6} PL \quad (3.53)$$

Dari Persamaan (3.52) dan (3.53), faktor kekakuan untuk balok beton bertulang dapat didekati dengan persamaan:

$$EI = \frac{M}{\varphi} \quad (3.54)$$

Menurut **Park dan Pauley, (1975)**, hubungan momen dan kelengkungan dinyatakan dalam tiga bagian, yaitu:

a. momen-kelengkungan sebelum retak

Momen dan kelengkungan didekati dengan rumus:

$$M_{cr} = \frac{f_r \cdot I}{\bar{y}} \quad (3.55)$$

$$\phi_{cr} = \frac{f_r}{E_c \cdot \bar{y}} \quad (3.56)$$

b. momen-kelengkungan setelah retak pada saat leleh pertama

Momen dan kelengkungan yang terjadi pada balok yang terjadi adalah:

$$M_y = A_s \cdot f_y \cdot j \cdot d \quad (3.57)$$

$$\phi_y = \frac{(f_y \cdot E_s)}{d(1 - k)} \quad (3.58)$$

c. momen-kelengkungan saat beban ultimit

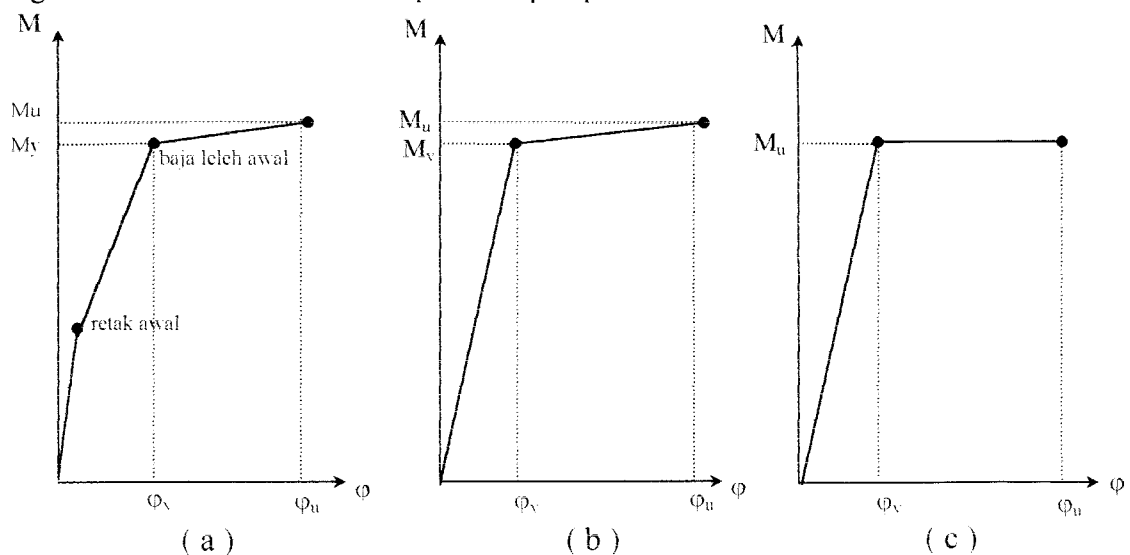
Momen dan kelengkungan di tunjukkan dalam persamaan berikut:

$$M_u = C_c \left( d - \frac{a}{2} \right) + C_s (d - d') \quad (3.59)$$

$$\phi_u = \frac{\epsilon_c \cdot \beta_1}{a} \quad (3.60)$$

Hubungan M- $\phi$  ideal pada balok beton bertulang dapat digambarkan dengan

grafik trilinear dan bilinear seperti tampak pada Gambar 3.8.



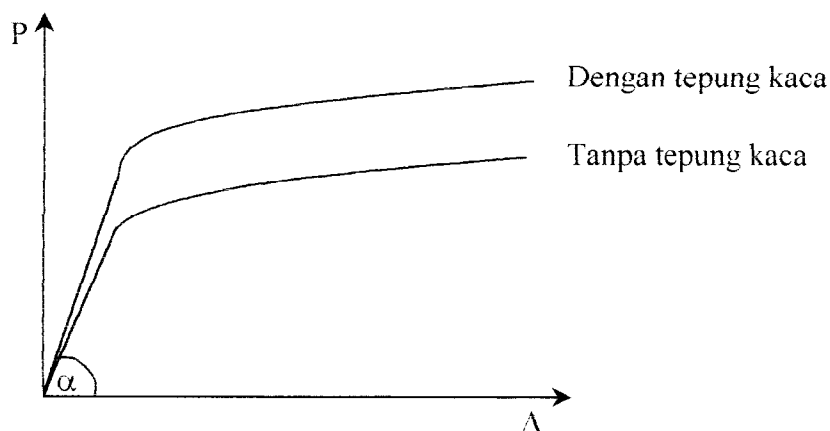
Gambar 3.8 Kurva Momen-Kelengkungan Ideal

Mengacu dari Gambar 3.8 (a), garis pertama menunjukkan retak awal, kedua adalah tegangan leleh baja dan ketiga merupakan regangan ultimit dari beton sehingga grafik ini disebut grafik trilinear. Gambar 3.8 (c) merupakan grafik bilinear yang merupakan hasil pendekatan dari Gambar 3.8 (b) karena saat hubungan  $M-\phi$  terjadi dari beban 0 kN hingga baja leleh, garis pertama dan kedua hampir linier sehingga grafik hubungan  $M-\phi$  digambarkan dalam bentuk bilinear.

### 3.10 Hipotesis

Dengan memperhatikan latar belakang, tujuan penelitian, tinjauan pustaka dan landasan teori, maka dapat dikemukakan hipotesis sebagai berikut:

- Penambahan tepung kaca dengan prosentase silika 10 % dari berat semen akan menghasilkan kuat desak dan kuat lentur balok beton maksimum.
- Penambahan tepung kaca akan meningkatkan kuat desak ( $f_c'$ ) yang diikuti dengan naiknya modulus elastisitas beton ( $E_c$ ), semakin besar nilai  $E_c$ , faktor kekakuan lentur komponen struktur ( $EI$ ) akan makin meningkat dan semakin besar  $EI$ , kekakuan yang terjadi ( $k$ ) akan naik sehingga kekuatan beton akan bertambah.



Gambar 3.9 Diagram  $P - \Delta$  dari Pengujian Kuat Lentur

## **BAB IV**

### **METODE PENELITIAN**

#### **4.1 Material Pembentuk Beton**

##### **4.1.1 Semen**

Digunakan semen portland jenis I merk Semen Gresik kemasan 50 kg.

##### **4.1.2 Agregat**

Ada dua macam agregat yang digunakan, yaitu:

1. agregat halus, digunakan pasir yang diambil dari Kali Krasak, Sleman, Yogyakarta dengan diameter lolos saringan 4,75 mm.
2. agregat kasar, digunakan kerikil yang didatangkan dari daerah Celereng, Kulon Progo, Yogyakarta dengan ukuran butir maksimum 20 mm.

##### **4.1.3 Air**

Air diambil dari Laboratorium Bahan Konstruksi Teknik, Jurusan Teknik Sipil, Universitas Islam Indonesia, Yogyakarta.

##### **4.1.4 Baja Tulangan**

Digunakan baja tulangan polos,  $\varnothing 12$  mm sebagai tulangan baja tarik,  $\varnothing 8$  mm sebagai tulangan baja desak dan  $\varnothing 6$  mm sebagai tulangan sengkang.

#### **4.1.5 Tepung Kaca**

Diperoleh dari pecahan botol kaca yang dihancurkan dan digiling menjadi tepung serta lolos saringan No. 200 ASTM (“American Society for Testing Materials”).

#### **4.2 Peralatan Pengujian**

Untuk penelitian ini digunakan beberapa peralatan sebagai sarana dalam mencapai maksud dan tujuan penelitian yaitu:

##### **4.2.1 Timbangan**

Timbangan merk “Fa gani” dengan kapasitas 150 kg dan merk “O house” kapasitas 20 kg dan 5 kg digunakan untuk menimbang bahan susun campuran adukan beton ketika melakukan uji berat jenis, berat volume, agregat kerikil dan modulus halus butir pasir.

##### **4.2.2 Mistar dan Kaliper**

Mistar dari logam digunakan untuk mengukur dimensi cetakan model, sedangkan kaliper untuk mengukur diameter tulangan dan benda uji.

##### **4.2.3 Ayakan**

Ayakan digunakan untuk mengetahui gradasi pasir dan kerikil. Ukuran yang dipakai untuk memisahkan fraksi-fraksi dalam pasir adalah 4,8; 2,4; 1,2; 0,6; 0,3; 0,15 mm sedangkan untuk kerikil adalah 20; 12,5; 9,5; 4,75 mm.

#### **4.2.4 Mesin Pemecah Batu**

Jenis mesin pemecah batu yang dipakai adalah “Roll Crusher” merk “Control”, alat ini digunakan untuk menghancurkan dan menggiling pecahan kaca menjadi tepung.

#### **4.2.5 Mesin Penyaring**

Mesin penyaring digunakan untuk menyaring tepung kaca, pada penelitian ini dipakai “Universal Material Testing Equipment” (UMTE) merk “Mektan”, dilengkapi dengan saringan No. 200 ASTM (“American Society for Testing Materials”).

#### **4.2.6 Mesin Pengaduk Beton**

Mesin pengaduk beton (“Mixer”), digunakan untuk mengaduk bahan susun beton (semen, pasir, kerikil, tepung kaca, dan air) sehingga diperoleh campuran adukan beton yang homogen.

#### **4.2.7 Cetok dan Talam Baja**

Cetok digunakan untuk memasukkan adukan beton ke dalam cetakan balok dan silinder beton. Talam baja digunakan sebagai penampung sementara adukan beton yang dikeluarkan dari mesin pengaduk.

#### **4.2.8 Kerucut Abrahms**

Alat ini digunakan untuk mengukur tingkat kelecakan beton, tinggi 30 cm dengan diameter atas 10 cm dan diameter bawah 20 cm dilengkapi dengan alat penumbuk besi dengan panjang 60 cm dan diameter 16 mm.

#### **4.2.9 Mesin Uji Kuat Tarik**

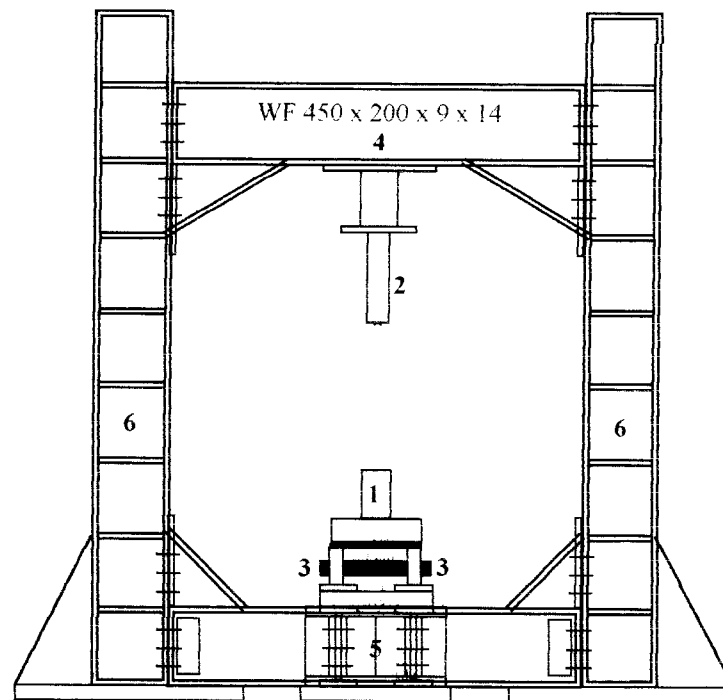
Digunakan untuk mengetahui kuat tarik dan kuat leleh baja tulangan. Pada penelitian ini digunakan “Universal Testing Material” (UTM) merk “Shimadzu” tipe UMH 30, kapasitas 30 ton.

#### **4.2.10 Mesin Uji Kuat Desak**

Mesin uji kuat desak digunakan untuk mengetahui kuat desak dan kuat tarik silinder beton, di dalam penelitian ini dipakai mesin uji kuat desak merk “Control” dengan kapasitas 2000 kN.

#### **4.2.11 “Loading Frame”**

Untuk keperluan penelitian ini dibuat “Loading frame” dari bahan baja profil WF 450x200x9x14. Bentuk dasar “Loading frame” berupa portal segi empat yang berdiri diatas lantai beton (“Rigid floor”) dengan perantara pelat dasar dari besi setebal 14 mm, agar “Loading frame” tetap stabil, pelat dasar dibaut ke lantai beton dan kedua kolomnya dihubungkan oleh balok WF 450x200x9x14 mm. Posisi balok portal dapat diatur untuk menyesuaikan dengan bentuk dan ukuran model yang akan diuji dengan cara melepas sambungan baut. Bentuk fisik “Loading frame” dapat dilihat pada Gambar 4.1.



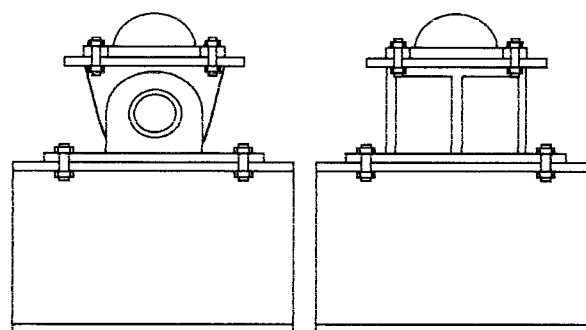
**Keterangan:**

- |                      |                                  |
|----------------------|----------------------------------|
| 1. Model balok       | 4. Balok portal ( bisa digeser ) |
| 2. Dongkrak Hidrolik | 5. Balok lintang                 |
| 3. Dukungan          | 6. Kolom                         |

Gambar 4.1 “Loading Frame”

#### 4.2.12 Dukungan Sendi dan Rol

Dukungan sendi (engsel) dipasang pada salah satu ujung model balok, sedangkan pada ujung yang lain dipasang dukungan rol, sehingga model balok mendekati balok sederhana atau “simple beam” seperti tampak pada Gambar 4.2



(a.) Dukungan Rol

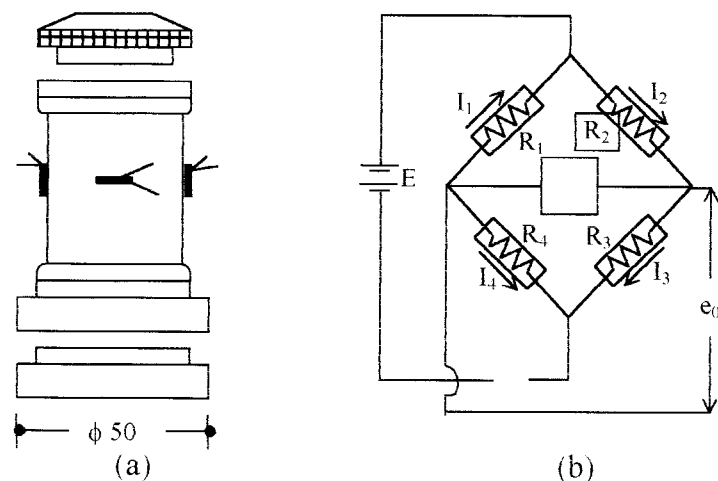
(b.) Dukungan Sendi

Gambar 4.2 Dukungan Sendi dan Rol

#### 4.2.13 Sel Beban

Sel beban (“Load cell”) digunakan mengukur beban statis yang dibangkitkan oleh dongkrak hidrolik ke model balok. Bagian dari “Load cell” di tunjukkan oleh Gambar 4.3 (a), terdiri dari inti “Load cell”, landasan dan penutup atas. Pada inti “Load cell” direkatkan empat buah “Electrical strain gauge” aktif membentuk rangkaian jembatan “Wheatstone” dengan susunan “Full bridge” (Gambar 4.3 (b)).

Prinsip kerja “Load cell” dijelaskan dengan uraian berikut; beban yang dibangkitkan oleh dongkrak hidrolik menekan inti “Load cell” dan menimbulkan regangan. Rangkaian “Strain gauge” yang menempel pada inti “Load cell”, merespon regangan tersebut, sehingga tahanan listrik empat buah “Strain gauge” mengalami perubahan.



Gambar 4.3 (a) Bentuk “Load Cell” (b) Siskuit “Full Bridge”

Pada Gambar 4.3 (b), “Strain gauge”  $R_1$  dan  $R_3$  mengalami regangan desak, sebaliknya  $R_2$  dan  $R_4$  mengalami tarik akibat “Poisson’s effect” sebesar  $\mu$  kali

regangan desak. Dengan orientasi “Strain gauge” pada gambar 4.3 (b), terukur potensial  $E_{bd}$  yang kemudian dapat dibaca oleh “Tranducer indikator”. Intensitas beban yang dibangkitkan oleh dongkrak hidrolis diukur dengan “Load cell” merk “Showa” tipe RCT 8T, kapasitas 30 ton.

#### 4.2.14 “Tranducer Indikator”

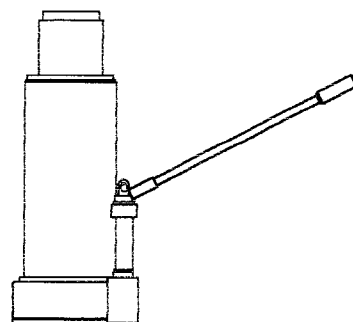
Alat ini merupakan perangkat digital yang berfungsi untuk merubah energi mekanik menjadi energi potensial (Inman,1996), seperti tampak pada Gambar 4.4.



Gambar 4.4 “Tranducer Indikator”

#### 4.2.15 Dongkrak Hidrolis

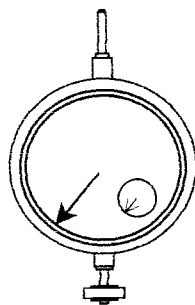
Alat ini dipakai untuk memberikan pembebanan pada benda uji dengan kapasitas maksimum 15 ton. (lihat Gambar 4.5).



Gambar 4.5 Dongkrak Hidrolis

#### 4.2.16 “Dial Gauge”

Alat ini digunakan untuk mengukur besarnya lendutan yang terjadi dengan kapasitas lendutan maksimum 20 mm dan tingkat ketelitian 0,01 mm (lihat Gambar 4.6).



Gambar 4.6 “Dial Gauge”

### 4.3 Pelaksanaan Penelitian

#### 4.3.1 Persiapan

Pekerjaan persiapan meliputi: uji sifat-sifat teknis bahan susun beton (pasir, kerikil, dan semen), perancangan adukan beton, uji kuat desak silinder beton, uji kuat tarik baja tulangan, kalibrasi peralatan, dan “Set-up instrument” pengujian.

a) Uji pasir

Hasil uji pasir didapat berat jenis SSD 2,7891 dan modulus kehalusan butir 2,8.

b) Uji kerikil

Uji kerikil bertujuan mendapatkan berat jenis dan berat volume kerikil keadaan SSD (“saturated surface-dry”). Didapat berat jenis SSD 2,62 dan berat volume SSD 1,368 t/m<sup>3</sup>.

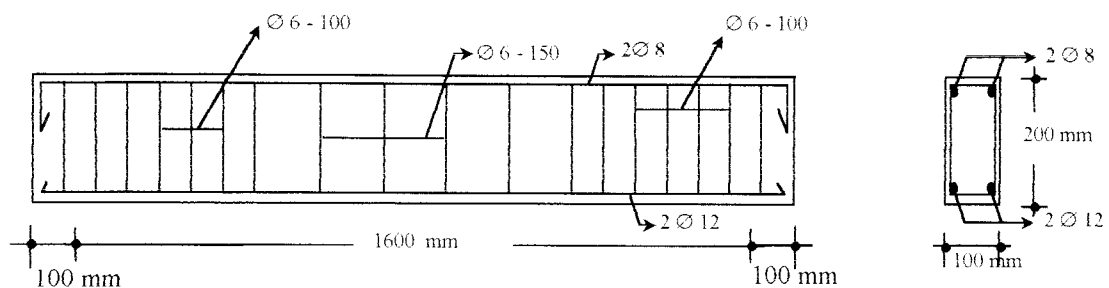
c) Perencanaan campuran adukan beton

Perencanaan campuran adukan beton menggunakan cara yang direkomendasi oleh ACI (“American Concrete Institute”), hitungan disajikan dalam lampiran 6. Untuk setiap  $1 \text{ m}^3$  beton dengan kuat desak rencana 25 Mpa, bahan penyusun yang diperlukan yaitu semen 451 kg, pasir 853 kg, kerikil 834 kg, air 203 liter, dan tepung kaca 17 kg.

#### 4.3.2 Pembuatan dan Perawatan Model

Dalam penelitian ini, dibuat 50 buah silinder beton dengan ukuran (150 mm x 300 mm) dan 10 buah balok beton bertulang dengan ukuran (100 mm x 200 mm x 1800 mm) dengan ketentuan untuk tiap variasi campuran dibuat 10 buah silinder beton dan 2 buah balok beton bertulang. Model balok uji dapat dilihat pada gambar 4.7. Variasi yang dipakai adalah sebagai berikut :

1. sampel (A) tanpa campuran tepung kaca (normal),
2. sampel (B) dengan campuran tepung kaca 2,5% dari berat semen,
3. sampel (C) dengan campuran tepung kaca 5% dari berat semen,
4. sampel (D) dengan campuran tepung kaca 7,5% dari berat semen, dan
5. sampel (E) dengan campuran tepung kaca 10% dari berat semen.



Gambar 4.7 Model Balok Uji

Perawatan terhadap balok uji dilaksanakan dengan menyelimuti balok dengan karung basah yang disiram setiap hari. Untuk silinder beton dilakukan dengan cara merendam di dalam bak air. Perawatan terhadap sampel tersebut dilakukan selama 28 hari. Dengan cara tersebut diharapkan hidrasi semen berlangsung dengan baik.

#### **4.3.3 Pelaksanaan Pengujian**

Pengujian meliputi uji tarik baja, uji desak silinder beton, dan uji lentur yang uraian pelaksanaannya adalah sebagai berikut:

##### **1. Pengujian Kuat Tarik Baja**

Pengujian kuat tarik baja dilakukan di Laboratorium Bahan Kontruksi Teknik, Jurusan Teknik Sipil, Universitas Islam Indonesia. Data yang diambil pada pengujian tarik baja adalah beban maksimum, beban patah, dan batas luluh awal. Tegangan tarik baja dapat diketahui dengan membagi batas luluh awal dengan luas rata-rata dari diameter baja tulangan.

##### **2. Pengujian Kuat Desak Silinder Beton**

Langkah-langkah yang ditempuh dalam pengujian kuat desak beton adalah:

- a. Setelah silinder beton direndam dalam air selama 28 hari, tinggi dan diameternya diukur, setelah itu ditimbang beratnya, kemudian diletakkan pada alas pembebanan mesin uji kuat desak beton.
- b. Mesin uji dihidupkan, pembebanan diberikan dari 0 kN hingga benda uji hancur dan besarnya beban maksimal dicatat sesuai pembacaan.

### 3. Pengujian Kuat Lentur Beton

Pelaksanaan pengujian dilakukan dengan cara sebagai berikut:

- a. Sebelum pengujian dilakukan, sisi permukaan balok beton di cat putih dan dibuat skala dengan ukuran yang seragam, kemudian setelah kering dapat diletakkan pada tumpuan dari “Loading frame” sesuai dengan tanda yang telah diberikan. Pemasangan “Dial” dilakukan pada jarak  $\frac{1}{3}$ ,  $\frac{1}{2}$ , dan  $\frac{2}{3}$  bentang (L) dari tumpuan.
- b. Setelah “Load cell”, “Tranducer indicator”, dan dongkrak hidrolik sudah terpasang, pengujian lentur dapat dimulai. Mula-mula balok beton diberi pembebanan dengan interval 100 kg melalui Dongkrak hidrolik, besarnya beban yang terjadi dicatat sesuai dengan pembacaan pada “Tranducer indicator”, sedangkan lendutan dapat dibaca melalui “Dial” dan dicatat.
- c. Pada saat pengujian berlangsung, pola retak yang muncul pada permukaan sisi balok beton diperjelas dengan spidol dan diberi notasi angka yang menunjukkan nomor retak saat pembebanan.
- d. Setelah tinggi pola retak primer yang terjadi hampir mendekati tinggi penampang balok, pembebanan dihentikan dan pola retak tersebut digambar.

## BAB V

### HASIL DAN PEMBAHASAN

#### 5.1 Hasil Penelitian

Berdasarkan pengujian yang telah dilakukan, didapatkan data primer berupa kuat desak silinder beton, dan kuat lentur balok beton bertulang dengan dan tanpa campuran tepung kaca. Data tersebut dianalisis untuk memperoleh kekakuan dari beban dan lendutan serta faktor kekakuan dari momen dan kelengkungan.

##### 5.1.1 Hasil Uji Kandungan Silika Tepung Kaca

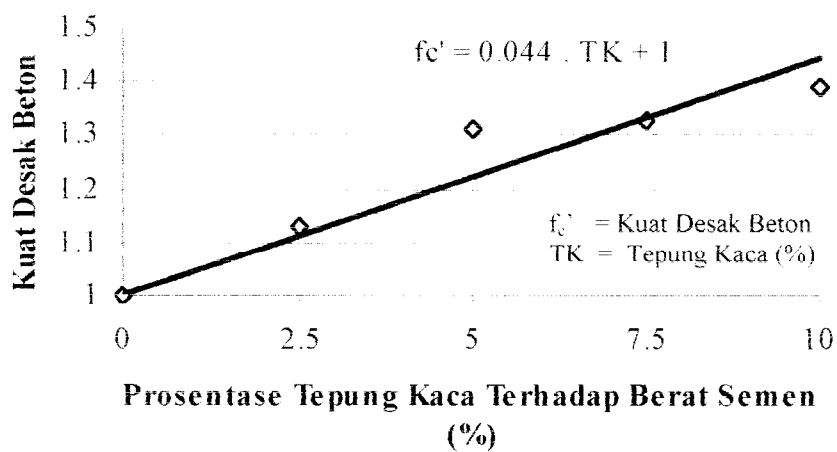
Berdasarkan hasil uji kandungan kimia, diperoleh prosentase silika sebesar 71,9%. Data kemudian dianalisis dan dicari pengaruhnya terhadap perubahan jumlah senyawa kimia semen portland jenis I seperti tampak pada Tabel 5.1

Tabel 5.1 Hasil Analisis Silika Tepung Kaca

Jenis Semen	Prosentase (%)				Silika Ratio (SR)
	C <sub>3</sub> S	C <sub>2</sub> S	C <sub>3</sub> A	C <sub>4</sub> AF	
Jenis I	54,82	16,1	11,68	7,6	2,35
Modifikasi	41,12	24,75	10,54	6,85	2,53

### 5.1.2 Hasil Uji Kuat Desak Beton

Kuat desak beton yang direncanakan pada umur 28 hari adalah 25 Mpa. Dari hasil uji desak beton, dapat digambarkan diagram yang memberikan hubungan prosentase tepung kaca terhadap kenaikan/penurunan kuat desak beton sebagai berikut:



Gambar 5.1 Grafik Kenaikan Kuat Desak Silinder Beton

Hasil analisis dari Gambar 5.1 dapat dilihat dari Tabel 5.2 berikut:

Tabel 5.2 Hasil Uji Desak Silinder Beton

Sampel	$f_{cr}'$ (MPa)	Standar Deviasi	$f_c'$ (MPa)	$f_c'$ (%)	$f_c'$
					$f_c'$ Normal
Normal	33,54	2,09	30,11	100,0	1,0
Variasi 2,5 %	37,83	2,28	34,09	113,2	1,132
Variasi 5 %	42,64	1,86	39,59	131,5	1,315
Variasi 7,5 %	44,62	2,81	40,02	132,9	1,329
Variasi 10 %	48,50	4,09	41,80	138,8	1,388

### 5.1.3 Hasil Uji Kuat Tarik Baja Tulangan

Untuk mengetahui kualitas baja tulangan yang terpasang dalam model balok, dilakukan uji tarik baja tulangan, hasil uji tarik baja di tunjukkan pada Tabel 5.3 berikut:

Tabel 5.3 Hasil Uji Tarik Baja

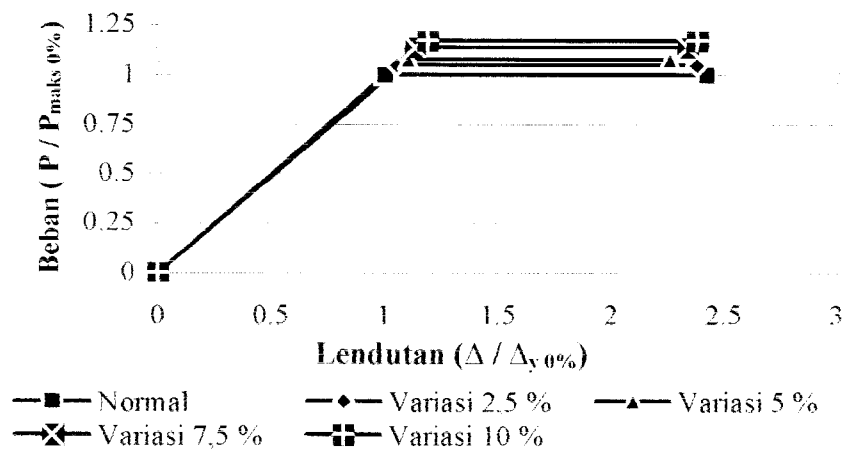
Diameter (mm)	Kuat Leleh (MPa)	Kuat Tarik (Mpa)
6	253	264
8	306	308
12	385	430

### 5.1.4 Hasil Uji Lentur Balok Beton Bertulang

Hasil pengujian balok beton bertulang dengan dan tanpa campuran tepung kaca pada penelitian ini di jabarkan sebagai berikut:

#### 1. Hubungan beban dan lendutan

Gambar 5.2 menunjukkan diagram yang memberikan gambaran hubungan antara beban dan lendutan.



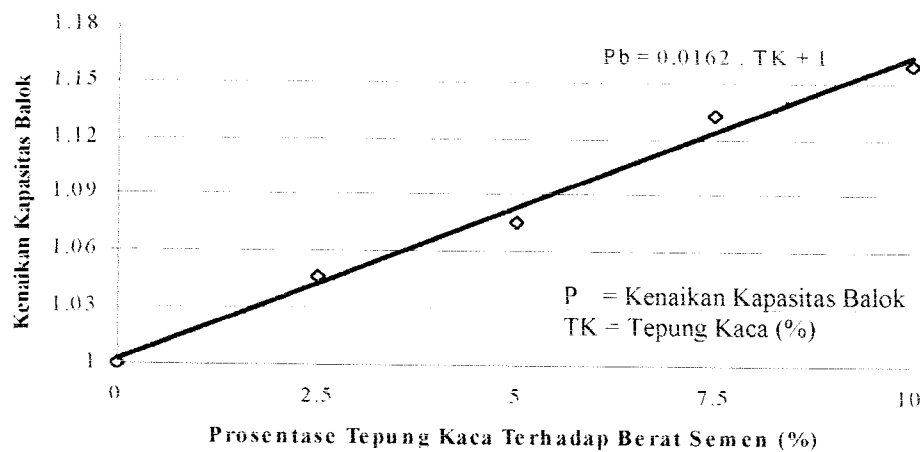
Gambar 5.2 Grafik Hubungan Beban dan Lendutan

Hasil analisis hubungan beban dan lendutan dapat dilihat pada Tabel 5.4 berikut:

Tabel 5.4 Hasil Analisis Hubungan Beban dan Lendutan

Var. (%)	P (kN)	Kap. (%)	$\Delta_y$ (mm)	$\Delta_u$ (mm)	k (kN/mm)	k (%)	$\frac{P}{P_{maksimum}}$	$\frac{\Delta_y}{\Delta_y(0\%)}$	$\frac{\Delta_u}{\Delta_u(0\%)}$
0	32,5	100,00	6.81	16.49	2,35	100,00	1	1	2,42
2,5	34,0	104,62	7.17	16.2	2.52	106,48	1,05	1,05	2,38
5	35,0	107,56	7.51	15.4	2.57	114,78	1,08	1,10	2,26
7,5	37,0	113,27	7.72	15.93	2.61	116,97	1,14	1,13	2,34
10	38,0	115,97	8.1	16.2	2.65	117,96	1,17	1,19	2,38

Dari hasil analisis beban dan lendutan dapat digambarkan grafik kenaikan kapasitas balok beton bertulang seperti tampak pada Gambar 5.3.



Gambar 5.3 Grafik Kenaikan Kapasitas Balok

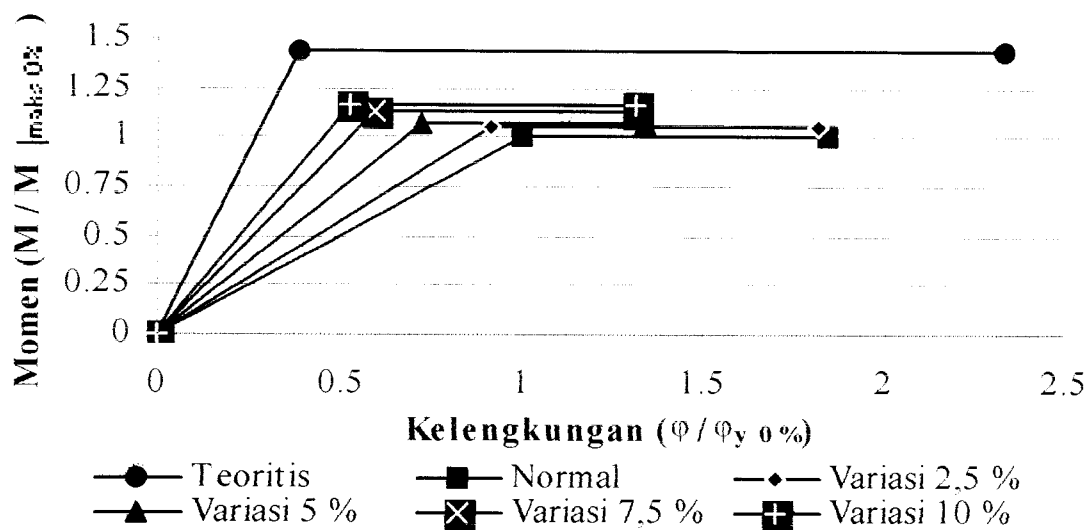
## 2. Hubungan Momen dan Kelengkungan

Hasil perhitungan momen dan kelengkungan secara teoritis di sajikan pada Tabel 5.5 berikut:

Tabel 5.5 Hasil Perhitungan Momen-Kelengkungan Teoritis

$M_y$ (kNmm)	$M_u$ (kNmm)	$M_{u 0\%}$ (kNmm)	$\varphi_y$ (rad/mm)	$\varphi_u$ (rad/mm)	$\varphi_{y 0\%}$ (rad/mm)	$\frac{M_u}{M_{u 0\%}}$	$\frac{\varphi_y}{\varphi_{y 0\%}}$	$\frac{\varphi_u}{\varphi_{y 0\%}}$
12054	12500	8667	$1,22 \cdot 10^{-5}$	$7,5 \cdot 10^{-5}$	$3,2 \cdot 10^{-5}$	1,44	0,38	2,34

Sesuai dengan hasil perhitungan momen kelengkungan secara teoritis, maka dapat digambarkan gabungan grafik bilinear momen kelengkungan dari setiap variasi balok beton bertulang seperti di tunjukkan pada Gambar 5.4.



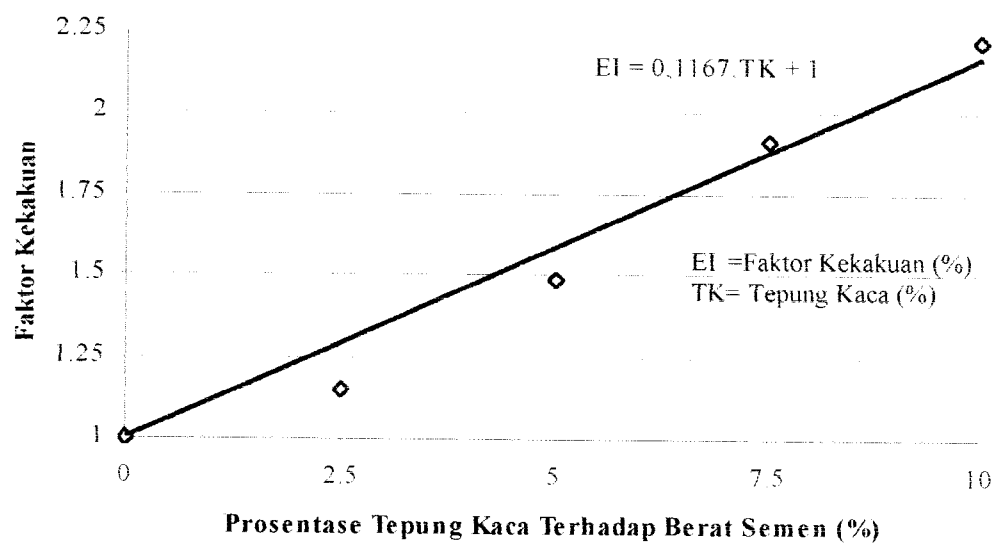
Gambar 5. 4 Grafik Bilinier Momen dan Kelengkungan

Dari hasil analisis momen dan kelengkungan didapatkan faktor kekakuan yang di sajikan pada Tabel 5.6 berikut:

Tabel 5.6 Hasil Analisis Momen-Kelengkungan dengan Faktor Kekakuan

Var. (%)	$M_u$ (kN-mm)	$\phi_y$ (1/mm)	EI (kN-mm <sup>2</sup> )	$M_u$ (%)	EI (%)	$\frac{EI}{EI_{0\%}}$
Teo.	12500	$1,07 \cdot 10^{-5}$	1024590164	144,23	173,62	1,74
0	8666,67	$3,21 \cdot 10^{-5}$	270302014	100,00	100,00	1
2,5	9066,67	$2,93 \cdot 10^{-5}$	309967635	104,62	114,68	1,15
5	9333,33	$2,32 \cdot 10^{-5}$	402239641	112,31	148,81	1,49
7,5	9866,67	$1,91 \cdot 10^{-5}$	517801372	126,15	191,56	1,9
10	10133,33	$1,69 \cdot 10^{-5}$	600486321	143,08	222,15	2,22

Dari data pada Tabel 5.6 dapat digambarkan grafik kenaikan faktor kekakuan seperti di tunjukkan pada Gambar 5.5.

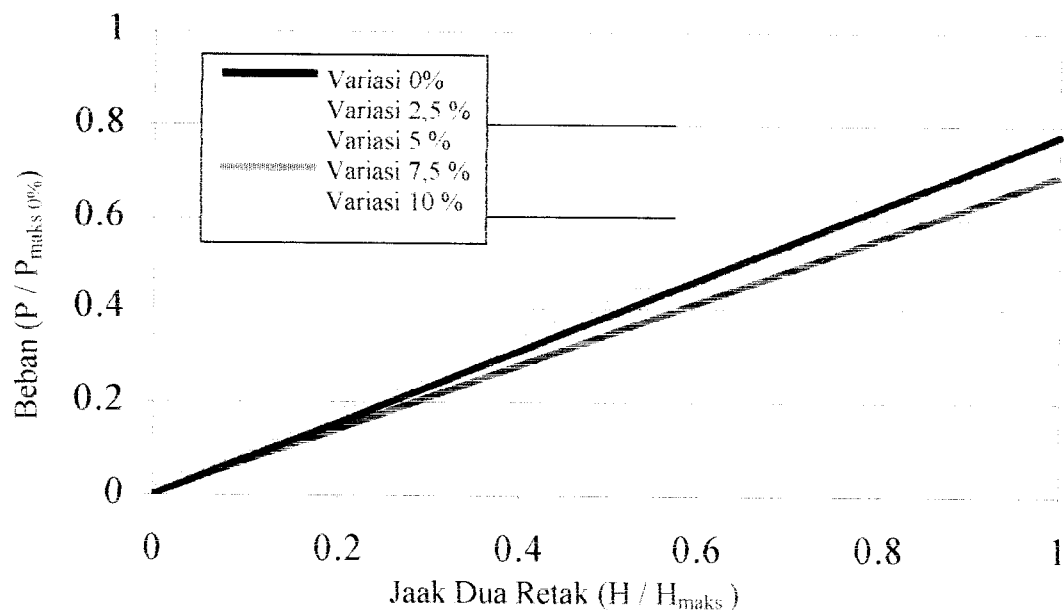


Gambar 5.5 Grafik Kenaikan Faktor Kekakuan



### 3. Hubungan Beban dan Jarak Dua Retak

Dari gambar pola retak untuk balok beton bertulang dengan dan tanpa campuran tepung kaca dapat diketahui hubungan beban dan jarak dua retak. Jarak dua retak dari pola yang sama untuk masing-masing balok diukur dan dibandingkan dengan beban yang bekerja. Hasil hubungan antara beban dan jarak retak dapat digambarkan seperti tampak pada Gambar 5.6.



Gambar 5.6 Grafik Hubungan Beban dan Jarak Dua Retak

## 5.2 Pembahasan

### 5.2.1 Kandungan Silika Tepung Kaca

Dari data prosentase silika tepung kaca dapat dihitung perubahan jumlah senyawa kimia semen portland. Dengan membandingkan kandungan senyawa

kimia untuk semen portland jenis I dan semen dengan penambahan tepung kaca dapat diketahui adanya kenaikan/penurunan jumlah senyawa kimia semen. Hasil dari perhitungan tersebut kemudian dibandingkan dengan data pada Tabel 2.2 dan ternyata penambahan tepung kaca 10% dari berat semen mengubah sifat semen portland dari jenis I menjadi jenis II.

### 5.2.2 Kuat Desak Beton

Dari beban ( $P$ ) dan luas penampang ( $A$ ) silinder beton, kuat desak yang terjadi dapat diketahui. Dengan membandingkan kuat desak silinder beton untuk variasi normal dengan variasi campuran akan didapatkan besarnya prosentase kenaikan/penurunan kuat desak sebagai berikut:

- a. silinder beton dengan variasi campuran tepung kaca 2,5 % dari berat semen mengalami kenaikan kuat desak sebesar 3,981 MPa atau naik 13,2 % ,
- b. silinder beton dengan variasi campuran tepung kaca 5 % dari berat semen mengalami kenaikan kuat desak sebesar 9,481 MPa atau naik 31,5 % ,
- c. silinder beton dengan variasi campuran tepung kaca 7,5 % dari berat semen mengalami kenaikan kuat desak sebesar 9,906 MPa atau naik 32,9 % , dan
- d. silinder beton dengan variasi campuran tepung kaca 10 % dari berat semen mengalami kenaikan kuat desak sebesar 11,69 MPa atau naik 38,8 % .

### 5.2.3 Kuat Tarik Baja

Dari uji tarik terhadap tulangan baja yang digunakan yaitu  $D_6$  untuk tulangan sengkang,  $D_8$  untuk tulangan baja desak, dan  $D_{12}$  untuk tulangan baja tarik dapat diketahui besarnya gaya ( $P$ ) saat baja mengalami leleh. Tegangan leleh dihitung dengan cara membagi gaya ( $P$ ) dengan luas penampang baja yang diuji.

#### 5.2.4 Kuat Lentur Ditinjau dari Hubungan Beban dan Lendutan

Dari Tabel 5.4 dapat diamati dan dianalisis pengaruh tepung kaca terhadap kuat lentur balok dalam menahan beban, serta perilaku lendutan yang terjadi pada benda uji. Dari penelitian didapatkan hubungan beban ( $P$ ) dan lendutan ( $\Delta$ ), dalam hal ini nilai kekakuan didapat dari  $tg \alpha = P/\Delta$ . Perbedaan perilaku kekakuan pada balok dengan dan tanpa variasi campuran secara umum tidak berbeda jauh.

Dengan membandingkan grafik beban dan lendutan balok variasi normal dengan campuran dapat diketahui besarnya nilai kekakuan. Grafik beban dan lendutan dianggap mempunyai kekakuan 100 %, sedangkan pada balok dengan variasi campuran kekakuan harus dibandingkan dengan grafik beban dan lendutan balok variasi normal. Dengan demikian diperoleh angka kenaikan/penurunan kuat sisa dan nilai kekakuan sebagai berikut:

- a. balok dengan variasi campuran tepung kaca 2,5 % dari berat semen mengalami kenaikan kapasitas sebesar 4,62 % atau mempunyai kapasitas sebesar 104,62 % dan kenaikan kekakuan sebesar 6,48 %,
- b. balok dengan variasi campuran tepung kaca 5 % dari berat semen mengalami kenaikan kapasitas sebesar 7,56 % atau mempunyai kapasitas sebesar 107,56 % dan kenaikan kekakuan sebesar 14,78 %,
- c. balok dengan variasi campuran tepung kaca 7,5 % dari berat semen mengalami kenaikan kapasitas sebesar 13,27 % atau mempunyai kapasitas 113,27 % dan kenaikan kekakuan sebesar 16,97 %, dan
- d. balok dengan variasi campuran tepung kaca 10 % dari berat semen mengalami kenaikan kuat sisa sebesar 15,97 % dengan atau mempunyai kapasitas sebesar 115,97 % dan kenaikan kekakuan sebesar 17,96 %.

### 5.2.5 Kuat Lentur Ditinjau dari Hubungan Momen dan Kelengkungan

Pada Gambar 5.4 terlihat grafik momen-kelengkungan teoritis lebih tinggi dari grafik hasil penelitian variasi normal, karena kuat tarik beton diperhitungkan dalam perhitungan secara teoritis.

Hubungan momen dan kelengkungan menunjukkan faktor kekakuan. Dalam hal ini didapat dari  $M/\phi$ , faktor kekakuan pada balok dengan variasi campuran secara umum berbeda. Gambar 5.4 menunjukkan grafik  $M/\phi$  yang diperoleh dari data percobaan di laboratorium.

Dengan membandingkan grafik momen kelengkungan balok variasi normal dengan campuran, dapat diketahui besarnya faktor kekakuan (%) seperti di sajikan dalam Tabel 5.6. Grafik momen-kelengkungan balok variasi normal dianggap mempunyai faktor kekakuan 100%, sedangkan untuk variasi campuran faktor kekakuan harus dibandingkan dengan grafik momen-kelengkungan balok variasi normal.

Dari Tabel 5.6 dapat dilihat terjadinya kenaikan momen dan faktor kekakuan untuk perhitungan secara teoritis dan dengan variasi campuran jika dibandingkan dengan balok beton normal. Hasil analisis dapat di jabarkan sebagai berikut:

- a. untuk perhitungan secara teoritis kenaikan momen 44,23 % dan kenaikan faktor kekakuan sebesar 73,62 %,
- b. balok dengan variasi campuran tepung kaca 2,5 % dari berat semen terjadi kenaikan momen sebesar 4,62 % dan kenaikan faktor kekakuan sebesar 14,68%,

- c. balok dengan variasi campuran tepung kaca 5 % dari berat semen terjadi kenaikan momen sebesar 12,31 % dan kenaikan faktor kekakuan sebesar 48,81%,
- d. balok dengan variasi campuran tepung kaca 7,5 % dari berat semen terjadi kenaikan momen sebesar 26,15 % dan kenaikan faktor kekakuan sebesar 91,56 %, dan
- e. balok dengan variasi campuran tepung kaca 10 % dari berat semen terjadi kenaikan momen sebesar 43,07 % dan kenaikan faktor kekakuan sebesar 122,15 %.

### 5.2.6 Kuat Lentur ditinjau dari Hubungan Beban dan Jarak Dua Retak

Dengan mengamati gambar pola retak yang terjadi pada balok beton bertulang baik dengan maupun tanpa campuran tepung kaca dapat diketahui data jarak dua retak ( $h$ ), tinggi balok ( $H$ ), gaya maksimum ( $P_{maks}$ ), dan gaya yang bekerja ( $P$ ). Hubungan antara  $\frac{P}{P_{maks \ 0\%}}$  dan  $\frac{h}{H_{maks}}$  dapat digambarkan dalam bentuk grafik seperti tampak pada Gambar 5.6. Jika dibandingkan dengan balok normal, jarak dua retak untuk balok variasi campuran semakin jauh.

## **BAB VI**

### **KESIMPULAN DAN SARAN**

#### **6.1 Kesimpulan**

Berdasarkan hasil penelitian dan pembahasan mengenai perilaku silinder dan balok beton bertulang dengan penambahan tepung kaca yang telah diuraikan, dapat disimpulkan sebagai berikut:

1. penambahan tepung kaca dengan prosentase 10 % dari berat semen pada adukan beton mampu meningkatkan kuat desak silinder beton sebesar 38,8% dan meningkatkan kekakuan balok beton bertulang sebesar 17,96%,
2. Penambahan tepung kaca dengan prosentase 10 % dari berat semen mampu mereduksi jumlah kebutuhan semen sebesar  $\pm 10\%$  dan meningkatkan mutu semen portland dari jenis I menjadi jenis II, dan
3. penambahan tepung kaca dengan prosentase 10 % dari berat semen pada adukan beton mampu menghasilkan beton mutu tinggi.

#### **6.2 Saran**

Untuk memperoleh pengetahuan lebih mendalam mengenai beton dengan penambahan tepung kaca perlu diadakan penelitian lebih lanjut, dan beberapa saran yang dapat diberikan di antaranya yaitu:

1. untuk penelitian di masa mendatang, perlu dilakukan penambahan variasi yaitu jenis dan warna kaca sedangkan nilai prosentase tepung kaca terhadap berat semen harus ditingkatkan ( $>10\%$ ), karena pada penelitian ini kenaikan kuat desak beton terhadap prosentase tepung kaca masih bersifat linier,
2. perlu dicermati adanya kandungan kimia lain dari tepung kaca yang mampu meningkatkan kuat desak beton yakni kapur,  $\text{CaO}$  (10,63%) dan alumina,  $\text{Al}_2\text{O}_3$  (1,86%),
3. perlu dicermati adanya kandungan alkali dalam tepung kaca yang dapat merusak beton yaitu soda,  $\text{Na}_2\text{O}$  (13,46%) dan potas,  $\text{K}_2\text{O}$  (0,54%),
4. untuk penelitian selanjutnya agar mendapatkan hasil yang lebih valid jumlah sampel balok untuk tiap variasi perlu ditambah menjadi 3 atau lebih, dan
5. pada saat pengujian perlu diperhatikan ketelitian dan kecermatan pengamatan dalam membaca “Dial” dan munculnya retak awal sehingga didapat data yang lebih valid.

## DAFTAR PUSTAKA

- , 1971, **PERATURAN BETON BERTULANG INDONESIA**, Departemen Pekerjaan Umum, Bandung.
- , 1991, **TATA CARA PERHITUNGAN STRUKTUR BETON BERTULANG UNTUK BANGUNAN GEDUNG**, Standar SK-SNI T-15-1991-03, Departemen Pekerjaan Umum, Bandung.
- Istimawan D., 1994, **STRUKTUR BETON BERTULANG**, Gramedia Pustaka Umum, Jakarta.
- Kardiyono T., 1992, **TEKNOLOGI BETON**, Pusat Antar Universitas (PAU), Universitas Gadjah Mada, Yogyakarta.
- Kusnadi, 1985, **TEKNOLOGI BETON**, Buku 1, Departemen Sipil Fakultas Teknik Sipil dan Perencanaan, Institut Teknologi Bandung, Bandung
- Mindess, S. and Young, J.F., 1981, **CONCRETE**, Prentice Hall, Inc., New Jersey.
- Murdock, L.J., dan Brook, K.M., 1986, **BAHAN DAN PRAKTEK BETON**, alih bahasa Hendarko, Erlangga, Jakarta.
- Nawy, E.G., 1985, **BETON BERTULANG (SUATU PENDEKATAN DASAR)**, alih bahasa Suryoatmono, B., Eresco, Bandung.
- Neville, A.M., 1973, **PROPERTIES OF CONCRETE (3<sup>rd</sup>.ed)**, Great British and Pitman Press, London.
- Park, R. and Paulay, T., 1975, **REINFORCED CONCRETE STRUCTURES**, A Wiley-Interscience Publication, London.
- Popovic, S., 1998, **STRENGTH AND RELATIF PROPORTION OF CONCRETE**, John Wiley & Sons, Inc., New York.
- Sagel, R., Kole, P., dan Gideon K., 1993, **PEDOMAN Pengerjaan Beton**, Seri Beton 2, Erlangga, Jakarta.
- Shah, S.P., Swartz, S.E., dan Ouyang, C., 1995, **FRACTURE MECHANICS OF CONCRETE**, John Wiley & Son, Inc., New York
- Tata S., dan Saito, S., 1995, **PENGETAHUAN BAHAN TEKNIK**, Pradnya Paramitha, Jakarta.

# LAMPIRAN

110ppm 10e  
TA 30e



UNIVERSITAS ISLAM INDONESIA  
FAKULTAS TEKNIK SIPIL DAN PERENCANAAN  
JURUSAN TEKNIK SIPIL  
Jl. Kaliurang Km. 14,4 Telp. 95330 Yogyakarta

**KARTU PESERTA TUGAS AKHIR**

No.	Nama	No. Mhs.	N.I.R.M.	Bidang Studi
1	BOBBY ENTRIOHADI	91 310 239		ISS
2	ARY AWAN WIDODO	91 310 209		ISS

**JUDUL TUGAS AKHIR** PENGARUH TEPUNG KACA TERHADAP KEKAWIHAN DAN KUAT LENTUR BALOK BETON.

Dosen Pembimbing I :  
Dosen Pembimbing II :  
1 2

IR. IBNU SUDARWADI, MS  
IR. FATKHURROHMAN N. M.



Yogyakarta,  
Dekan,  
Kata Jurusan Teknik Sipil.  
IR. H. ABDUDDIN B. ARIS, MS



UNIVERSITAS ISLAM INDONESIA  
FAKULTAS TEKNIK SIPIL DAN PERENCANAAN  
JURUSAN TEKNIK SIPIL  
Jl. Kaliurang Km. 14,4 Telp. 95330 Yogyakarta

**KARTU PESERTA TUGAS AKHIR**

No.	Nama	No. Mhs.	N.I.R.M.	Bidang Studi

**JUDUL TUGAS AKHIR** :

Dosen Pembimbing I :  
Dosen Pembimbing II :  
1 2

Yogyakarta,  
Dekan,

3 x 4

3 x 4



**DEPARTEMEN KESEHATAN R.I.**  
**DIREKTORAT JENDERAL PEMBERANTASAN PENYAKIT MENULAR DAN**  
**PENYEHATAN LINGKUNGAN PEMUKIMAN**  
**BALAI TEKNIK KESEHATAN LINGKUNGAN**

JALAN POLOWIJAN NO. 11, TELP. (0274) 376288, FAX. 384637, YOGYAKARTA 55133

PEMERIKSAAN PARAMETER FISIKA DAN KIMIA

Jenis sampel : Serbuk  
 Asal sampel : -  
 Dikirim oleh : Sdr. Bobby Satriohadi, Mhs. Teknik Sipil UII, No. Mhs. 94310229  
 Dambil oleh : Sdr. Bobby Satriohadi, Mhs. Teknik Sipil UII, No. Mhs. 94310229  
 Tgl. Pengambilan/penerimaan : - / 7-2-2001  
 No. lab. : 800 F  
 800 F : Contoh serbuk kaca.

No.	Parameter	Satuan	Hasil analisa
			800 F
1.	Silika	%	71,93
2.	Na	%	0,311
3.	Cl	%	0,122
4.	NaO	%	0,5272

Yogyakarta, 7 Maret 2001

Mengetahui :  
 Kepala Balai Teknik Kesehatan  
 Lingkungan Yogyakarta

  
 Drs. Maryadi Broto Suwandi MS  
 NIP. 140093408

Koordinator Lab. Kimia Fisika  
 Zat Padat dan Cair

  
 Ir. Sigit Hernowo  
 NIP. 140129859



LABORATORIUM BAHAN KONSTRUKSI TEKNIK  
FAKULTAS TEKNIK SIPIL DAN PERENCANAAN  
UNIVERSITAS ISLAM INDONESIA  
Jln. Kaliurang Km. 14,4 telp. (0274) 895707, 895042 Sleman Yogyakarta

### DATA PEMERIKSAAN GRADASI AGREGAT HALUS

Jenis Benda Uji : Pasir  
Nama Benda uji :  
Asal : Krasak  
Keperluan :  
:

Diperiksa oleh :

1) Aryan W  
2) Bobby S

Tanggal : 1 Nopember 2000

#### ALAT - ALAT :

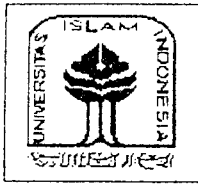
1. Timbangan kapaitas 20 kg
2. Mesin penggetar / mesin ayak
3. Saringan 1 (satu) set ( 40, 20, 10, 4.80, 2.40, 1.20, 0.60, 0.30, 0.15, pan ) mm
4. Sikat baja ( Kasar / halus )
5. Kuas , Lap kaos
6. Piring, serok . dll

LUBANG AYAKAN ( mm )	BERAT TERTINGGAL ( gram )		BERAT TERTINGGAL ( % )		BERAT TERTINGGAL KUMULATIF	
	I	II	I	II	I	II
PERCOBAAN KE :						
40						
20						
10						
4.80	4,3	3,2	0,22	0,1568	0,22	.....
2.40	123,2	193,2	6,277	9,466	6,406	.....
1.20	375,6	370,6	19,157	18,1587	25,633	.....
0.60	603,0	740,2	35,35	36,2732	60,982	.....
0.30	433,2	450,9	22,072	22,0932	83,054	.....
0.15	302,3	232,4	15,402	11,3871	98,456	.....
SISA	30,3	50,3	1,544	2,4646	---	---
Jumlah	1962,7	2040,9	100	100	274,8408	285,3006
Jumlah rata-rata	2001,8		100		280,07069	

$$\text{Modulus Halus Butir (MHB)} = \frac{280,07069}{100} = 2,8007069 \approx 2,8$$

Yogyakarta,

LABORATORIUM  
BAHAN KONSTRUKSI TEKNIK  
FAKULTAS TEKNIK UII



**LABORATORIUM BAHAN KONSTRUKSI TEKNIK**  
**FAKULTAS TEKNIK SIPIL DAN PERENCANAAN**  
**UNIVERSITAS ISLAM INDONESIA**  
 Jln. Kaliurang Km. 14,4 telp. (0274) 895707, 895042 Sleman Yogyakarta

**DATA PEMERIKSAAN**  
**BERAT VOLUME AGREGAT KASAR**

Jenis Benda Uji : Keurki  
 Nama Benda uji : \_\_\_\_\_  
 Asal : Cireng, Kobar Praga  
 Keperluan : \_\_\_\_\_

Diperiksa oleh :

1) Arswan, W

2) Bahar, A

Tanggal : 1 Desember 2008

**ALAT – ALAT**

1. Timbangan Kapasitas minimal 20 Kg
2. Cetakan silinder (  $\varnothing 15 \times t 30$  ) cm
3. Tongkat penumbuk  $\varnothing 16$  mm panjang 60 cm
4. Serok /cetok
5. Dan lain-lain

	BENDA UJI I	BENDA UJI II
Berat cetakan silinder (W1)	...6,735 Kg	...6,50 Kg
Berat cetakan silinder + Agregat (W2)	...14... Kg	...13,5 Kg
Volume silinder (V) $\frac{1}{4} \pi \cdot d^2 \cdot t$	0,00053 M <sup>3</sup>	0,00053 M <sup>3</sup>
Berat Volume Agregat = $\frac{W2 - W1}{V}$ $\frac{kg}{m^3}$	13000	13000
Berat Volume Agregat Rata - rata $\frac{kg}{m^3}$		13000 $\frac{kg}{m^3}$

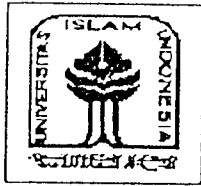
Yogyakarta,

LABORATORIUM

BAHAN KONSTRUKSI TEKNIK

FAKULTAS TEKNIK UIN

*Arswan*



**LABORATORIUM BAHAN KONSTRUKSI TEKNIK**  
**FAKULTAS TEKNIK SIPIL DAN PERENCANAAN**  
**UNIVERSITAS ISLAM INDONESIA**  
 Jln. Kaliurang Km. 14,4 telp. (0274) 895707, 895042 Sleman Yogyakarta

**DATA PEMERIKSAAN**  
**BERAT JENIS AGREGAT HALUS**

Jenis Benda Uji : Pasir  
 Nama Benda uji : \_\_\_\_\_  
 Asal : Krasak  
 Keperluan : \_\_\_\_\_  
 \_\_\_\_\_

Diperiksa oleh :

- 1) Arifawan.W  
 2) Bobby.S

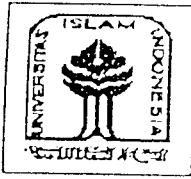
Tanggal : 30 Oktober 2000

**ALAT – ALAT**

1. Gelas ukur kapasitas 1000 cc
2. Timbangan ketelitian 0,01 gram
3. Piring, sekop kecil

	BENDA UJI I	BENDA UJI II
Berat Agregat ( W )	...400... Gram	...400... Gram
Gelas ukur + Air ( V1 )	...400... Cc	...400... Cc
Gelas ukur + Air + Agregat ( V2 )	...540... Cc	...547... Cc
BERAT JENIS ( BJ ) $\frac{W}{V2 - v1}$	...3.277...	...3.291...
BERAT JENIS ( BJ ) RATA-RATA	...3.284...	

LABORATORIUM Yogyakarta,  
**BAHAN KONSTRUKSI TEKNIK**  
**FAKULTAS TEKNIK**



**LABORATORIUM BAHAN KONSTRUKSI TEKNIK**

FAKULTAS TEKNIK SIPIL DAN PERENCANAAN

UNIVERSITAS ISLAM INDONESIA

Jln. Kaliurang Km. 14,4 telp. (0274) 895707, 895042 Sleman Yogyakarta

**DATA PEMERIKSAAN  
BERAT JENIS AGREGAT HALUS  
KASAR**

Jenis Benda Uji : Pasir Keudil  
 Nama Benda uji :  
 Asal : Krasak Gunung Kidul  
 Keperluan :  
 :

Diperiksa oleh :

1) Arsyawan.W

2) Bobby.S

Tanggal : 30 Oktober 2000

**ALAT - ALAT**

1. Gelas ukur kapasitas 1000 cc
2. Timbangan ketelitian 0,01 gram
3. Piring, sekop kecil

	BENDA UJI I	BENDA UJI II
Berat Agregat ( W )	..400.. Gram	..400.. Gram
Gelas ukur + Air ( V1 )	..400.. Cc	..400.. Cc
Gelas ukur + Air + Agregat ( V2 )	..550.. Cc	..555 Cc
BERAT JENIS ( BJ )	2,667	2,58
$\frac{W}{V2 - v1}$	..2,7891	..2,7211
BERAT JENIS ( BJ ) RATA-RATA	2,7891	2,6235

LABORATORIUM

BAHAN KONSTRUKSI TEKNIK

FAKULTAS TEKNIK SIPIL

*Handwritten signature*



**LABORATORIUM STRUKTUR**  
FAKULTAS TEKNIK SIPIL DAN PERENCANAAN  
**UNIVERSITAS ISLAM INDONESIA**  
Jl. Kaliurang Km. 14,4 Sleman Yogyakarta

Lampiran 6

### Data Hasil Kuat Tarik Baja

Baja	Diameter (mm)	P. leleh (kgf)	P. tarik (kgf)	Luas (mm <sup>2</sup> )	Tegangan Leleh (Mpa)	Tegangan Tarik (Mpa)	Tegangan Tertinggi (Mpa)	Is rata-rata (Mpa)
6	5.10	550	520	21	260	244	254	254
	5.10	530	500	21	250	235	245	240
	5.10	540	530	21	254	250	250	250
8	7.10	1520	1700	51	300	330	330	330
	7.10	1530	1710	51	300	330	330	330
	7.10	1520	1700	51	300	330	330	330
12	11.10	2990	2980	105	290	290	290	290
	11.10	2960	2950	105	290	290	290	290
	11.10	2925	2930	105	290	290	290	290

Yogyakarta,

2019

Supriya Budiman (15161101101)

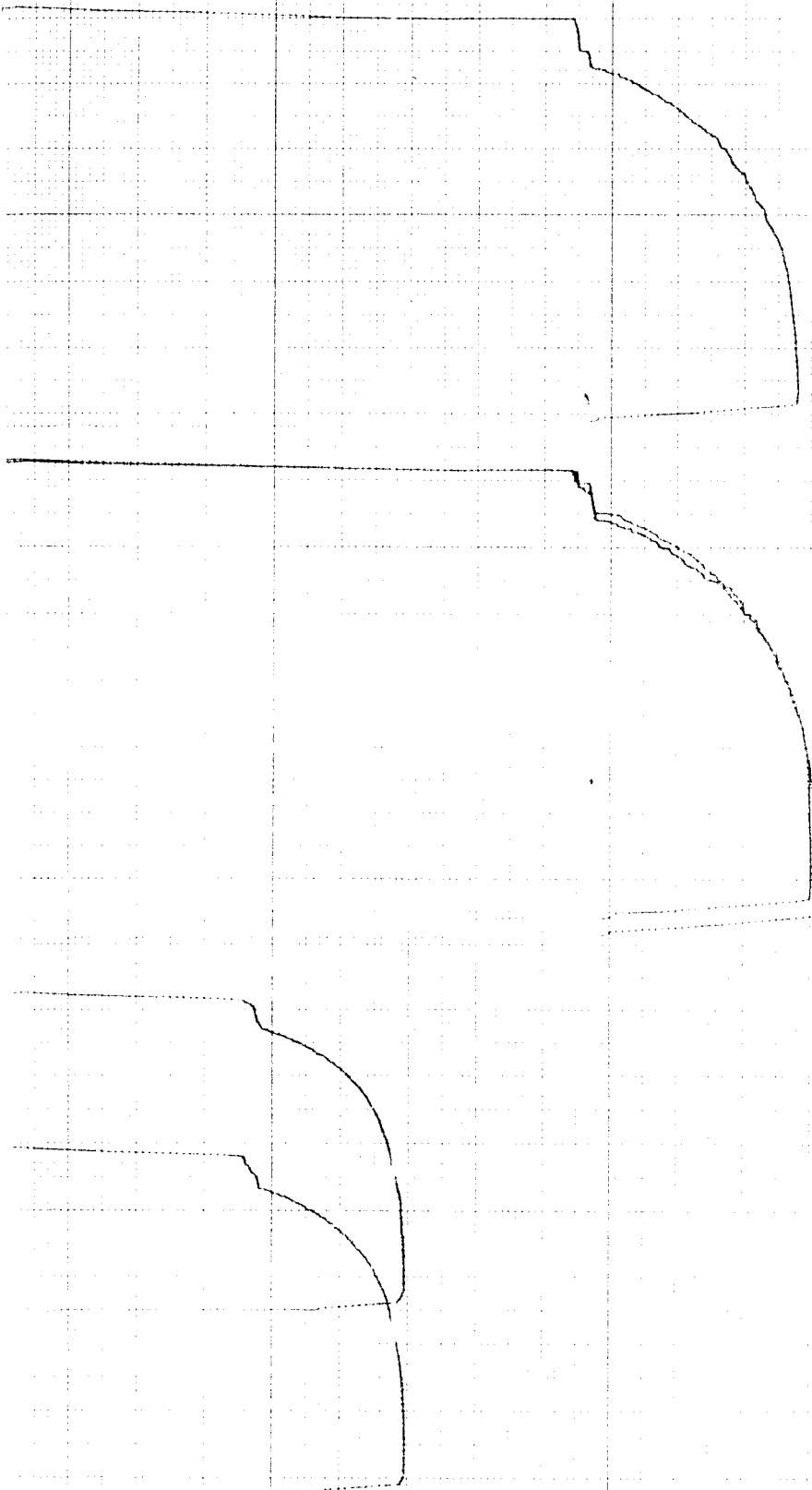
an

**LABORATORIUM**

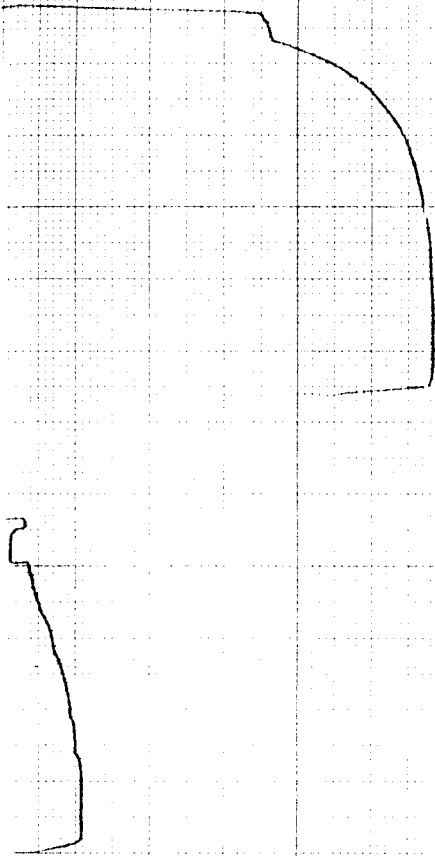
**BAHAN KONSTRUKSI TEKNIK**

**FAKULTAS TEKNIK UII**

Lampiran 6



LABORATORIUM  
BAHAN KONSTRUKSI TEKNIK *Dense*  
FAKULTAS TEKNIK UII



LABORATORIUM  
BAHAN KONSTRUKSI TEKNIK *desse*  
FAKULTAS TEKNIK UI



**LABORATORIUM BAHAN KONSTRUKSI TEKNIK**  
 Jl. Kaliurang Km. 14,4 Phone : 895330 Yogyakarta 68554

**HASIL KUAT DESAK SILINDER BETON**

Lampiran 7

NO. / / /  
 Variasi : NORMAL Jumlah : 10 buah  
 Keperluan : Di terima tanggal

No.	d x t	Ukuran (cm)	Luas (cm <sup>2</sup> )	berat (kg)	Dibuat tanggal	Diuji tanggal	Berat satuan Ton/m <sup>3</sup>	Beban max (KN)	Kuat desak (kg/cm <sup>2</sup> )	Ket
A1-1	15,08 x	30,5	<del>178,676</del>	12,519	20 NOV'00	18 DES'00	2,297 · 10 <sup>4</sup>	590	33,69	
A1-2	15,01 x	30,12	177,022	12,499	20 NOV'00	18 DES'00	2,344 · 10 <sup>4</sup>	590	33,99	
A1-3	14,95 x	30,05	175,609	12,614	20 NOV'00	18 DES'00	2,394 · 10 <sup>4</sup>	540	31,37	
A1-4	14,92 x	30,11	176,079	12,462	20 NOV'00	18 DES'00	2,351 · 10 <sup>4</sup>	565	32,73	
A1-5	15,01 x	30,01	177,022	12,391	20 NOV'00	18 DES'00	2,333 · 10 <sup>4</sup>	570	32,85	
A2-1	15,0 x	30,07	176,786	12,443	20 NOV'00	18 DES'00	2,341 · 10 <sup>4</sup>	580	33,47	
A2-2	14,8 x	29,89	172,103	12,212	20 NOV'00	18 DES'00	2,374 · 10 <sup>4</sup>	530	31,42	
A2-3	15,03 x	30,08	177,494	12,482	20 NOV'00	18 DES'00	2,338 · 10 <sup>4</sup>	555	31,90	
A2-4	15,10 x	30,10	179,151	12,264	20 NOV'00	18 DES'00	2,274 · 10 <sup>4</sup>	665	37,87	
A2-5	15,02 x	30,06	177,258	12,523	20 NOV'00	18 DES'00	2,350 · 10 <sup>4</sup>	630	36,26	

Keterangan :

Perkiraan rata-rata kuat desak umur 28 hari menurut PBI 1971 =

= kg/cm<sup>2</sup>

Yogyakarta,  
 Kepala Bagian Lab. BKT.FT. UII

**LABORATORIUM**  
**BAHAN KONSTRUKSI TEKNIK**  
 FAKULTAS TEKNIK UII



**LABORATORIUM BAHAN KONSTRUKSI TEKNIK**  
 Jl. Kaliurang Km. 14,4 Phone : 895330 Yogyakarta 68554

**HASIL KUAT DESAK SILINDER BETON**

Lampiran 7

Variasi :  $2\frac{1}{2}\%$  dari berat semen

jumlah : 10 buah

Keperluan : Di terima tanggal

No.	Ukuran (cm) d x t	Luas (cm <sup>2</sup> )	berat (kg)	Dibuat tanggal	Diuji tanggal	Berat satuan Ton/m <sup>3</sup>	Beban max (KN)	Kuat desak (kg/cm <sup>2</sup> )	Ket
B1-1	15,03 x 30,05	177,994	12,450	21 NOV'00	19 DES'00	2,334 . 10 <sup>+4</sup>	670	38,51	
B1-2	15,02 x 30,08	177,258	12,420	21 NOV'00	19 DES'00	2,329 . 10 <sup>+4</sup>	620	35,63	
B1-3	15,01 x 30,09	177,022	12,515	21 NOV'00	19 DES'00	2,368 . 10 <sup>+4</sup>	710	40,92	
B1-4	15,07 x 29,91	178,440	12,515	21 NOV'00	19 DES'00	2,345 . 10 <sup>+4</sup>	700	40,02	
B1-5	15,08 x 30,06	178,677	12,510	21 NOV'00	19 DES'00	2,329 . 10 <sup>+4</sup>	655	37,40	
B2-1	14,92 x 30,07	174,905	12,530	21 NOV'00	19 DES'00	2,382 . 10 <sup>+4</sup>	625	36,45	
B2-2	14,93 x 30,08	175,139	12,195	21 NOV'00	19 DES'00	2,315 . 10 <sup>+4</sup>	605		
B2-3	15,08 x 30,08	178,677	12,470	21 NOV'00	19 DES'00	2,320 . 10 <sup>+4</sup>	625	35,68	
B2-4	14,96 x 30,09	175,844	12,480	21 NOV'00	19 DES'00	2,359 . 10 <sup>+4</sup>	715	41,48	
B2-5	14,97 x 30,09	176,079	12,530	21 NOV'00	19 DES'00	2,368 . 10 <sup>+4</sup>	640	37,08	

Keterangan : -

- Perkiraan rata-rata kuat desak umur 28 hari menurut PBI 1971 =

= kg/cm<sup>2</sup>

Yogyakarta,

**LABORATORIUM** Lab. BKT.FT. UII

**BAHAN KONSTRUKSI TEKNIK**

**FACULTAS TEKNIK**

(.....)

7.3. % BAHAN BERAT SEMEN

10 BUAH

Di terima tanggal

**LABORATORIUM BAHAN KONSTRUKSI TEKNIK**  
 Jl. Kaliurang Km. 14,4 Phone : 895330 Yogyakarta 68554

**HASIL KUAT DESAK SILINDER BETON**

NO. / / /  
 5 % dari berat semen  
 Di terima tanggal : 10 buah

Lampiran 7

No.	d x t	Ukuran (cm)	Luas (cm <sup>2</sup> )	berat (kg)	Dibuat tanggal	Diuji tanggal	Berat satuan Ton/m <sup>3</sup>	Beban max (KN)	Kuat desak (kg/cm <sup>2</sup> )	Ket
1	15,02	x	29,94	12,661	22 NOV '00	20 DES '00	2,386 · 10 <sup>4</sup>	755	13,45	
2	15,02	x	30,02	12,738	22 NOV '00	20 DES '00	2,394 · 10 <sup>4</sup>	700	40,57	
3	15,03	x	30,03	12,665	22 NOV '00	20 DES '00	2,372 · 10 <sup>4</sup>	710	41,38	
4	14,92	x	29,97	12,560	22 NOV '00	20 DES '00	2,396 · 10 <sup>4</sup>	785	45,78	
5	15,01	x	29,93	12,565	22 NOV '00	20 DES '00	2,372 · 10 <sup>4</sup>	750	43,24	
1	15,01	x	30,06	12,611	22 NOV '00	20 DES '00	2,370 · 10 <sup>4</sup>	715	44,18	
2	15,08	x	30,09	12,609	22 NOV '00	20 DES '00	2,395 · 10 <sup>4</sup>	710	30,57	
3	15,03	x	30,08	12,669	22 NOV '00	20 DES '00	2,373 · 10 <sup>4</sup>	730	41,90	
4	15,07	x	30,10	12,895	22 NOV '00	20 DES '00	2,401 · 10 <sup>4</sup>	715	40,33	
5	15,05	x	30,07	12,874	22 NOV '00	20 DES '00	2,406 · 10 <sup>4</sup>	730	44,21	

Perangan :

- Perkiraan rata-rata kuat desak umur 28 hari menurut PBI 1971 =

kg/cm<sup>2</sup>

Yogyakarta,  
**LABORATORIUM BAHAN KONSTRUKSI TEKNIK**  
 FAKULTAS TEKNIK



**LABORATORIUM BAHAN KONSTRUKSI TEKNIK**  
 Jl. Kaliurang Km. 14,4 Phone : 895330 Yogyakarta 68554

**HASIL KUAT DESAK SILINDER BETON**

Lampiran 7

NO. / / /  
 : 10 % dari berat semen

Di terima tanggal : 10 buah

Di terima tanggal

No.	Ukuran (cm) d x t	Luas (cm <sup>2</sup> )	berat (kg)	Dibuat tanggal	Diuji tanggal	Berat satuan Ton/m <sup>3</sup>	Beban max (KN)	Kuat desak (kg/cm <sup>2</sup> )	Ket
1	15,03 x 30,01	177,494	12,670	24 NOV 00	22 DES 00	2,379 . 10 <sup>4</sup>	895	51,49	
2	15,08 x 29,9	178,676	12,683	24 NOV 00	22 DES 00	2,374 . 10 <sup>4</sup>	835	47,67	
3	15,04 x 29,96	177,730	12,633	24 NOV 00	22 DES 00	2,373 . 10 <sup>4</sup>	860	50,51	
4	15,01 x 30,96	177,022	12,584	24 NOV 00	22 DES 00	2,373 . 10 <sup>4</sup>	860	49,56	
5	15,02 x 30,00	177,258	12,743	24 NOV 00	22 DES 00	2,389 . 10 <sup>4</sup>	936	53,52	
6	15,00 x 30,00	176,786	12,560	24 NOV 00	22 DES 00	2,378 . 10 <sup>4</sup>	945	54,53	
7	15,06 x 30,1	178,203	12,688	24 NOV 00	22 DES 00	2,365 . 10 <sup>4</sup>	780	44,65	
8	15,07 x 30,2	178,440	12,758	24 NOV 00	22 DES 00	2,368 . 10 <sup>4</sup>	785	44,88	
9	15,05 x 30,10	177,966	12,675	24 NOV 00	22 DES 00	2,366 . 10 <sup>4</sup>	810	46,43	
10	15,02 x 30,08	177,258	12,750	24 NOV 00	22 DES 00	2,391 . 10 <sup>4</sup>	730	42,01	

Perkiraan rata-rata kuat desak umur 28 hari menurut PBI 1971 =

Yogyakarta, = kg/cm<sup>2</sup>

Yogyakarta,  
 Kepala Bagian Lab. BKT.FT. UII

PT. SIA

LABORATORIUM

BAHAN KONSTRUKSI TEKNIK

PT. SIA

## DATA BEBAN DAN LENDUTAN BALOK

Balok RCB - A2				
P (kN)	Cr	d1	d2	d3
0		0	0	0
1		22	24	21
2		43	45	42
3		65	67	64
4		93	99	90
5		120	125	118
6		134	138	133
7		151	156	148
8		169	175	167
9		201	207	199
10		218	223	214
11		250	258	249
<b>12</b>	<b>1</b>	<b>272</b>	<b>280</b>	<b>273</b>
13		312	320	312
14	2	342	350	340
15	3	367	375	364
16		391	402	388
17	4	412	428	402
18	5	453	465	448
19	6	483	490	479
20	7	512	515	481
21	8	535	540	505
22	9	559	572	533
23		574	595	554
24		592	615	572
25		610	634	590
26		630	657	609
27		650	681	630
27	10	675	712	660
27	11	705	757	724
27		722	782	750

Balok RCB - A2				
P (kN)	Cr	d1	d2	d3
28		749	825	807
29	12	793	884	880
29		816	917	914
29	13	832	940	935
30		856	972	964
30		876	1004	991
30.5		902	1050	1014
30.5	14	944	1114	1086
30.5	15	981	1168	1142
30.5		1007	1205	1195
30.5		1060	1240	1211
30.5		1081	1273	1253
31.5		1112	1308	1281
<b>32.5</b>		<b>1245</b>	<b>1382</b>	<b>1291</b>
32.5	16	1260	1439	1386
32.5		1270	1459	1406
32.5		1290	1479	1416
32.5		1300	1499	1426
32.5		1310	1539	1436
32.5		1330	1569	1446
32.5		1340	1589	1466
32.5		1350	1609	1476
32.5		1360	1629	1496
32.5	17	1370	1649	1506

Ket :

RCB-A2 = "Reinforced Concrete Beam" dgn 0 % tepung kaca (sampel 2)

P = Beban yang bekerja (kN)

Cr = Letak retak yang terjadi

d1 = Lendutan yang terjadi di titik 1 (0,01 mm)

d2 = Lendutan yang terjadi di titik 2 (0,01 mm)

d3 = Lendutan yang terjadi di titik 3 (0,01 mm)

## DATA BEBAN DAN LENDUTAN BALOK

Balok RCB - B1				
P (kN)	Cr	d1	d2	d3
0		0	0	0
1		28	29	26
2		49	51	48
3		85	87	84
4		119	121	118
5		146	148	139
6		168	171	161
7		181	185	177
8		194	198	189
9		208	211	207
10		221	224	211
11		253	256	251
12		271	275	261
13		289	294	283
14		315	321	311
<b>15</b>	<b>1</b>	<b>338</b>	<b>342</b>	<b>330</b>
16	2	352	368	348
17	3	378	395	374
18		400	418	398
19	4	428	440	411
20		468	472	449
21	5	489	495	470
22		505	514	496
23	6	525	536	511
24		557	572	527
25	7	569	588	538
26		574	604	541
27	8	581	620	548
28	9	613	642	575
29	10	631	667	581
30	11	641	690	598

Balok RCB - B1				
P (kN)	Cr	d1	d2	d3
31		668	706	615
31		686	728	630
31		706	749	650
31	12	730	775	675
32	13	756	820	745
32		781	860	792
32	14	801	895	832
32		825	929	875
32	15	860	965	925
32		924	1002	1002
32		961	1040	1045
33	16	987	1072	1085
33		1021	1102	1109
33		1035	1134	1130
33		1121	1190	1135
33	17	1127	1245	1242
33		1134	1305	1285
<b>34</b>		<b>1185</b>	<b>1345</b>	<b>1298</b>
34		1161	1425	1300
34	18	1196	1475	1345
34	19	1224	1410	1391
34		1234	1420	1401
34	20	1244	1440	1411
34		1254	1460	1421
34	21	1264	1480	1431
34	22	1274	1500	1441
34		1284	1520	1451
34		1294	1540	1461
34	23	1304	1560	1471
34	24	1314	1580	1481

Ket :

RCB-B1 = "Reinforced Concrete Beam" dgn 2,5 % tepung kaca (sampel 1)

P = Beban yang bekerja (kN)

Cr = Letak retak yang terjadi

d1 = Lendutan yang terjadi di titik 1 (0,01 mm)

d2 = Lendutan yang terjadi di titik 2 (0,01 mm)

d3 = Lendutan yang terjadi di titik 3 (0,01 mm)

### DATA BEBAN DAN LENDUTAN BALOK

Balok RCB - B2				
P (kN)	Cr	d1	d2	d3
0		0	0	0
1		31	32	30
2		52	55	51
3		84	86	83
4		116	119	110
5		135	141	128
6		160	164	152
7		189	194	183
8		207	211	200
9		229	233	225
10		253	258	245
11		267	271	261
12		284	289	276
<b>13</b>	<b>1</b>	<b>297</b>	<b>301</b>	<b>290</b>
14		324	330	318
15	2	358	364	341
16	3	374	385	368
17	4	391	409	388
18		421	432	420
19	5	443	455	431
20		467	474	452
21		496	502	473
22	6	514	524	498
23		534	548	513
24		554	570	523
25		572	592	534
26		593	609	549
27	7	613	631	602
28	8	644	654	588
29		668	679	611
30	9	671	697	617

Balok RCB - B2				
P (kN)	Cr	d1	d2	d3
31		691	717	635
32	10	708	736	656
33		727	759	675
33.5		750	784	696
33.5	11	768	803	714
33.5		796	845	748
33.5	12	819	882	775
33.5	13	849	926	805
33.5	14	909	1006	864
33.5		984	1069	955
33.5		1010	1109	991
33.5	15	1036	1157	1016
33.5	16	1082	1203	1042
33.5	17	1117	1235	1090
33.5	18	1134	1257	1128
33.5	19	1148	1285	1152
33.5	20	1202	1311	1212
<b>34</b>		<b>1240</b>	<b>1349</b>	<b>1249</b>
34	21	1249	1410	1294
34		1259	1430	1304
34	22	1269	1450	1314
34	23	1279	1470	1334
34		1289	1490	1344
34		1299	1510	1354
34		1309	1520	1364
34	24	1319	1540	1374
34		1329	1560	1384
34		1339	1580	1394
34		1349	1600	1404
34	25	1359	1620	1414

Ket :

RCB-B2 = "Reinforced Concrete Beam" dgn 2,5 % tepung kaca (sampel 2)

P = Beban yang bekerja (kN)

Cr = Letak retak yang terjadi

d1 = Lendutan yang terjadi di titik 1 (0,01 mm)

d2 = Lendutan yang terjadi di titik 2 (0,01 mm)

d3 = Lendutan yang terjadi di titik 3 (0,01 mm)

### DATA BEBAN DAN LENDUTAN BALOK

Balok RCB - C1				
P (kN)	Cr	d1	d2	d3
0		0	0	0
1		20	21	19
2		50	52	49
3		78	80	77
4		120	122	119
5		145	149	143
6		159	163	157
7		193	195	190
8		212	217	210
9		244	248	241
10		265	268	263
11		287	290	286
12		309	311	304
<b>13</b>	<b>1</b>	<b>330</b>	<b>335</b>	<b>325</b>
14	2	336	341	331
15	3	351	358	349
16	4	362	370	360
17	5	376	388	374
18		386	391	383
19	6	397	405	394
20		405	415	400
21	7	426	440	422
22		460	468	457
23		473	486	466
24		482	505	479
25		505	530	494
26		536	554	510
27		554	575	531
28	8	569	596	550
29		574	619	579
30	9	585	640	581

Balok RCB - C1				
P (kN)	Cr	d1	d2	d3
31		619	666	589
32	10	628	688	618
33	11	683	751	677
33	12	736	809	735
34	13	883	966	884
34		965	1059	987
34		1063	1195	1128
34	14	1130	1250	1169
<b>35</b>	<b>15</b>	<b>1268</b>	<b>1361</b>	<b>1289</b>
35		1278	1381	1299
35	16	1288	1401	1309
35		1298	1421	1329
35		1318	1441	1339
35	17	1328	1461	1349
35	18	1338	1481	1369
35		1348	1501	1379
35		1358	1521	1399
35	19	1368	1541	1409

Ket :

RCB-C1 = "Reinforced Concrete Beam" dgn 5 % tepung kaca (sampel 1)

P = Beban yang bekerja (kN)

Cr = Letak retak yang terjadi

d1 = Lendutan yang terjadi di titik 1 (0,01 mm)

d2 = Lendutan yang terjadi di titik 2 (0,01 mm)

d3 = Lendutan yang terjadi di titik 3 (0,01 mm)

### DATA BEBAN DAN LENDUTAN BALOK

Balok RCB - D1				
P (kN)	Cr	d1	d2	d3
0		0	0	0
1		25	26	20
2		50	51	44
3		79	80	71
4		98	101	95
5		124	125	118
6		150	151	141
7		177	178	174
8		191	193	181
9		211	215	202
10		235	238	228
11		258	261	243
12		279	282	262
13		310	314	301
14		334	339	320
<b>15</b>	<b>1</b>	<b>341</b>	<b>346</b>	<b>335</b>
16	2	405	396	388
17		418	423	408
18	3	440	446	432
19	4	465	472	455
20		490	494	477
21		520	525	496
22		531	540	513
23	5	555	562	522
24		568	586	543
25		594	610	575
26		630	635	582
27	6	649	651	590
28		652	661	603
29		693	699	626
30	7	715	724	684

Balok RCB - D1				
P (kN)	Cr	d1	d2	d3
31		750	772	712
32	8	818	845	790
33	9	885	936	880
34		1011	1059	1024
35	10	1090	1147	1115
36		1180	1271	1246
<b>37</b>	<b>11</b>	<b>1290</b>	<b>1405</b>	<b>1390</b>
37		1300	1425	1400
37	12	1310	1445	1410
37	13	1320	1465	1420
37		1330	1485	1430
37		1350	1505	1440
37	14	1360	1525	1450
37		1370	1545	1460
37	15	1380	1565	1470
37	16	1390	1575	1480

Ket :

RCB-D1 = "Reinforced Concrete Beam" dgn 7,5 % tepung kaca (sampel 1)

P = Beban yang bekerja (kN)

Cr = Letak retak yang terjadi

d1 = Lendutan yang terjadi di titik 1 (0,01 mm)

d2 = Lendutan yang terjadi di titik 2 (0,01 mm)

d3 = Lendutan yang terjadi di titik 3 (0,01 mm)

### DATA BEBAN DAN LENDUTAN BALOK

Balok RCB - D2				
P (kN)	Cr	d1	d2	d3
0		0	0	0
1		25	29	18
2		47	50	40
3		74	75	72
4		97	100	95
5		120	122	117
6		145	146	140
7		176	178	169
8		189	180	165
9		204	198	182
10		224	216	198
11		245	237	216
12		264	256	233
<b>13</b>	<b>1</b>	<b>338</b>	<b>343</b>	<b>334</b>
14	2	358	361	354
15	3	371	379	369
16	4	365	370	351
17	5	392	400	383
18	6	430	435	412
19	7	449	460	444
20	8	480	486	471
21	9	518	522	496
22	10	530	536	512
23	11	543	560	539
24		562	576	555
25	12	588	606	578
26	13	628	636	581
27		639	650	597
28	14	651	669	614
29		683	691	636
30	15	715	725	662

Balok RCB - D2				
P (kN)	Cr	d1	d2	d3
31		741	753	690
32	16	772	788	712
33		872	905	862
34		1042	1088	1035
35	17	1187	1211	1115
36		1294	1338	1277
<b>37</b>	<b>18</b>	<b>1385</b>	<b>1428</b>	<b>1330</b>
37		1395	1448	1340
37		1405	1468	1350
37	19	1415	1488	1360
37		1425	1508	1370
37		1435	1528	1380
37		1445	1548	1390
37		1455	1568	1400
37		1465	1588	1410
37	20	1475	1608	1420

Ket :

RCB-D2 = "Reinforced Concrete Beam" dgn 7,5 % tepung kaca (sampel 2)

P = Beban yang bekerja (kN)

Cr = Letak retak yang terjadi

d1 = Lendutan yang terjadi di titik 1 (0,01 mm)

d2 = Lendutan yang terjadi di titik 2 (0,01 mm)

d3 = Lendutan yang terjadi di titik 3 (0,01 mm)

### DATA BEBAN DAN LENDUTAN BALOK

Balok RCB - E1				
P (kN)	Cr	d1	d2	d3
0		0	0	0
1		33	36	32
2		62	64	61
3		92	93	87
4		127	130	125
5		158	162	155
6		182	184	180
7		210	212	209
8		242	244	240
9		268	271	262
10		292	295	290
11		309	311	300
12		336	340	331
<b>13</b>	<b>1</b>	<b>352</b>	<b>355</b>	<b>343</b>
14		368	370	356
15		370	374	366
16	2	393	398	390
17	3	434	439	431
18	4	463	466	461
19	5	487	490	484
20	6	516	520	510
21		534	537	530
22	7	561	566	548
23	8	600	608	591
24	9	619	623	601
25	10	643	649	639
26	11	664	669	650
27		675	689	669
28	12	704	711	700
29		720	730	719
30		736	752	730

Balok RCB - E1				
P (kN)	Cr	d1	d2	d3
31	13	769	782	760
32		780	799	774
33	14	809	821	792
34	15	854	859	824
34		922	935	902
34	16	981	994	970
35		1034	1042	1011
35	17	1101	1124	1098
36		1164	1182	1138
36	18	1192	1208	1175
37	19	1264	1287	1248
37		1291	1318	1278
37	20	1322	1367	1311
<b>38</b>	<b>21</b>	<b>1392</b>	<b>1435</b>	<b>1358</b>
38		1402	1455	1368
38	22	1412	1475	1378
38	23	1422	1495	1388
38	24	1432	1515	1398
38		1442	1535	1408
38	25	1452	1555	1418
38		1462	1575	1428
38	26	1472	1595	1438
38	27	1482	1615	1448

Ket :

RCB-E1 = "Reinforced Concrete Beam" dgn 10 % tepung kaca (sampel 1)

P = Beban yang bekerja (kN)

Cr = Letak retak yang terjadi

d1 = Lendutan yang terjadi di titik 1 (0,01 mm)

d2 = Lendutan yang terjadi di titik 2 (0,01 mm)

d3 = Lendutan yang terjadi di titik 3 (0,01 mm)

**DATA STICKS**

A2			B1			B2			C1		
d1	d2	d3									
26.5	26.8	26.6	26.4	27.1	26	26.3	27.3	26.1	26.5	27.4	27
26.4	26.6	26.4	26.3	27	25.9	26.2	27.1	26	26.4	27.2	26.9
26.2	26.4	26.3	26.2	26.8	25.8	26.1	26.9	25.9	26.3	27	26.8
26.1	26.2	26.2	26.1	26.6	25.7	26	26.7	25.7	26.2	26.8	26.6
26	25.8	26.1	26	26.4	25.6	25.9	26.5	25.6	26	26.6	26.5
25.8	25.5	26	25.9	26.2	25.5	25.8	26.3	25.5	25.9	26.4	26.4
25.7	25.3	25.8	25.8	26	25.4	25.7	26.2	25.4	25.8	26.2	26.2
25.6	25.1	25.7	25.7	25.8	25.3	25.6	26	25.3	25.7	26	26.1
25.5	24.9	25.5	25.6	25.6	25.2	25.5	25.8	25.2	25.6	25.8	25.9
25.4	24.7	25.4	25.5	25.4	25.1	25.4	25.6	25.1	25.5	25.6	25.8
						25.3	25.4	25			
						25.2	25.2	24.9			

A2			B1			B2			C1		
d1	d2	d3									
0.1	0.2	0.2	0.1	0.1	0.1	0.1	0.2	0.1	0.1	0.2	0.1
0.2	0.2	0.1	0.1	0.2	0.1	0.1	0.2	0.1	0.1	0.2	0.1
0.1	0.2	0.1	0.1	0.2	0.1	0.1	0.2	0.2	0.1	0.2	0.2
0.1	0.4	0.1	0.1	0.2	0.1	0.1	0.2	0.1	0.2	0.2	0.1
0.2	0.3	0.1	0.1	0.2	0.1	0.1	0.2	0.1	0.1	0.2	0.1
0.1	0.2	0.2	0.1	0.2	0.1	0.1	0.1	0.1	0.1	0.2	0.2
0.1	0.2	0.1	0.1	0.2	0.1	0.1	0.2	0.1	0.1	0.2	0.1
0.1	0.2	0.2	0.1	0.2	0.1	0.1	0.2	0.1	0.1	0.2	0.2
0.1	0.2	0.1	0.1	0.2	0.1	0.1	0.2	0.1	0.1	0.2	0.1
						0.1	0.2	0.1			
						0.1	0.2	0.1			

**DATA STICKS**

D1			D2			E1		
d1	d2	d3	d1	d2	d3	d1	d2	d3
26.8	27.1	26.3	26.2	27.1	26.3	26.4	27.5	26.2
26.7	26.9	26.2	26.1	26.9	26.2	26.3	27.3	26.1
26.6	26.7	26.1	26	26.7	26.1	26.2	27.1	26
26.5	26.5	26	25.9	26.5	26	26.1	26.9	25.9
26.4	26.3	25.9	25.8	26.3	25.9	26	26.7	25.8
26.2	26.1	25.8	25.7	26.1	25.8	25.9	26.5	25.7
26.1	25.9	25.7	25.6	25.9	25.7	25.8	26.3	25.6
26	25.7	25.6	25.5	25.7	25.6	25.7	26.1	25.5
25.9	25.5	25.5	25.4	25.5	25.5	25.6	25.9	25.4
25.8	25.4	25.4	25.3	25.3	25.4	25.5	25.7	25.3

D1			D2			E1		
d1	d2	d3	d1	d2	d3	d1	d2	d3
0.1	0.2	0.1	0.1	0.2	0.1	0.1	0.2	0.1
0.1	0.2	0.1	0.1	0.2	0.1	0.1	0.2	0.1
0.1	0.2	0.1	0.1	0.2	0.1	0.1	0.2	0.1
0.1	0.2	0.1	0.1	0.2	0.1	0.1	0.2	0.1
0.2	0.2	0.1	0.1	0.2	0.1	0.1	0.2	0.1
0.1	0.2	0.1	0.1	0.2	0.1	0.1	0.2	0.1
0.1	0.2	0.1	0.1	0.2	0.1	0.1	0.2	0.1
0.1	0.2	0.1	0.1	0.2	0.1	0.1	0.2	0.1
0.1	0.1	0.1	0.1	0.2	0.1	0.1	0.2	0.1

Balok RCB - A2						
P (kN)	Defleksi (mm)			Momen kN-mm	Lengkung 1/mm	
	d1	d2	d3			
26	6.3	6.57	6.09	6933.33	1.0547E-05	
27	6.5	6.81	6.3	7200.00	1.15314E-05	
27	6.75	7.12	6.6	7200.00	1.25158E-05	
27	7.05	7.57	7.24	7200.00	1.19533E-05	
27	7.22	7.82	7.5	7200.00	1.29377E-05	
28	7.49	8.25	8.07	7466.67	1.32189E-05	
29	7.93	8.84	8.8	7733.33	1.33595E-05	
29	8.16	9.17	9.14	7733.33	1.46252E-05	
29	8.32	9.4	9.35	7733.33	1.58908E-05	
30	8.56	9.72	9.64	8000.00	1.74377E-05	
30	8.76	10.04	9.91	8000.00	1.98284E-05	
30.5	9.02	10.5	10.14	8133.33	2.58753E-05	
30.5	9.44	11.14	10.86	8133.33	2.78441E-05	
30.5	9.81	11.68	11.42	8133.33	2.99535E-05	
30.5	10.07	12.05	11.95	8133.33	2.92504E-05	
30.5	10.6	12.4	12.11	8133.33	2.9391E-05	
30.5	10.81	12.73	12.53	8133.33	2.98129E-05	
31.5	11.12	13.08	12.81	8400.00	3.13598E-05	
<b>32.5</b>	<b>12.45</b>	<b>13.82</b>	<b>12.91</b>	<b>8666.67</b>	<b>3.20629E-05</b>	
32.5	12.6	14.39	13.86	8666.67	3.26254E-05	
32.5	12.7	14.59	14.06	8666.67	3.40317E-05	
32.5	12.9	14.79	14.16	8666.67	3.54379E-05	
32.5	13	14.99	14.26	8666.67	3.82505E-05	
32.5	13.1	15.39	14.36	8666.67	4.66881E-05	
32.5	13.3	15.69	14.46	8666.67	5.09069E-05	
32.5	13.4	15.89	14.66	8666.67	5.23132E-05	
32.5	13.5	16.09	14.76	8666.67	5.51257E-05	
32.5	13.6	16.29	14.96	8666.67	5.6532E-05	
<b>32.5</b>	<b>13.7</b>	<b>16.49</b>	<b>15.06</b>	<b>8666.67</b>	<b>5.93445E-05</b>	

Balok RCB - A2						
P (kN)	Defleksi (mm)			Momen kN-mm	Lengkung 1/mm	
	d1	d2	d3			
0	0	0	0	0.00	0	
1	0.22	0.24	0.21	266.67	7.03134E-07	
2	0.43	0.45	0.42	533.33	7.03134E-07	
3	0.65	0.67	0.64	800.00	7.03134E-07	
4	0.93	0.99	0.9	1066.67	2.1094E-06	
5	1.2	1.25	1.18	1333.33	1.68752E-06	
6	1.34	1.38	1.33	1600.00	1.26564E-06	
7	1.51	1.56	1.48	1866.67	1.82815E-06	
8	1.69	1.75	1.67	2133.33	1.96877E-06	
9	2.01	2.07	1.99	2400.00	1.96877E-06	
10	2.18	2.23	2.14	2666.67	1.96877E-06	
11	2.5	2.58	2.49	2933.33	2.39065E-06	
<b>12</b>	<b>2.72</b>	<b>2.8</b>	<b>2.73</b>	<b>3200.00</b>	<b>2.1094E-06</b>	
13	3.12	3.2	3.12	3466.67	2.25003E-06	
14	3.42	3.5	3.4	3733.33	2.53128E-06	
15	3.67	3.75	3.64	4000.00	2.67191E-06	
16	3.91	4.02	3.88	4266.67	3.51567E-06	
17	4.12	4.28	4.02	4533.33	5.90632E-06	
18	4.53	4.65	4.48	4800.00	4.07818E-06	
19	4.83	4.9	4.79	5066.67	2.53128E-06	
20	5.12	5.15	4.81	5333.33	5.20319E-06	
21	5.35	5.4	5.05	5600.00	5.62507E-06	
22	5.59	5.72	5.33	5866.67	7.31259E-06	
23	5.74	5.95	5.54	6133.33	8.71886E-06	
24	5.92	6.15	5.72	6400.00	9.28137E-06	
25	6.1	6.34	5.9	6666.67	9.56262E-06	

P (kN)	Balok RCB - BI					Balok RCB - B2					Nilai Rata - Rata		
	Defleksi (mm)			Momen kN-mm	Lengkung 1/mm	P (kN)	Defleksi (mm)			Momen kN-mm	Lengkung 1/mm	Momen kN-mm	Lengkung 1/mm
	d1	d2	d3				d1	d2	d3				
0	0	0	0	0	0	0	0	0	0	0	0.00	0	
1	0.28	0.29	0.26	266.666667	5.62507E-07	1	0.31	0.32	0.3	266.67	266.67	4.2188E-07	
2	0.49	0.51	0.48	533.333333	7.03134E-07	2	0.52	0.55	0.51	533.33	533.33	9.84387E-07	
3	0.85	0.87	0.84	800	7.03134E-07	3	0.84	0.86	0.83	800.00	800.00	7.03134E-07	
4	1.19	1.21	1.18	1066.66667	7.03134E-07	4	1.16	1.19	1.1	1066.67	1066.67	1.68752E-06	
5	1.46	1.48	1.39	1333.33333	1.54689E-06	5	1.35	1.41	1.28	1333.33	1333.33	2.67191E-06	
6	1.68	1.71	1.61	1600	1.82815E-06	6	1.6	1.64	1.52	1600.00	1600.00	2.25003E-06	
7	1.81	1.85	1.77	1866.66667	1.68752E-06	7	1.89	1.94	1.83	1866.67	1866.67	2.25003E-06	
8	1.94	1.98	1.89	2133.33333	1.82815E-06	8	2.07	2.11	2	2133.33	2133.33	2.1094E-06	
9	2.08	2.11	2.07	2400	9.84387E-07	9	2.29	2.33	2.25	2400.00	2400.00	1.68752E-06	
10	2.21	2.24	2.11	2666.66667	2.25003E-06	10	2.53	2.58	2.45	2666.67	2666.67	2.53128E-06	
11	2.53	2.56	2.51	2933.33333	1.12501E-06	11	2.67	2.71	2.61	2933.33	2933.33	1.96877E-06	
12	2.71	2.75	2.61	3200	2.53128E-06	12	2.84	2.89	2.76	3200.00	3200.00	2.53128E-06	
13	2.89	2.94	2.83	3466.66667	2.25003E-06	13	2.97	3.01	2.9	3466.67	3466.67	2.1094E-06	
14	3.15	3.21	3.11	3733.33333	2.25003E-06	14	3.24	3.3	3.18	3733.33	3733.33	2.53128E-06	
15	3.38	3.42	3.3	4000	2.25003E-06	15	3.58	3.64	3.41	4000.00	4000.00	4.07818E-06	
16	3.52	3.68	3.48	4266.66667	5.06256E-06	16	3.74	3.85	3.68	4266.67	4266.67	3.93755E-06	
17	3.78	3.95	3.74	4533.33333	5.34382E-06	17	3.91	4.09	3.88	4533.33	4533.33	5.48444E-06	
18	4	4.18	3.98	4800	5.34382E-06	18	4.21	4.32	4.2	4800.00	4800.00	3.23442E-06	
19	4.28	4.4	4.11	5066.66667	5.7657E-06	19	4.43	4.55	4.31	5066.67	5066.67	5.06256E-06	
20	4.68	4.72	4.49	5333.33333	3.79692E-06	20	4.67	4.74	4.52	5333.33	5333.33	4.07818E-06	
21	4.89	4.95	4.7	5600	4.35943E-06	21	4.96	5.02	4.73	5600.00	5600.00	4.92194E-06	
22	5.05	5.14	4.96	5866.66667	3.79692E-06	22	5.14	5.24	4.98	5866.67	5866.67	5.06256E-06	
23	5.25	5.36	5.11	6133.33333	5.06256E-06	23	5.34	5.48	5.13	6133.33	6133.33	6.89071E-06	
24	5.57	5.72	5.27	6400	8.43761E-06	24	5.54	5.7	5.23	6400.00	6400.00	8.85949E-06	
25	5.69	5.88	5.38	6666.66667	9.70325E-06	25	5.72	5.92	5.34	6666.67	6666.67	1.09689E-05	

Balok RCB - B1				Balok RCB - B2				Nilai Rata - Rata					
P (kN)	Defleksi (mm)			Momen kN-mm	Lengkung 1/mm	P (kN)	Defleksi (mm)			Momen kN-mm	Lengkung 1/mm	Momen kN-mm	Lengkung 1/mm
	d1	d2	d3				d1	d2	d3				
26	5.74	6.04	5.41	6933.33333	1.30783E-05	26	5.93	6.09	5.49	6933.33	1.06876E-05	6933.33	1.1883E-05
27	5.81	6.2	5.48	7200	1.56096E-05	27	6.13	6.31	6.02	7200.00	6.60946E-06	7200.00	1.11095E-05
28	6.13	6.42	5.75	7466.66667	1.35002E-05	28	6.44	6.54	5.88	7466.67	1.06876E-05	7466.67	1.20939E-05
29	6.31	6.67	5.81	7733.33333	1.71565E-05	29	6.68	6.79	6.11	7733.33	1.11095E-05	7733.33	1.4133E-05
30	6.41	6.9	5.98	8000	1.98284E-05	30	6.71	6.97	6.17	8000.00	1.49064E-05	8000.00	1.73674E-05
31	6.68	7.06	6.15	8266.66667	1.81409E-05	31	6.91	7.17	6.35	8266.67	1.51877E-05	8266.67	1.66643E-05
31	6.86	7.28	6.3	8266.66667	1.96877E-05	32	7.08	7.36	6.56	8533.33	1.51877E-05	8400.00	1.74377E-05
31	7.06	7.49	6.5	8266.66667	1.9969E-05	33	7.27	7.59	6.75	8800.00	1.63127E-05	8533.33	1.81409E-05
31	7.3	7.75	6.75	8266.66667	2.03909E-05	33.5	7.5	7.84	6.96	8933.33	1.71565E-05	8600.00	1.87737E-05
32	7.56	8.2	7.45	8533.33333	1.95471E-05	33.5	7.68	8.03	7.14	8933.33	1.74377E-05	8733.33	1.84924E-05
32	7.81	8.6	7.92	8533.33333	2.06721E-05	33.5	7.96	8.45	7.48	8933.33	2.05315E-05	8733.33	2.06018E-05
32	8.01	8.95	8.32	8533.33333	2.20784E-05	33.5	8.19	8.82	7.75	8933.33	2.39065E-05	8733.33	2.29925E-05
32	8.25	9.29	8.75	8533.33333	2.2219E-05	33.5	8.49	9.26	8.05	8933.33	2.78441E-05	8733.33	2.50316E-05
32	8.6	9.65	9.25	8533.33333	2.03909E-05	33.5	9.09	10.1	8.64	8933.33	3.36098E-05	8733.33	2.70003E-05
32	9.24	10	10	8533.33333	1.09689E-05	33.5	9.84	10.7	9.55	8933.33	2.79847E-05	8733.33	1.94768E-05
32	9.61	10.4	10.5	8533.33333	1.04064E-05	33.5	10.1	11.1	9.91	8933.33	3.0516E-05	8733.33	2.04612E-05
33	9.87	10.7	10.9	8800	1.01251E-05	33.5	10.4	11.6	10.2	8933.33	3.68442E-05	8866.67	2.34847E-05
33	10.2	11	11.1	8800	1.04064E-05	33.5	10.8	12	10.4	8933.33	3.96567E-05	8866.67	2.50316E-05
33	10.4	11.3	11.3	8800	1.44846E-05	33.5	11.2	12.4	10.9	8933.33	3.69848E-05	8866.67	2.57347E-05
33	11.2	11.9	11.4	8800	1.74377E-05	33.5	11.3	12.6	11.3	8933.33	3.54379E-05	8866.67	2.64378E-05
33	11.3	12.5	12.4	8800	1.70158E-05	33.5	11.5	12.9	11.5	8933.33	3.79692E-05	8866.67	2.74925E-05
33	11.3	13.1	12.9	8800	2.68597E-05	33.5	12	13.1	12.1	8933.33	2.92504E-05	8866.67	2.8055E-05
34	11.9	13.5	13	9066.66667	2.91097E-05	34	12.4	13.5	12.5	9066.67	2.9391E-05	9066.67	2.92504E-05
34	11.6	14.3	13	9066.66667	5.47038E-05	34	12.5	14.1	12.9	9066.67	3.89536E-05	9066.67	4.68287E-05
34	12	14.8	13.5	9066.66667	5.75163E-05	34	12.6	14.3	13	9066.67	4.17661E-05	9066.67	4.96412E-05
34	12.2	14.1	13.9	9066.66667	2.88285E-05	34	12.7	14.5	13.1	9066.67	4.45787E-05	9066.67	3.67036E-05
34	12.3	14.2	14	9066.66667	2.88285E-05	34	12.8	14.7	13.3	9066.67	4.59849E-05	9066.67	3.74067E-05
34	12.4	14.4	14.1	9066.66667	3.1641E-05	34	12.9	14.9	13.4	9066.67	4.87975E-05	9066.67	4.02193E-05
34	12.5	14.6	14.2	9066.66667	3.44536E-05	34	13	15.1	13.5	9066.67	5.161E-05	9066.67	4.30318E-05
34	12.6	14.8	14.3	9066.66667	3.72661E-05	34	13.1	15.2	13.6	9066.67	5.161E-05	9066.67	4.44381E-05
34	12.7	15	14.4	9066.66667	4.00786E-05	34	13.2	15.4	13.7	9066.67	5.44226E-05	9066.67	4.72506E-05
34	12.8	15.2	14.5	9066.66667	4.28912E-05	34	13.3	15.6	13.8	9066.67	5.72351E-05	9066.67	5.00631E-05
34	12.9	15.4	14.6	9066.66667	4.57037E-05	34	13.4	15.8	13.9	9066.67	6.00476E-05	9066.67	5.28757E-05
34	13	15.6	14.7	9066.66667	4.85162E-05	34	13.5	16	14	9066.67	6.28602E-05	9066.67	5.56882E-05
34	13.1	15.8	14.8	9066.66667	5.13288E-05	34	13.6	16.2	14.1	9066.67	6.56727E-05	9066.67	5.85007E-05

P (kN)	Balok RCB - C1					Lengkung 1/mm
	Defleksi (mm)			Momen kN-mm	Lengkung 1/mm	
	d1	d2	d3			
0	0	0	0	0	0	0
1	0.2	0.21	0.19	266.6666667	4.2188E-07	
2	0.5	0.52	0.49	533.3333333	7.03134E-07	
3	0.78	0.8	0.77	800	7.03134E-07	
4	1.2	1.22	1.19	1066.666667	7.03134E-07	
5	1.45	1.49	1.43	1333.333333	1.40627E-06	
6	1.59	1.63	1.57	1600	1.40627E-06	
7	1.93	1.95	1.9	1866.666667	9.84387E-07	
8	2.12	2.17	2.1	2133.333333	1.68752E-06	
9	2.44	2.48	2.41	2400	1.54689E-06	
10	2.65	2.68	2.63	2666.666667	1.12501E-06	
11	2.87	2.9	2.86	2933.333333	9.84387E-07	
12	3.09	3.11	3.04	3200	1.26564E-06	
<b>13</b>	<b>3.3</b>	<b>3.35</b>	<b>3.25</b>	<b>3466.666667</b>	<b>2.1094E-06</b>	
14	3.36	3.41	3.31	3733.333333	2.1094E-06	
15	3.51	3.58	3.49	4000	2.25003E-06	
16	3.62	3.7	3.6	4266.666667	2.53128E-06	
17	3.76	3.88	3.74	4533.333333	3.6563E-06	
18	3.86	3.91	3.83	4800	1.82815E-06	
19	3.97	4.05	3.94	5066.666667	2.67191E-06	
20	4.05	4.15	4	5333.333333	3.51567E-06	
21	4.26	4.4	4.22	5600	4.50006E-06	
22	4.6	4.68	4.57	5866.666667	2.67191E-06	
23	4.73	4.86	4.66	6133.333333	4.64068E-06	
24	4.82	5.05	4.79	6400	6.89071E-06	
25	5.05	5.3	4.94	6666.666667	8.57823E-06	

P (kN)	Balok RCB - C1					Lengkung 1/mm
	Defleksi (mm)			Momen kN-mm	Lengkung 1/mm	
	d1	d2	d3			
26	5.36	5.54	5.1	6933.333333	8.71886E-06	
27	5.54	5.75	5.31	7200	9.14074E-06	
28	5.69	5.96	5.5	7466.666667	1.02658E-05	
29	5.74	6.19	5.79	7733.333333	1.19533E-05	
30	5.85	6.4	5.81	8000	1.60315E-05	
31	6.19	6.66	5.89	8266.666667	1.74377E-05	
32	6.28	6.88	6.18	8533.333333	1.82815E-05	
33	6.83	7.51	6.77	8800	1.9969E-05	
33	7.36	8.09	7.35	8800	2.06721E-05	
34	8.83	9.66	8.84	9066.666667	2.32034E-05	
34	9.65	10.6	9.87	9066.666667	2.3344E-05	
34	10.6	12	11.3	9066.666667	2.79847E-05	
34	11.3	12.5	11.7	9066.666667	2.8266E-05	
<b>35</b>	<b>12.7</b>	<b>13.6</b>	<b>12.9</b>	<b>9333.333333</b>	<b>2.32034E-05</b>	
35	12.8	13.8	13	9333.333333	2.6016E-05	
35	12.9	14	13.1	9333.333333	2.88285E-05	
35	13	14.2	13.3	9333.333333	3.02348E-05	
35	13.2	14.4	13.4	9333.333333	3.1641E-05	
35	13.3	14.6	13.5	9333.333333	3.44536E-05	
35	13.4	14.8	13.7	9333.333333	3.58598E-05	
35	13.5	15	13.8	9333.333333	3.86724E-05	
35	13.6	15.2	14	9333.333333	4.00786E-05	
<b>35</b>	<b>13.7</b>	<b>15.4</b>	<b>14.1</b>	<b>9333.333333</b>	<b>4.28912E-05</b>	



P (kN)	Balok RCB - D1						Balok RCB - D2						Nilai Rata - Rata		
	Defleksi (mm)			Momen kN-mm	Lengkung 1/mm	P (kN)	Defleksi (mm)			Momen kN-mm	Lengkung 1/mm	Momen kN-mm	Lengkung 1/mm	Momen kN-mm	Lengkung 1/mm
	d1	d2	d3				d1	d2	d3						
26	6.3	6.35	5.82	6933.33333	8.1564E-06	26	6.28	6.36	5.81	6933.33	8.85949E-06	6933.33	8.50792E-06		
27	6.49	6.51	5.9	7200	8.8595E-06	27	6.39	6.5	5.97	7200.00	9.00011E-06	7200.00	8.9298E-06		
28	6.52	6.61	6.03	7466.66667	9.422E-06	28	6.51	6.69	6.14	7466.67	1.02658E-05	7466.67	9.84387E-06		
29	6.93	6.99	6.26	7733.33333	1.111E-05	29	6.83	6.91	6.36	7733.33	8.85949E-06	7733.33	9.9845E-06		
30	7.15	7.24	6.84	8000	6.8907E-06	30	7.15	7.25	6.62	8000.00	1.02658E-05	8000.00	8.57823E-06		
31	7.5	7.72	7.12	8266.66667	1.1531E-05	31	7.41	7.53	6.9	8266.67	1.0547E-05	8266.67	1.10392E-05		
32	8.18	8.45	7.9	8533.33333	1.1531E-05	32	7.72	7.88	7.12	8533.33	1.29377E-05	8533.33	1.22345E-05		
33	8.85	9.36	8.8	8800	1.5047E-05	33	8.72	9.05	8.62	8800.00	1.06876E-05	8800.00	1.28673E-05		
34	10.11	10.59	10.24	9066.66667	1.1672E-05	34	10.4	10.9	10.35	9066.67	1.3922E-05	9066.67	1.2797E-05		
35	10.9	11.47	11.15	9333.33333	1.2516E-05	35	11.9	12.1	11.15	9333.33	1.68752E-05	9333.33	1.46955E-05		
36	11.8	12.71	12.46	9600	1.6313E-05	36	12.9	13.4	12.77	9600.00	1.47658E-05	9600.00	1.55393E-05		
37	12.9	14.05	13.9	9866.66667	1.8281E-05	37	13.9	14.3	13.3	9866.67	1.98284E-05	9866.67	1.90549E-05		
37	13	14.25	14	9866.66667	2.1094E-05	37	14	14.5	13.4	9866.67	2.26409E-05	9866.67	2.18675E-05		
37	13.1	14.45	14.1	9866.66667	2.3907E-05	37	14.1	14.7	13.5	9866.67	2.54534E-05	9866.67	2.468E-05		
37	13.2	14.65	14.2	9866.66667	2.6719E-05	37	14.2	14.9	13.6	9866.67	2.8266E-05	9866.67	2.74925E-05		
37	13.3	14.85	14.3	9866.66667	2.9532E-05	37	14.3	15.1	13.7	9866.67	3.10785E-05	9866.67	3.03051E-05		
37	13.5	15.05	14.4	9866.66667	3.0938E-05	37	14.4	15.3	13.8	9866.67	3.3891E-05	9866.67	3.24145E-05		
37	13.6	15.25	14.5	9866.66667	3.375E-05	37	14.5	15.5	13.9	9866.67	3.67036E-05	9866.67	3.5227E-05		
37	13.7	15.45	14.6	9866.66667	3.6563E-05	37	14.6	15.7	14	9866.67	3.95161E-05	9866.67	3.80395E-05		
37	13.8	15.65	14.7	9866.66667	3.9375E-05	37	14.7	15.9	14.1	9866.67	4.23287E-05	9866.67	4.08521E-05		
37	13.9	15.75	14.8	9866.66667	3.9375E-05	37	14.8	16.1	14.2	9866.67	4.51412E-05	9866.67	4.22583E-05		

P (kN)	Balok RCB - EI					Lengkung 1/mm
	Defleksi (mm)			Momen kN-mm	Lengkung 1/mm	
	d1	d2	d3			
26	6.64	6.69	6.5	6933.33333	3.37504E-06	
27	6.75	6.89	6.69	7200	4.78131E-06	
28	7.04	7.11	7	7466.66667	2.53128E-06	
29	7.2	7.3	7.19	7733.33333	2.95316E-06	
30	7.36	7.52	7.3	8000	5.34382E-06	
31	7.69	7.82	7.6	8266.66667	4.92194E-06	
32	7.8	7.99	7.74	8533.33333	6.18758E-06	
33	8.09	8.21	7.92	8800	5.7657E-06	
34	8.54	8.59	8.24	9066.66667	5.62507E-06	
34	9.22	9.35	9.02	9066.66667	6.46883E-06	
34	9.81	9.94	9.7	9066.66667	5.20319E-06	
35	10.3	10.4	10.1	9333.33333	5.48444E-06	
35	11	11.2	11	9333.33333	6.89071E-06	
36	11.6	11.8	11.4	9600	8.71886E-06	
36	11.9	12.1	11.8	9600	6.89071E-06	
37	12.6	12.9	12.5	9866.66667	8.71886E-06	
37	12.9	13.2	12.8	9866.66667	9.42199E-06	
37	13.2	13.7	13.1	9866.66667	1.42033E-05	
<b>38</b>	<b>13.9</b>	<b>14.4</b>	<b>13.6</b>	<b>10133.33333</b>	<b>1.68752E-05</b>	
38	14	14.6	13.7	10133.33333	1.96877E-05	
38	14.1	14.8	13.8	10133.33333	2.25003E-05	
38	14.2	15	13.9	10133.33333	2.53128E-05	
38	14.3	15.2	14	10133.33333	2.81254E-05	
38	14.4	15.4	14.1	10133.33333	3.09379E-05	
38	14.5	15.6	14.2	10133.33333	3.37504E-05	
38	14.6	15.8	14.3	10133.33333	3.6563E-05	
38	14.7	16	14.4	10133.33333	3.93755E-05	
<b>38</b>	<b>14.8</b>	<b>16.2</b>	<b>14.5</b>	<b>10133.33333</b>	<b>4.2188E-05</b>	

P (kN)	Balok RCB - EI					Lengkung 1/mm
	Defleksi (mm)			Momen kN-mm	Lengkung 1/mm	
	d1	d2	d3			
0	0	0	0	0	0	
1	0.33	0.36	0.32	266.666667	9.84387E-07	
2	0.62	0.64	0.61	533.333333	7.03134E-07	
3	0.92	0.93	0.87	800	9.84387E-07	
4	1.27	1.3	1.25	1066.66667	1.12501E-06	
5	1.58	1.62	1.55	1333.33333	1.54689E-06	
6	1.82	1.84	1.8	1600	8.43761E-07	
7	2.1	2.12	2.09	1866.66667	7.03134E-07	
8	2.42	2.44	2.4	2133.33333	8.43761E-07	
9	2.68	2.71	2.62	2400	1.68752E-06	
10	2.92	2.95	2.9	2666.66667	1.12501E-06	
11	3.09	3.11	3	2933.33333	1.82815E-06	
12	3.36	3.4	3.31	3200	1.82815E-06	
<b>13</b>	<b>3.52</b>	<b>3.55</b>	<b>3.43</b>	<b>3466.66667</b>	<b>2.1094E-06</b>	
14	3.68	3.7	3.56	3733.33333	2.25003E-06	
15	3.7	3.74	3.66	4000	1.68752E-06	
16	3.93	3.98	3.9	4266.66667	1.82815E-06	
17	4.34	4.39	4.31	4533.33333	1.82815E-06	
18	4.63	4.66	4.61	4800	1.12501E-06	
19	4.87	4.9	4.84	5066.66667	1.26564E-06	
20	5.16	5.2	5.1	5333.33333	1.96877E-06	
21	5.34	5.37	5.3	5600	1.40627E-06	
22	5.61	5.66	5.48	5866.66667	3.23442E-06	
23	6	6.08	5.91	6133.33333	3.51567E-06	
24	6.19	6.23	6.01	6400	3.6563E-06	
25	6.43	6.49	6.39	6666.66667	2.25003E-06	

## ANALISA KANDUNGAN SILIKA TEPUNG KACA TERHADAP PERUBAHAN MUTU SEMEN PORTLAND

Pada penelitian ini dipakai tepung kaca dengan data:

Tabel Komposisi Kimia Tepung Kaca

Unsur Kimia	Prosentase (%)
Kapur, CaO	10,63
Silika, SiO <sub>2</sub>	71,9
Alumina, Al <sub>2</sub> O <sub>3</sub>	1,86
Besi, FeO <sub>3</sub>	0,6
Sulfur, SO <sub>3</sub>	0,31

Semen portland yang digunakan adalah jenis I dengan data:

Tabel Komposisi Kimia Semen Jenis I

Unsur Kimia	Prosentase (%)
Kapur, CaO	63
Silika, SiO <sub>2</sub>	20
Alumina, Al <sub>2</sub> O <sub>3</sub>	6
Besi, FeO <sub>3</sub>	2,5
Sulfur, SO <sub>3</sub>	2

## Lampiran 9

Asumsi: tepung kaca dianggap mampu mereduksi 10% dari berat semen sehingga besarnya "silica ratio" adalah:

$$SR = \frac{SiO_2}{Al_2O_3 + Fe_2O_3}$$

$$SR = \frac{(20 \times 90\%) + (20 \times 10\% \times 71,9\%)}{(6 \times 90\% + 6 \times 10\% \times 1,86\%) + (2,5 \times 90\% + 2,5 \times 10\% \times 0,6\%)}$$
$$= 2,53$$

check:  $1,6 < SR < 3,5$  O.K.

Besar "silica ratio" untuk semen portland jenis I adalah:

$$SR = \frac{SiO_2}{Al_2O_3 + Fe_2O_3} = \frac{20}{6 + 2,5} = \frac{20}{8,5} = 2,35$$

check:  $1,6 < SR < 3,5$  O.K.

Hitungan prosentase senyawa kimia untuk semen portland jenis I:

$$C_3S = 4,07 CaO - 7,60 SiO_2 - 6,72 Al_2O_3 - 1,43 FeO_3 - 2,85 SO_3$$
$$= 4,07 (63\%) - 7,60 (20\%) - 6,72 (6\%) - 1,43 (2,5\%) - 2,85 (2\%)$$
$$= 54,815\%$$

$$C_2S = 2,87 SiO_2 - 0,754 C_3S$$
$$= 2,87 (20\%) - 0,754 (54,815\%) = 16,1\%$$

$$C_3A = 2,65 Al_2O_3 - 1,69 Fe_2O_3$$
$$= 2,65 (6\%) - 1,69 (2,5\%) = 11,671\%$$

$$C_4AF = 3,04 Fe_2O_3$$
$$= 3,04 (2,5\%) = 7,6\%$$

Hitungan senyawa kimia untuk semen modifikasi (jenis I + silika tepung kaca):

$$C_3S = 4,07 CaO - 7,60 SiO_2 - 6,72 Al_2O_3 - 1,43 FeO_3 - 2,85 SO_3$$

Lampiran 9

$$= 4,07 (63 \times 90\% + 63 \times 10\% \times 10,63\%) - 7,60 (20 \times 90\% + 20 \times 10\% \times 71,9\%) - 6,72 (6 \times 90\% + 6 \times 10\% \times 1,86\%) - 1,43 (2,5 \times 90\% + 2,5 \times 10\% \times 0,6\%) - 2,85 (2 \times 90\% + 2 \times 10\% \times 0,31\%) = 41,12\%$$

$$C_2S = 2,87 SiO_2 - 0,754 C_3S$$

$$= 2,87 (20 \times 90\% + 20 \times 10\% \times 71,9\%) - 0,754 (41,12\%) = 24,75\%$$

$$C_3A = 2,65 Al_2O_3 - 1,69 Fe_2O_3$$

$$= 2,65 (6 \times 90\% + 6 \times 10\% \times 1,86\%) - 1,69 (2,5 \times 90\% + 2,5 \times 10\% \times 0,6\%) = 10,53\%$$

$$C_4AF = 3,04 Fe_2O_3$$

$$= 3,04 (2,5 \times 90\% + 2,5 \times 10\% \times 0,31\%) = 6,845\%$$

Dan hasil perhitungan di atas dapat ditabelkan sebagai berikut:

Tabel Analisa Silika Tepung Kaca

Jenis Semen	Prosentase (%)				Silika Ratio (SR)
	C <sub>3</sub> S	C <sub>2</sub> S	C <sub>3</sub> A	C <sub>4</sub> AF	
Jenis I	54,82	16,1	11,68	7,6	2,35
Modifikasi	41,12	24,75	10,54	6,85	2,53

Dari tabel tersebut tampak bahwa prosentase C<sub>3</sub>S mengalami penurunan sedangkan prosentase C<sub>2</sub>S mengalami kenaikan. Dengan kondisi yang demikian dan berdasarkan Tabel 2.2 dapat diambil kesimpulan bahwa terjadi perubahan sifat-sifat semen dari semen portland jenis I menjadi semen portland jenis II.

### Mix Design with ACI Methode

#### Kuat Lentur Balok Beton Bertulang dengan Variasi Campuran Tepung Kaca

Cetakan silinder : - Tinggi = 30 cm  
 - Diameter = 15 cm

$$\text{Volume} = 0,25 \times \pi \times 0,15^2 \times 0,3 \times 50 = 0,27 \text{ m}^3$$

Balok : - Tinggi = 20cm  
 - Lebar = 10 cm  
 - Panjang = 200 cm

$$\text{Volume} = 0,2 \times 0,1 \times 1,8 \times 10 = 0,36 \text{ m}^3$$

**Hasil Penelitian Bahan Penyusun Beton:**

Pasir :  $B_j = 2,7$

MHB = 2,8

Kerikil :  $B_j = 2,62$

Berat satuan ditusuk = 1,368 t/m<sup>3</sup>

Semen :  $B_j = 3,15$

**Jadi volume total = 0,63 m<sup>3</sup>**

Jenis konstruksi (Plat, Balok, Kolom)

Digunakan nilai slump : min = 7,5 cm ; max = 15 cm

- Deviasi Standar

Vol. Tot. = 0,63 m<sup>3</sup> < 1000 m<sup>3</sup>, maka dari tabel 1 didapat :

Mutu pelaksanaan baik, diambil nilai  $d_s = 60 \text{ kg/cm}^2$

Tabel 1. Pelaksanaan diukur dengan deviasi standart.

	Volume Pekerjaan M <sup>3</sup>	Mutu Pelaksanaan		
		Baik Sekali	Baik	Cukup
Kecil	< 1000	45 < s < 55	55 < s < 65	65 < s < 85
Sedang	1000 – 3000	35 < s < 45	45 < s < 55	55 < s < 75
Besar	> 3000	25 < s < 35	35 < s < 45	45 < s < 65

- Kuat Desak Rata-Rata

Kuat Desak Rencana  $f'_c = 250 \text{ kg/cm}^2$

$$f'_{cr} = f'_c + m \quad ; \quad m = 1,64 \cdot d_s$$

$$= 250 + (1,64 \cdot 60)$$

$$= 348 \text{ kg/cm}^2 = 34,8 \text{ Mpa}$$

## Lampiran 10

- Penentuan Faktor Air Semen

Tabel 2 Hubungan faktor air semen dan kuat tekan silinder beton pada umur 28 hari.

Faktor air Semen	Perkiraan Kuat Tekan (Mpa)
0,35	42
<b>0,44</b>	<b>35</b>
<b>0,53</b>	<b>28</b>
0,62	22,4
0,71	17,5
0,80	14

Untuk  $f_{cr} = 34,8 \text{ kg/cm}^3 \rightarrow f.a.s. = 0,045$  (dari tabel 2)

- Penentuan Faktor Air Semen Maksimum

Tabel 3 Faktor air semen maksimum

Beton di dalam ruangan bangunan :	
a. Keadaan keliling <i>non korosif</i>	<b>0,60</b>
b. Keadaan keliling korosif, disebabkan oleh kondensasi atau uap korosif.	0,52
Beton di luar ruangan bangunan :	
a. Tidak terlindung dari hujan dan terik matahari langsung.	0,60
b. Terlindung dari hujan dan terik matahari langsung	0,60
Beton yang masuk ke dalam tanah :	
a. Mengalami keadaan basah dan kering berganti-ganti	0,55
b. Mendapat pengaruh sulfat alkali dari tanah atau air tanah	0,52
Beton yang kontinyu berhubungan dengan air :	
a. Air tawar	0,57
b. Air laut	0,52

∴ Dipakai  $f_{as}$  maksimum 0,6

- Penentuan Nilai Slump dan Ukuran Agregat Maksimum

Tabel 4. Nilai *Slump* (cm)

Pemakaian Beton	Maksimum	Minimum
Dinding, plat fondasi dan fondasi telapak bertulang	12,5	5,0
Pondasi telapak tidak bertulang, kaison, dan struktur dibawah tanah.	9,0	2,5
<b>Pelat, balok, kolom dan dinding</b>	<b>15,0</b>	<b>7,5</b>
Pengerasan jalan	7,5	5,0
Pembetonan massal	7,5	2,5

∴ dipakai slump antara 7,5-15,0 cm

Lampiran 10

Tabel 5. Ukuran Maksimum Agregat (mm)

Dimensi minimum (mm)	Balok/Kolom	Plat
<b>62,5</b>	<b>12,5</b>	<b>20</b>
150	40	40
300	40	80
750	80	80

∴ dipakai ukuran maksimum agregat 20 mm

- Kebutuhan Air

Tabel 6 Perkiraan kebutuhan air berdasarkan nilai *slump* dan ukuran maksimum agregat (liter)

<i>Slump</i> (mm)	Ukuran maksimum agregat (mm)		
	10	20	40
25 – 50	206	182	162
75 – 100	226	<b>203</b>	177
150 – 175	240	212	188
Udara terperangkap (%)	3	2	1

∴ Dipakai perkiraan kebutuhan air 203 liter dengan udara terperangkap 2%

$$\text{f.a.s.} = 0,45 \rightarrow \text{Air / Semen}$$

$$\text{Semen} = \text{Air} / 0,45 \rightarrow 203 / 0,45 = 451 \text{ kg/m}^3$$

- Kebutuhan Volume Agregat Kasar per Satuan Volume

Tabel 7. Perkiraan kebutuhan agregat kasar per meter kubik beton, berdasarkan ukuran maksimum agregat dan modulus halusnya (m<sup>3</sup>)

Ukuran maksimum agregat (mm)	Modulus halus butir pasir			
	2,4	2,6	2,8	3,0
10	0,46	0,44	0,61	0,40
<b>20</b>	0,65	0,63	<b>0,61</b>	0,59
40	0,76	0,74	0,72	0,70
80	0,84	0,82	0,80	0,78
150	0,90	0,88	0,86	0,84

$$\text{Berat agregat kasar} = 0,61 \cdot 1,368 = 0,834 \text{ ton} \times 1000 = 834 \text{ kg}$$

$$\text{Volume kerikil} = 0,834 \times 2,62 = 0,318 \text{ m}^3$$

- Kebutuhan Volume Agregat Halus per Satuan Volume

$$\text{Vol. Semen} = 451 / (3,15 \times 1000) = 0,143 \text{ m}^3$$

$$\text{Vol. Air} = 203 / 1000 = 0,203 \text{ m}^3$$

$$\text{Vol. Ag. Kasar} = 0,834 / 2,62 = 0,318 \text{ m}^3$$

$$\text{Vol. Udara} = 2\% = 0,020 \text{ m}^3 \quad +$$

$$\text{Total} = 0,684 \text{ m}^3$$

## Lampiran 10

$$\text{Volume Agregat halus} = 1 - 0,684 = 0,316 \text{ m}^3$$

$$\text{Berat agregat halus} = 0,316 \times 2,7 \times 1000 = 853$$

- Perbandingan Adukan beton per 1 m<sup>3</sup>

$$\text{SP : Ps : Kr : Air} = 451 : 853 : 834 : 203$$

$$= 1 : 1,89 : 1,85 : 0,45$$

- Kebutuhan material dari total volume pekerjaan (0,63 m<sup>3</sup>)

$$\text{Semen} = 451 \times 0,63 = 284 \text{ kg}$$

$$\text{Pasir} = 853 \times 0,63 = 537 \text{ kg}$$

$$\text{Krikil} = 834 \times 0,63 = 525 \text{ kg}$$

$$\text{Air} = 203 \times 0,63 = 131 \text{ kg}$$

- Kebutuhan Kerikil, dibagi menjadi 3 gradasi, yaitu :

$$\text{- Ukuran besar ( } \varnothing 12,5 \text{ mm s/d } \varnothing 20 \text{ mm) } = 83\% \times 525 = 436$$

$$\text{- Ukuran Sedang ( } \varnothing 9,5 \text{ mm s/d } \varnothing 12,5 \text{ mm) } = 62\% \times 525 = 326$$

$$\text{- Ukuran Kecil ( } \varnothing 4,75 \text{ mm s/d } \varnothing 9,5 \text{ mm) } = 44\% \times 525 = 231$$

$$\text{Perbandingan gradasi kerikil} = 436 : 326 : 231$$

$$= 1,887 : 1,411 : 1$$

- Kebutuhan material per adukan

$$\text{Volume "mixer"} = 0,08 \text{ m}^3$$

$$\text{Volume 1 balok} = 0,036 \text{ m}^3$$

$$\text{5 silinder} = 0,0265 \text{ m}^3$$

$$\text{Total} = 0,0625 \text{ m}^3$$

Untuk cadangan, ditambahkan 20% adukan sehingga volume total adalah

$$0,0625 + 20\% \times 0,0625 = 0,075 \text{ m}^3 < 0,08 \text{ m}^3$$

$$\text{Perbandingan SP : Ps : Kr : A} = 451 : 853 : 834 : 203$$

## Lampiran 10

### ☞ Kebutuhan Semen per Adukan

$$\begin{aligned} 0 \% &\rightarrow 451 \times 0,075 &&= 33,825 \text{ kg} \\ 2,5 \% &\rightarrow 97,5\% \times 451 \times 0,075 &&= 32,980 \text{ kg} \\ 5 \% &\rightarrow 95 \% \times 451 \times 0,075 &&= 32,134 \text{ kg} \\ 7,5 \% &\rightarrow 92,5\% \times 451 \times 0,075 &&= 31,288 \text{ kg} \\ 10 \% &\rightarrow 90 \% \times 451 \times 0,075 &&= 30,443 \text{ kg} \end{aligned}$$

$$\text{Total} = 160,67 \text{ kg}$$

### ☞ Kebutuhan Pasir per Adukan: $853 \times 0,075 = 63,98 \text{ kg}$

### ☞ Kebutuhan Kerikil per Adukan

$$\begin{aligned} \emptyset 4,75 - \emptyset 9,5 &\rightarrow \frac{1,887}{4,298} \times 834 \times 0,075 = 27,46 \text{ kg} \\ \emptyset 9,5 - \emptyset 12,5 &\rightarrow \frac{1,411}{4,298} \times 834 \times 0,075 = 20,53 \text{ kg} \\ \emptyset 12,5 - \emptyset 20 &\rightarrow \frac{1,000}{4,298} \times 834 \times 0,075 = 14,55 \text{ kg} \end{aligned}$$

### ☞ Kebutuhan Air per Adukan: $203 \times 0,075 = 15,225 \text{ kg}$

### ☞ Kebutuhan Tepung Kaca per Adukan

$$\begin{aligned} 2,5 \% &\rightarrow 2,5\% \times 451 \times 0,075 &&= 0,85 \text{ kg} \\ 5 \% &\rightarrow 5 \% \times 451 \times 0,075 &&= 1,69 \text{ kg} \\ 7,5 \% &\rightarrow 7,5\% \times 451 \times 0,075 &&= 2,54 \text{ kg} \\ 10 \% &\rightarrow 10 \% \times 451 \times 0,075 &&= 3,38 \text{ kg} \end{aligned}$$

$$\text{Total} = 8,46 \text{ kg}$$

### • Kebutuhan Total Material :

- ◆ Semen :  $2 \times 160,67 = 322 \text{ kg}$  ( 6 zak + 22 kg )
- ◆ Pasir :  $63,98 \times 10 = 639,8 \text{ kg}$
- ◆ Kerikil : -  $\emptyset 4,75 - \emptyset 9,5 \rightarrow 27,46 \times 10 = 274,6 \text{ kg}$   
-  $\emptyset 9,5 - \emptyset 12,5 \rightarrow 20,53 \times 10 = 205,3 \text{ kg}$   
-  $\emptyset 12,5 - \emptyset 20 \rightarrow 14,55 \times 10 = 145,5 \text{ kg}$
- ◆ Air :  $15,225 \times 10 = 152,25 \text{ kg}$
- ◆ Tepung Kaca:  $8,46 \times 2 = 17 \text{ kg}$

## ANALISA TEORITIS MOMEN DAN KELENGKUNGAN

$$\begin{aligned} \text{Ø}8 &\rightarrow A = 40 \text{ mm}^2 && ; A_s' = 80 \text{ mm}^2 && ; f_y = 385 \text{ Mpa} \\ \text{Ø}12 &\rightarrow A = 97 \text{ mm}^2 && ; A_s = 194 \text{ mm}^2 && ; f_y = 306 \text{ Mpa} \end{aligned}$$

$$f_c' = 30,11051 \text{ Mpa}$$

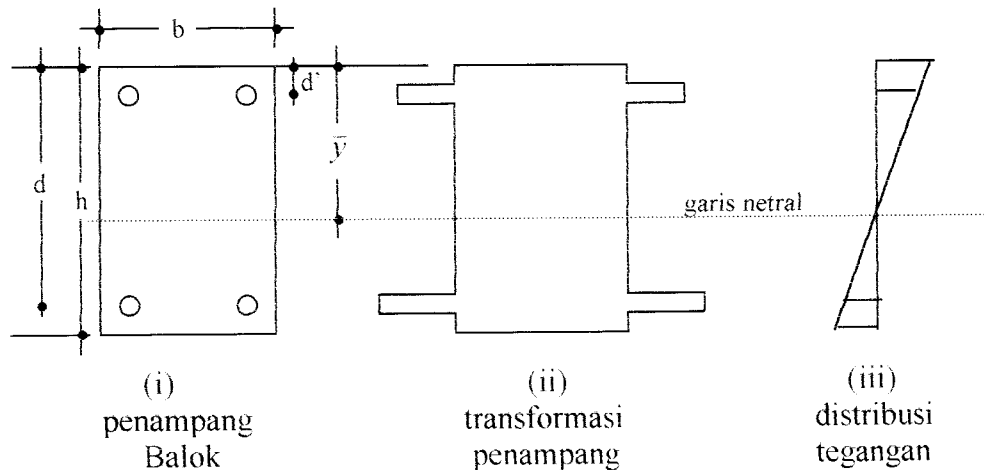
$$\rho = \frac{A_s}{b \cdot d} = \frac{194}{100 \cdot 180} = 0,0107 \quad \rho' = \frac{A_s'}{b \cdot d} = \frac{80}{100 \cdot 180} = 4,444 \cdot 10^{-3}$$

$$E_s = 200000 \text{ Mpa} = 200 \text{ kN/mm}^2$$

$$E_c = 4700 \cdot \sqrt{f_c'} = 4700 \cdot \sqrt{30,11051} = 25,790331 \text{ kN/mm}^2$$

$$\text{Rasio Modular (n)} = \frac{E_s}{E_c} = \frac{200}{25,790331} = 7,755$$

### • KONDISI SEBELUM RETAK



$$\begin{aligned} A &= b \cdot h + [(n-1)(A_s + A_s')] \\ &= 100 \cdot 200 + [(7,755-1) \cdot (194 + 80)] \\ &= 21850,87 \text{ mm}^2 \end{aligned}$$

Garis netral diperoleh dengan mengalikan titik berat dimensi ke suatu sisi, yaitu :

$$\begin{aligned} \bar{y} &= \frac{(100 \cdot 200) \cdot 100 + (7,755 - 1) \cdot 80 \cdot 20 + (7,755 - 1) \cdot 194 \cdot 180}{21850,87} \\ &= \frac{2246692,6}{21850,87} = 103,06 \text{ mm}^2 \end{aligned}$$

Lampiran 11

Momen Inersia (I) :

$$I = \frac{1}{12} \cdot 100 \cdot 200^3 + (100 \cdot 200 \cdot 2,82^2) + [(7,755 - 1) \cdot 194,77,18^2] + [(7,755 - 1) \cdot 80,82,82^2]$$

$$= 78338545,9416 \text{ mm}^4$$

Retak terjadi jika modulus retak ( $f_r$ ) tercapai pada serat paling bawah dari struktur.

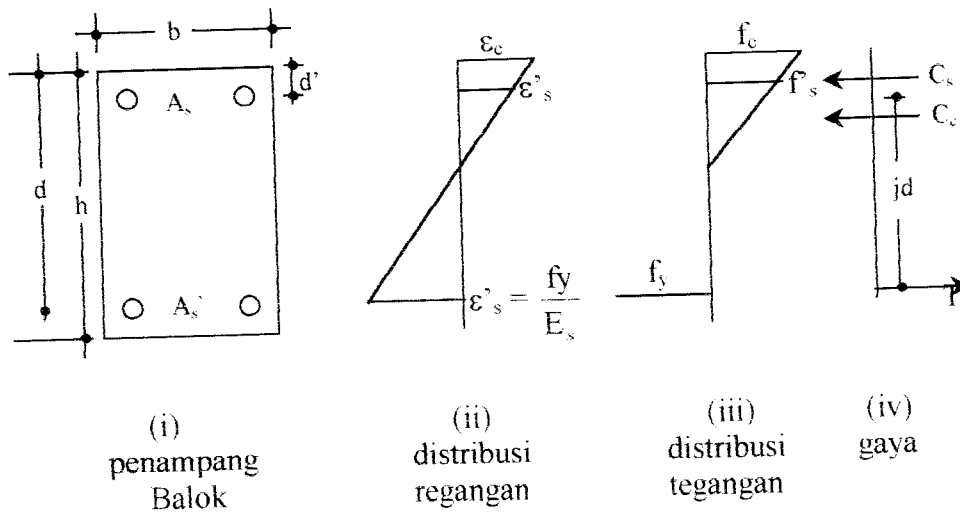
$$f_r = 0,55 \cdot \sqrt{f_c}$$

$$= 0,55 \cdot \sqrt{30,11051} = 3,018 \text{ Mpa}$$

$$M_{cr} = \phi \cdot \frac{f_r \cdot I}{\bar{y}} = 3,018 \cdot \frac{78338545,9416}{102,82} = 2299,414 \text{ N-mm}$$

$$\varphi_{cr} = \frac{f_r}{E_c \cdot \bar{y}} = \frac{3,018}{25,790331 \cdot 1000 \cdot 102,82} = 1,1381 \cdot 10^{-6} \text{ rad/mm}$$

• **SETELAH RETAK SAAT LELEH PERTAMA**



Asumsikan bahwa struktur beton berperilaku elastis.

$$k = \left[ (\rho - \rho')^2 \cdot n^2 + 2 \left( \rho + \frac{\rho' \cdot d'}{d} \right) n \right]^{1/2} - (\rho + \rho') n$$

$$k = \left[ (0,0107 - 4,444 \cdot 10^{-3})^2 \cdot 7,755^2 + 2 \left( 0,0107 + \frac{4,444 \cdot 10^{-3} \cdot 20}{180} \right) 7,755 \right]^{1/2}$$

$$- (0,0107 + 4,444 \cdot 10^{-3}) 7,755$$

$$k = 0,302045$$

## Lampiran 11

maka  $kd = 0,302045 \cdot 180 = 54,3681 \text{ mm}$

$$\varepsilon_s = \frac{f_y}{E_s}$$

$$\varepsilon_s = \frac{306}{200000} = 0,00153$$

Dari diagram diatas didapat :

$$\varepsilon_c = \varepsilon_s \cdot \frac{kd}{d - kd} = 0,00153 \cdot \frac{54,3681}{180 - 54,3681} = 6,6212 \cdot 10^{-4}$$

$$f_c = \varepsilon_c \cdot E_c = 6,6212 \cdot 10^{-4} \cdot 25,790331 \cdot 1000 = 17,07625 \text{ Mpa}$$

$$\varepsilon_s' = \varepsilon_c \cdot \frac{kd - d'}{kd} = 6,6212 \cdot 10^{-4} \cdot \frac{54,3681 - 20}{54,3681} = 4,1855 \cdot 10^{-4}$$

$$f_s' = \varepsilon_s' \cdot E_s = 4,1855 \cdot 10^{-4} \cdot 200 \cdot 1000 = 83,71 \text{ Mpa}$$

$$C_c = \frac{1}{2} \cdot f_c \cdot b \cdot kd = \frac{1}{2} \cdot 17,07625 \cdot 100 \cdot 54,3681 = 46420,1634 \text{ N}$$

$$C_s = A_s' \cdot f_s' = 194,83,71 = 16239,74 \text{ N}$$

Gaya gaya ( $C_c + C_s$ ) bekerja pada  $y_a$ , dimana :

$$y_a = \frac{(d' \cdot C_s) + C_c (kd/3)}{(C_c + C_s)}$$

$$\frac{(20 \cdot 16239,74) + 46420,1634 \left( \frac{54,3681}{3} \right)}{(16239,74 + 46420,1634)} = 18,60924 \text{ mm}$$

$$jd = d - y_a = 180 - 18,60924 = 161,39 \text{ mm}$$

$$M_y = A_s \cdot f_y \cdot jd$$

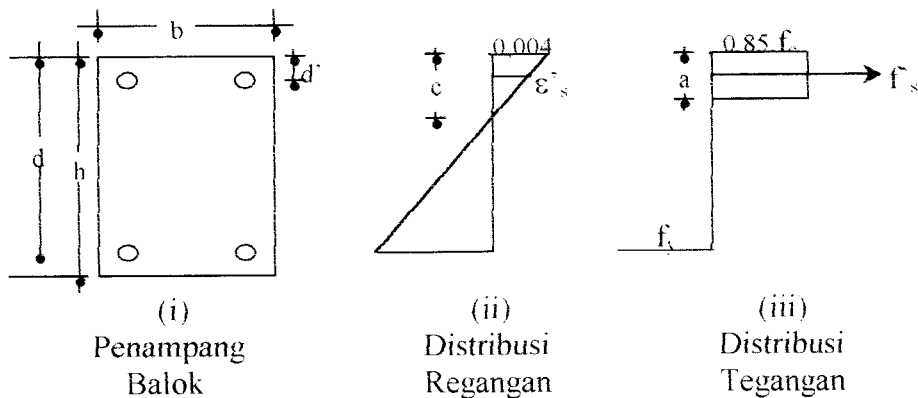
$$M_y = 194,385 \cdot 161,39$$

$$M_y = 12054219 \text{ N-mm} = 12054,219 \text{ kN-mm}$$

$$\varphi_y = \frac{\varepsilon_s}{d(1 - k)}$$

$$\varphi_y = \frac{0,00153}{180 - 54,3681} = 1,2178 \cdot 10^{-5} \text{ rad/mm}$$

• **SETELAH RETAK, BEBAN MAKSIMUM**



Diasumsikan bahwa semua baja, baik tekan maupun tarik mengalami leleh.  
 $\epsilon_s', \epsilon_s \geq \epsilon_y$

$$C_c = 0,85 \cdot f_c' \cdot a \cdot b = 0,85 \cdot 30,11051 \cdot a \cdot 100 = 2559,4 \cdot a \text{ N}$$

$$C_s = A_s' \cdot f_y' = 80,385 = 30800 \text{ N}$$

$$T_s = A_s \cdot f_y = 194,306 = 59364 \text{ N}$$

$$C_c + C_s = T_s$$

$$2559,4 \cdot a + 30800 = 59364$$

$$a = 11,16$$

$$a = \beta_1 \cdot c$$

$$c = 13,13 \text{ mm}$$

Cek regangan baja:

$$\epsilon_y = \frac{f_y}{E_s} = \frac{385}{200000} = 1,925 \cdot 10^{-3}$$

$$\epsilon_s' = 0,003 \cdot \frac{c - d'}{c} = 0,003 \cdot \frac{13,13 - 20}{13,13} = -1,03 \cdot 10^{-5} < \epsilon_y \quad \rightarrow f_s' < f_y$$

$$\epsilon_s = 0,003 \cdot \frac{d - c}{c} = 0,003 \cdot \frac{180 - 13,13}{13,13} = 0,038 > \epsilon_y \quad \rightarrow f_s = f_y$$

Nampak bahwa  $\epsilon_s > \epsilon_y > \epsilon_s'$ . Kondisi ini menunjukkan bahwa tulang baja tarik telah luluh, sedangkan tulangan baja tekan belum leleh. Maka asumsi awal salah.

$$f_s' = \epsilon_s' \cdot E_s = \frac{c - d'}{c} \cdot 0,003 \cdot E_s = \frac{a - \beta_1 \cdot d'}{a} \cdot 0,003 \cdot E_s$$

$$C_s = A_s' \cdot f_s' = 80 \cdot \frac{a - 0,85 \cdot 20}{a} \cdot 0,003 \cdot 200000$$

$$C_s = \frac{48000 \cdot a - 816000}{a}$$

$$C_c + C_s = T_s$$

Lampiran 11

$$C_c + C_s - T_s$$

$$2559,4 \cdot a + \frac{48000 \cdot a - 816000}{a} = 59364$$

dari persamaan diatas diperoleh nilai  $a = 20,2132$  mm

$$C_s = \frac{48000 \cdot a - 816000}{a}$$

$$C_s = 7630,34 \text{ N}$$

$$f_s' = \frac{C_s}{A_s'} = \frac{7630,34}{80} = 95,38 \text{ Mpa}$$

$$C_c = 2559,4 \cdot a = 2559,4 \cdot 20,2132 = 51733,66 \text{ N}$$

Cek :

$$C_c + C_s = T_s$$

$$51733,66 + 7630,34 = 59364 \text{ N} \approx T_s = 59364 \text{ N} \quad \text{Ok!}$$

Maka momen ultimit dapat dihitung dengan rumus:

$$M_n = C_c \cdot \left( d - \frac{a}{2} \right) + C_s \cdot (d - d')$$

$$= 51733,66 \cdot \left( 180 - \frac{20,2132}{2} \right) + 7630,34 \cdot (180 - 20)$$

$$= 12500001,548 \text{ N-mm} \approx 12500 \text{ kN-mm}$$

$$a = \beta_1 \cdot c$$

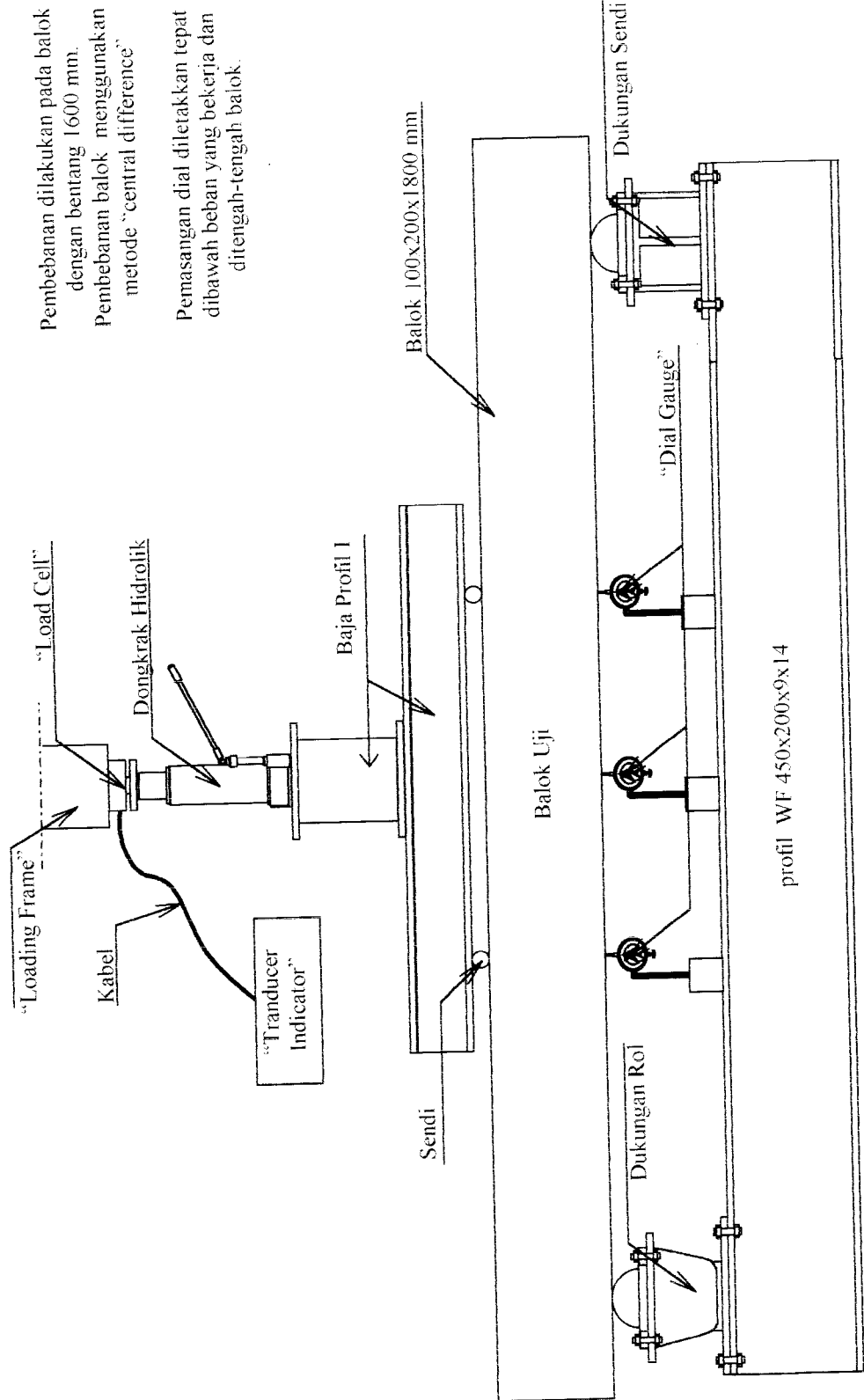
$$c = 23,78 \text{ mm}$$

$$\phi_u = \frac{\epsilon_c}{c} = \frac{0,003}{23,78} = 7,5 \cdot 10^{-5} \text{ rad/mm}$$

Tabel A. Momen dan Kelengkungan

	Sebelum Retak	Leleh Pertama	Ultimit
<b>M (N-mm)</b>	2299414	12054219	12500001,54
<b><math>\phi</math> (rad/mm)</b>	$1,1381 \cdot 10^{-6}$	$1,2178 \cdot 10^{-5}$	$7,5 \cdot 10^{-5}$

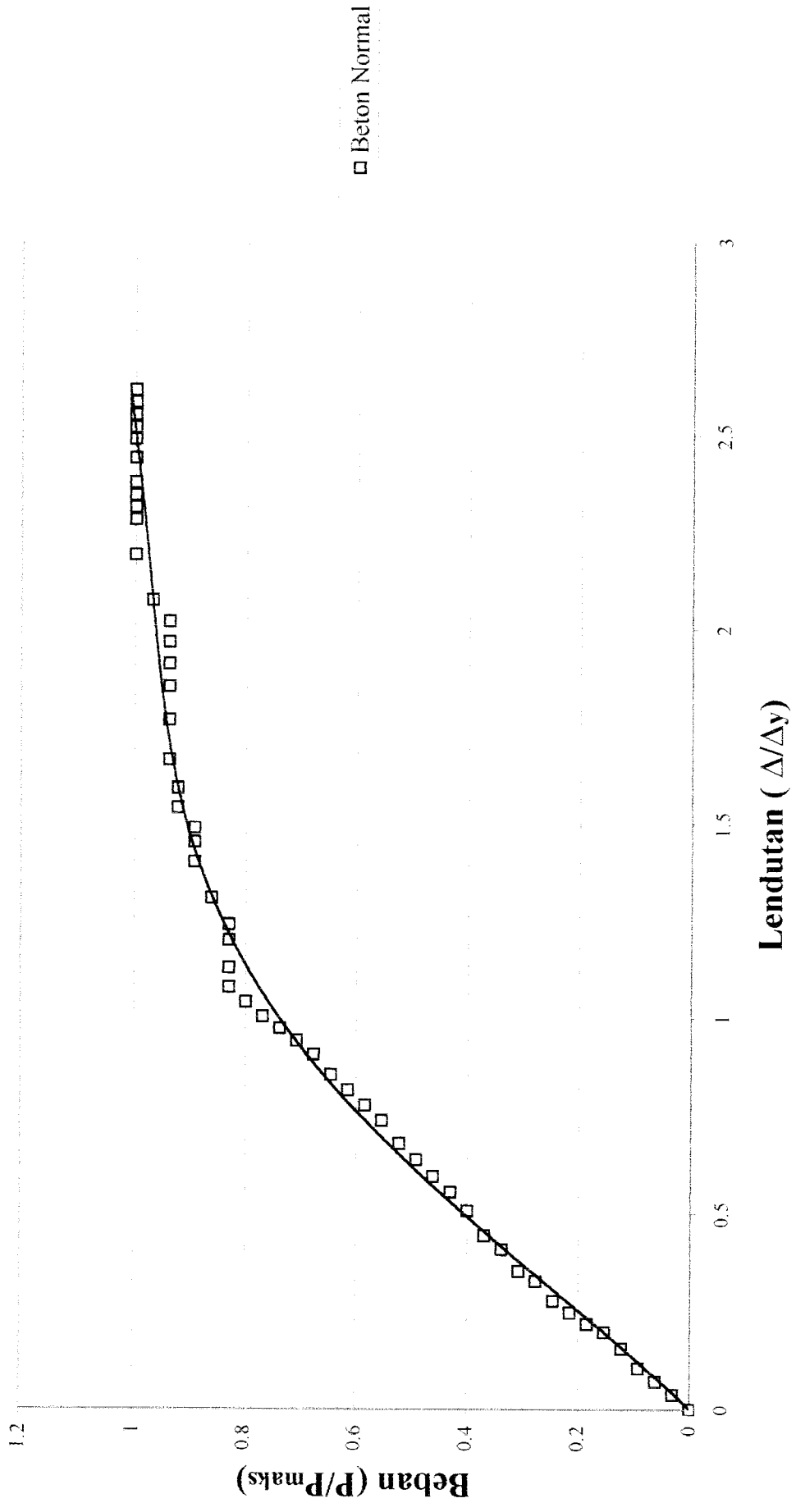
## Rencana Pembebanan Balok Beton Bertulang



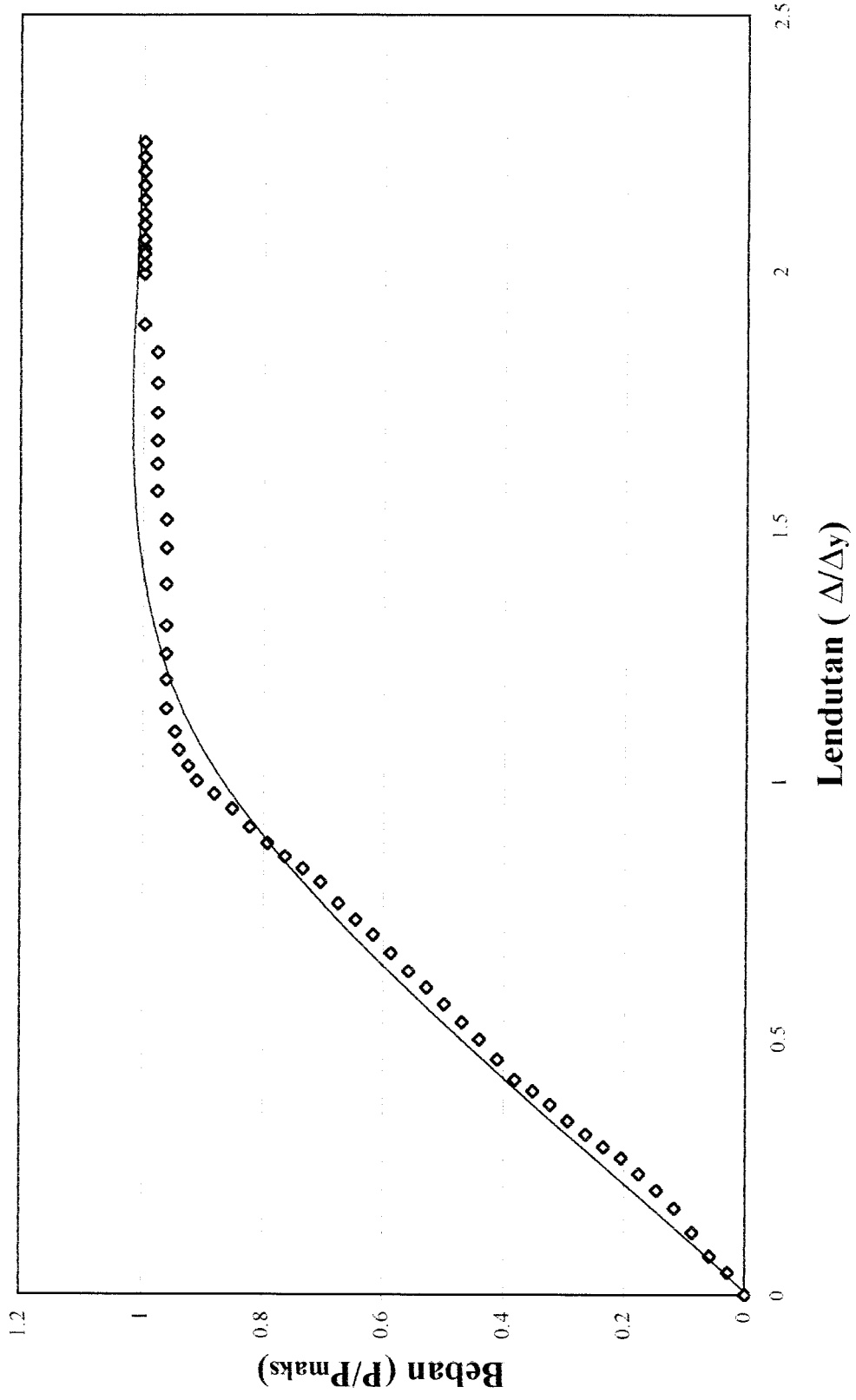




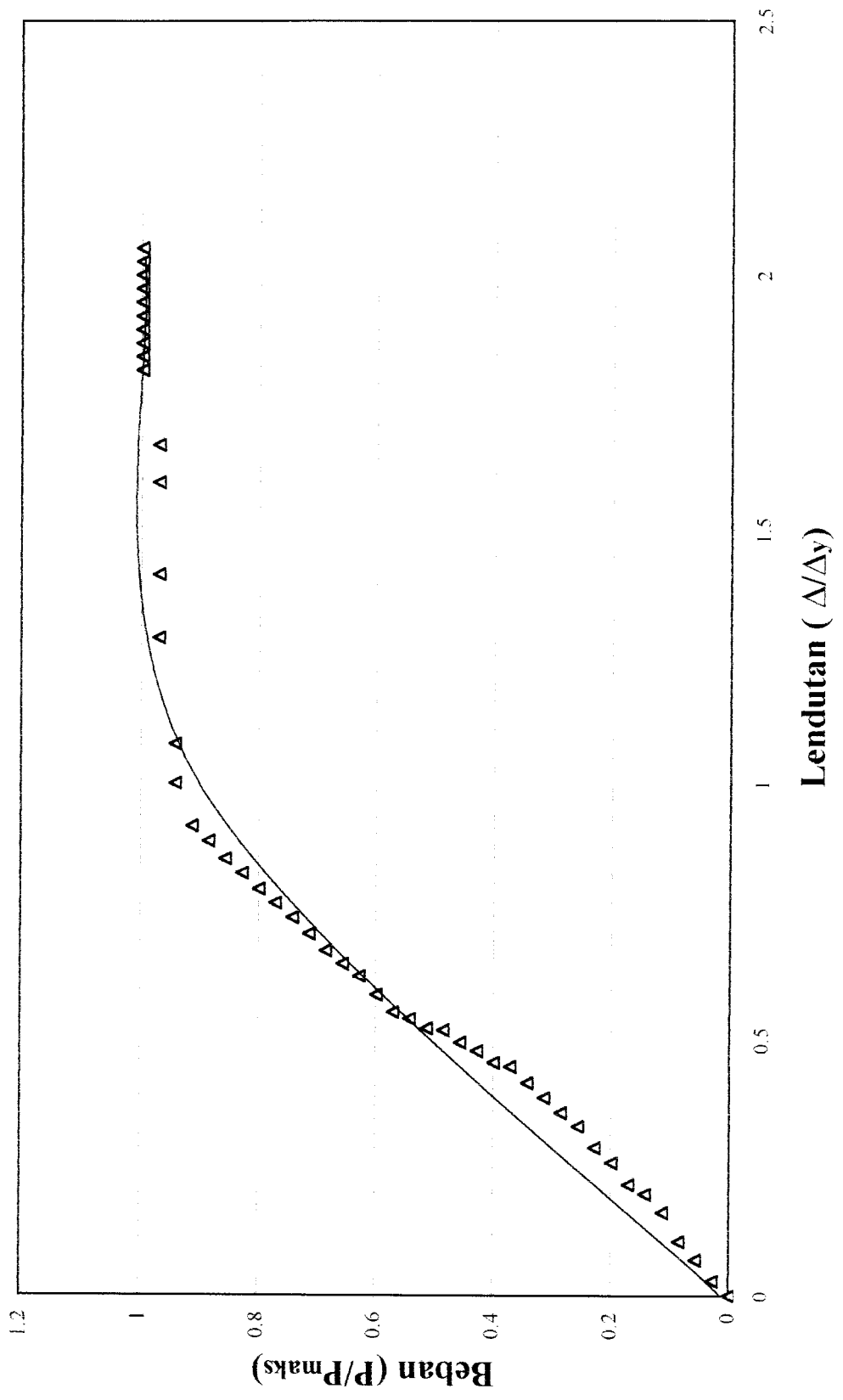
# Grafik Beban - Lendutan Balok Normal



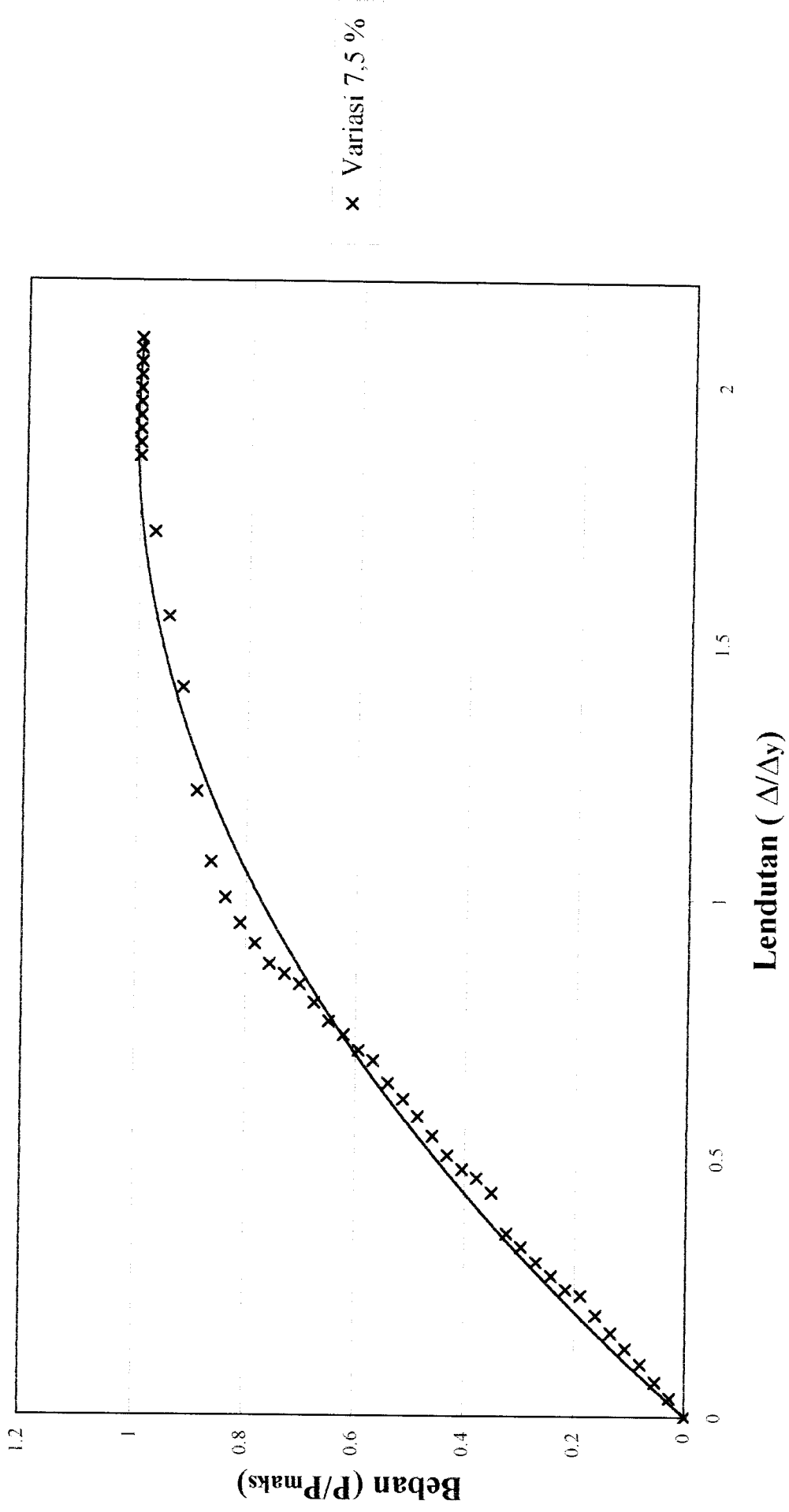
# Grafik Beban - Lendutan Balok Variasi 2,5 %



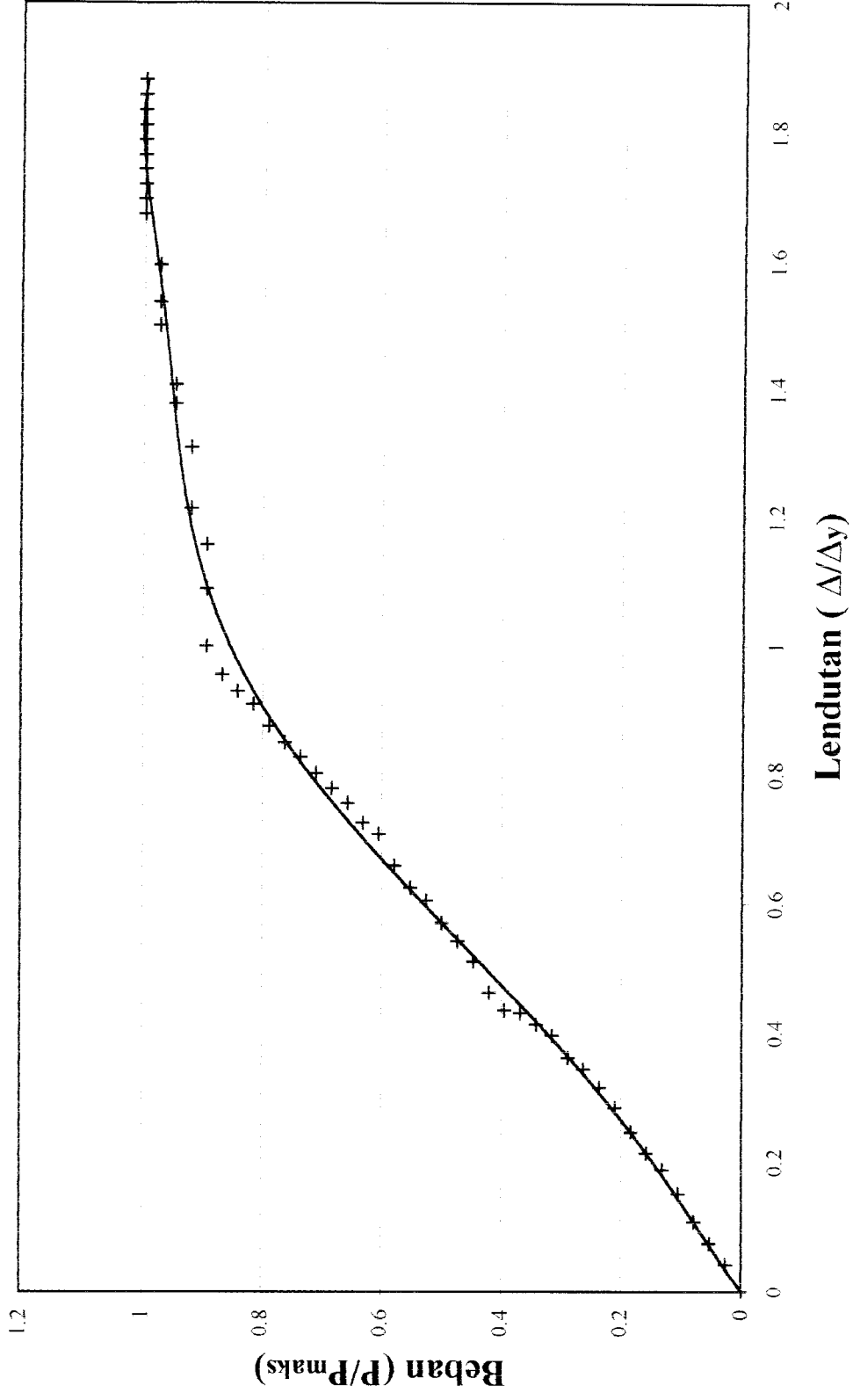
# Grafik Beban - Lendutan Balok Variasi 5 %



# Grafik Beban-Lendutan Balok Variasi 7,5 %

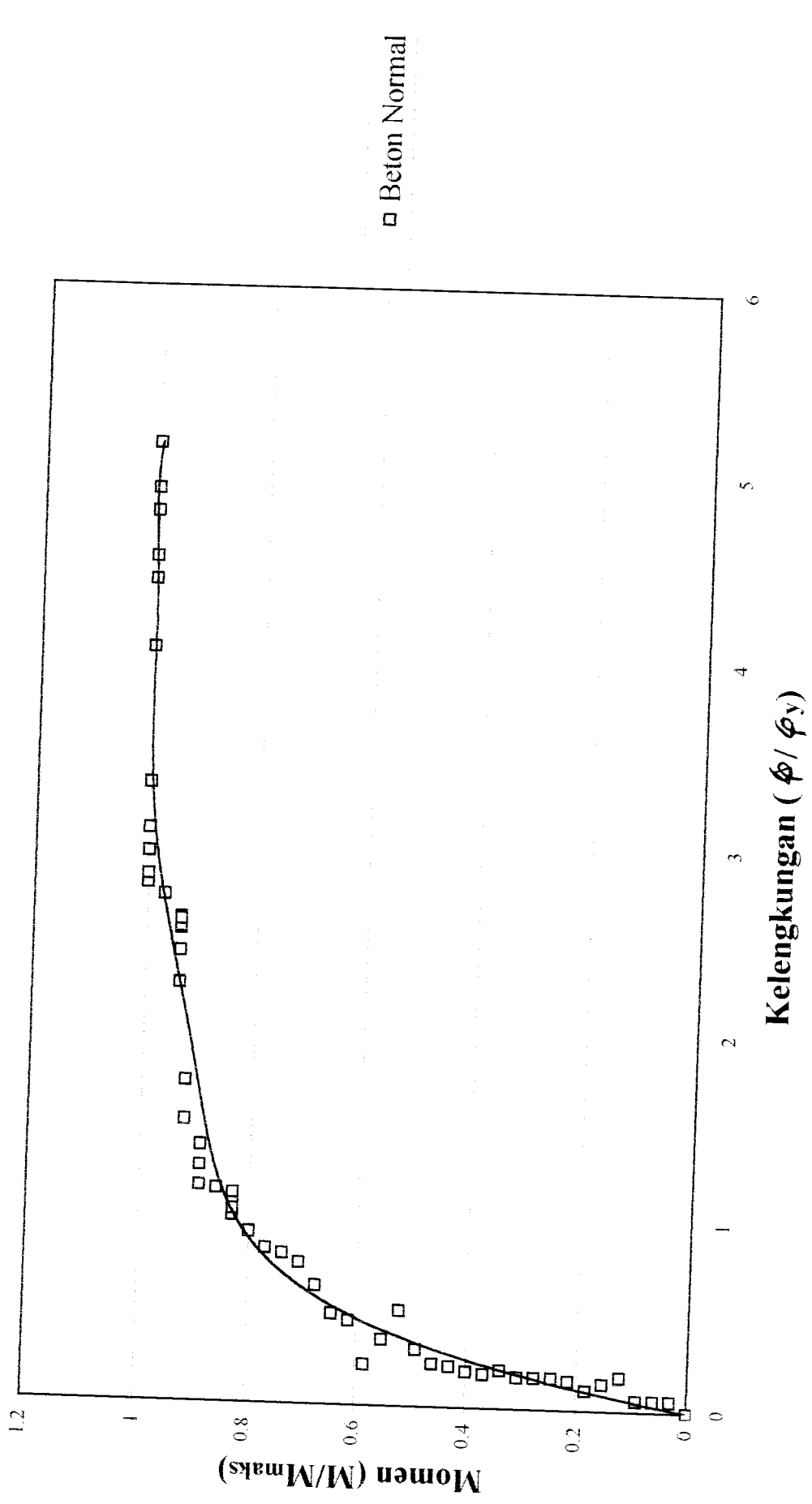


# Grafik Beban - Lendutan Balok Variasi 10 %



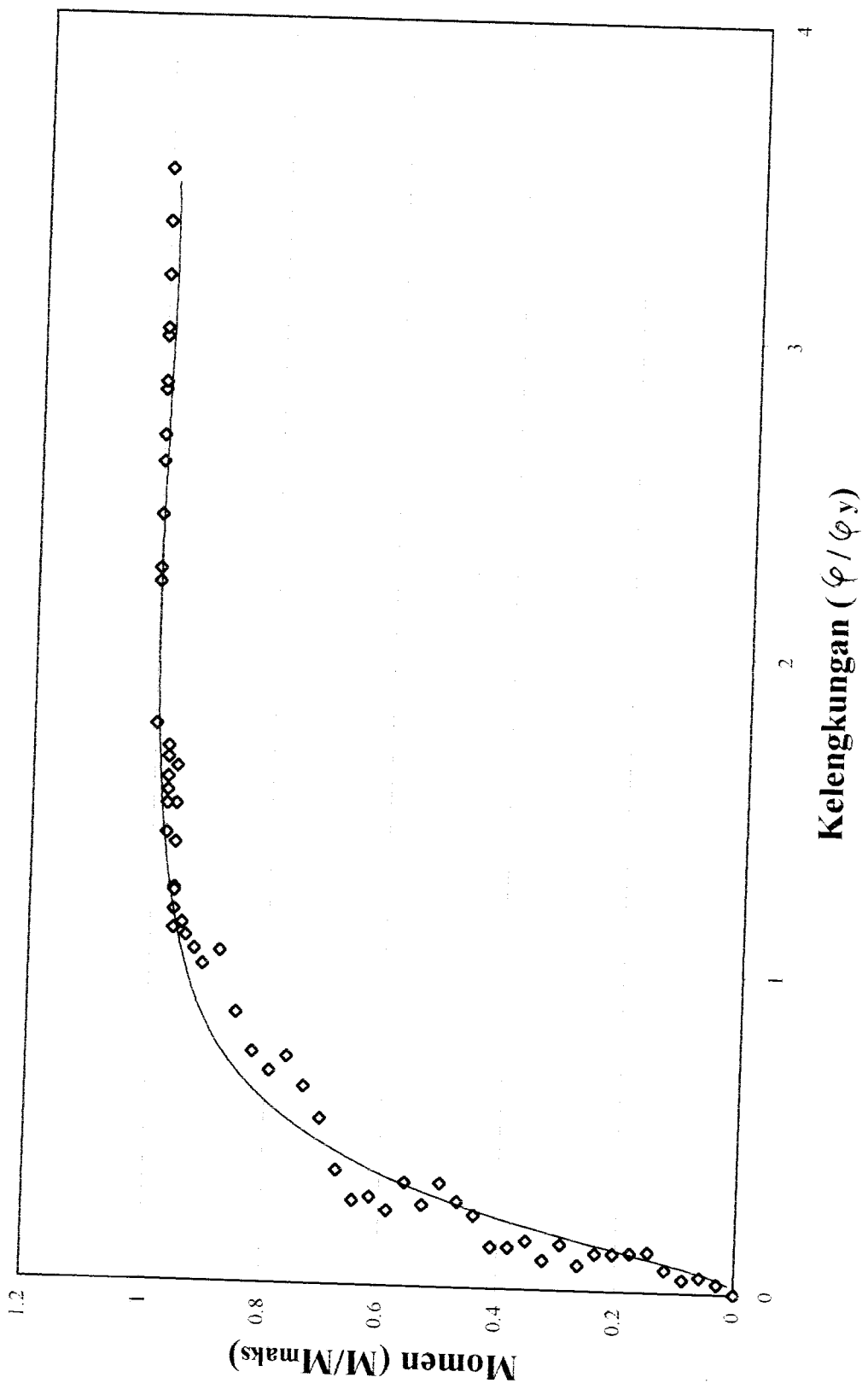
+ Variasi 10 %

# Grafik Momen - Kelengkungan Balok Normal

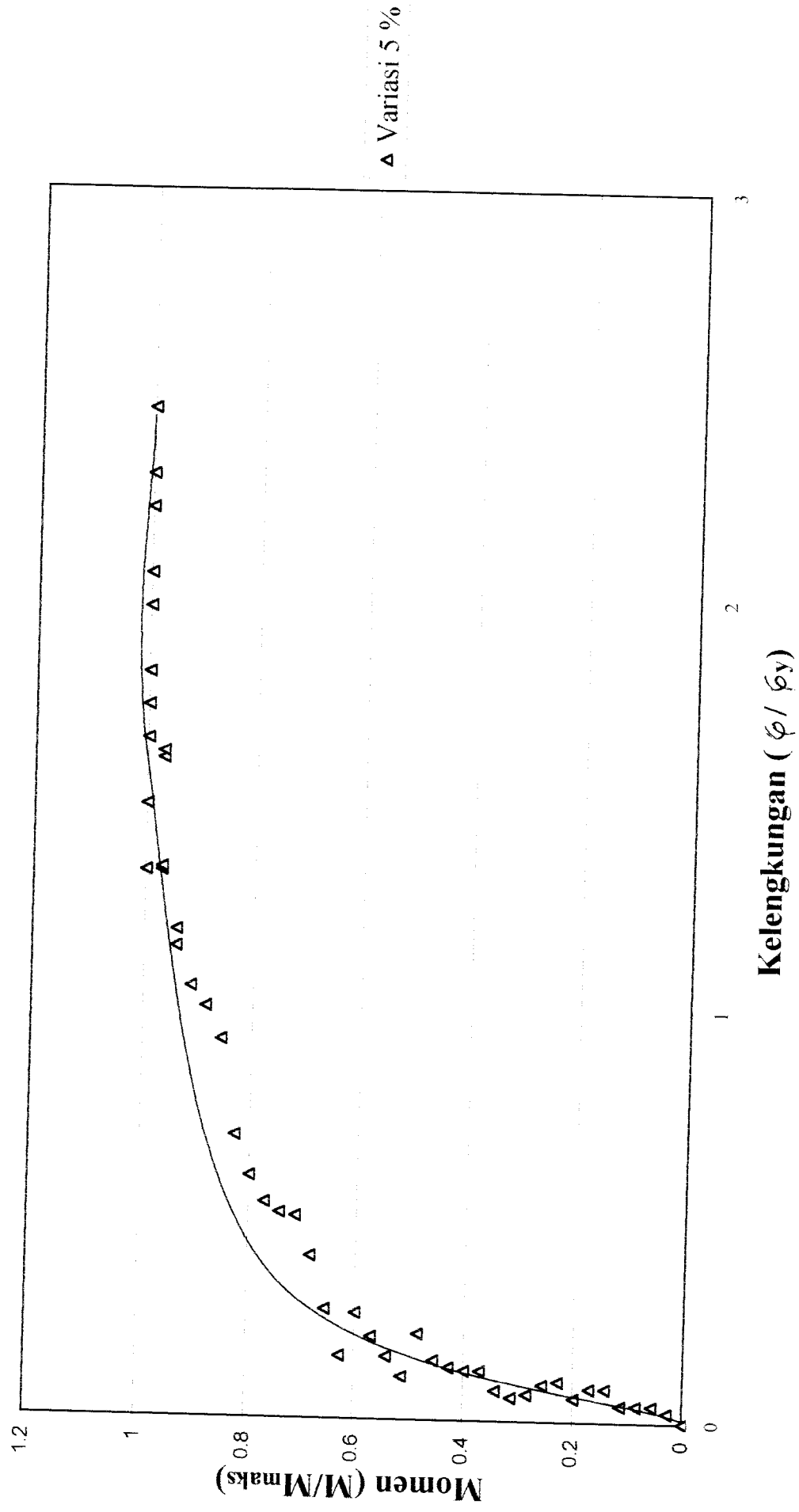


□ Beton Normal

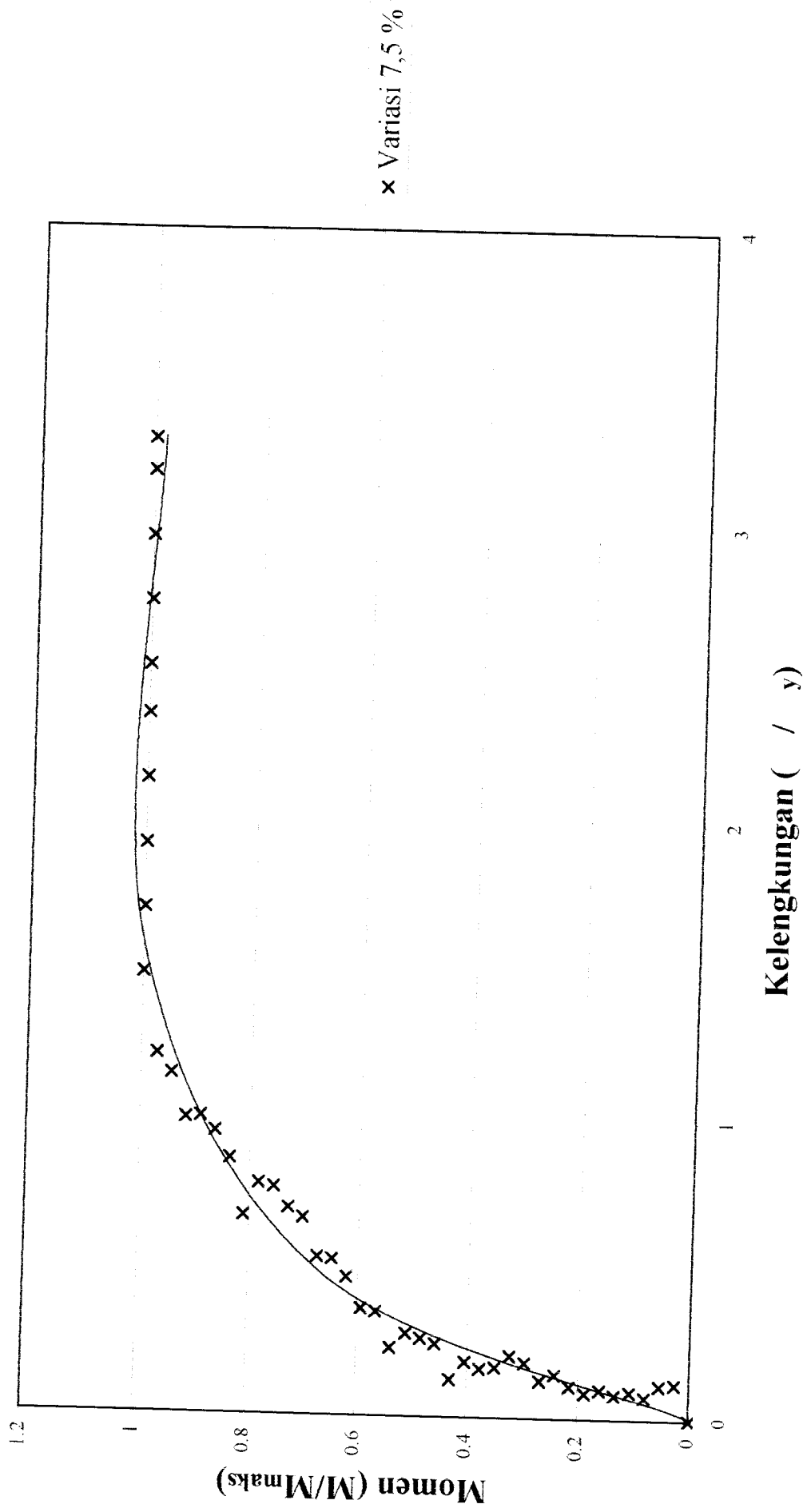
# Grafik Momen - Kelengkungan Balok Variasi 2,5 %



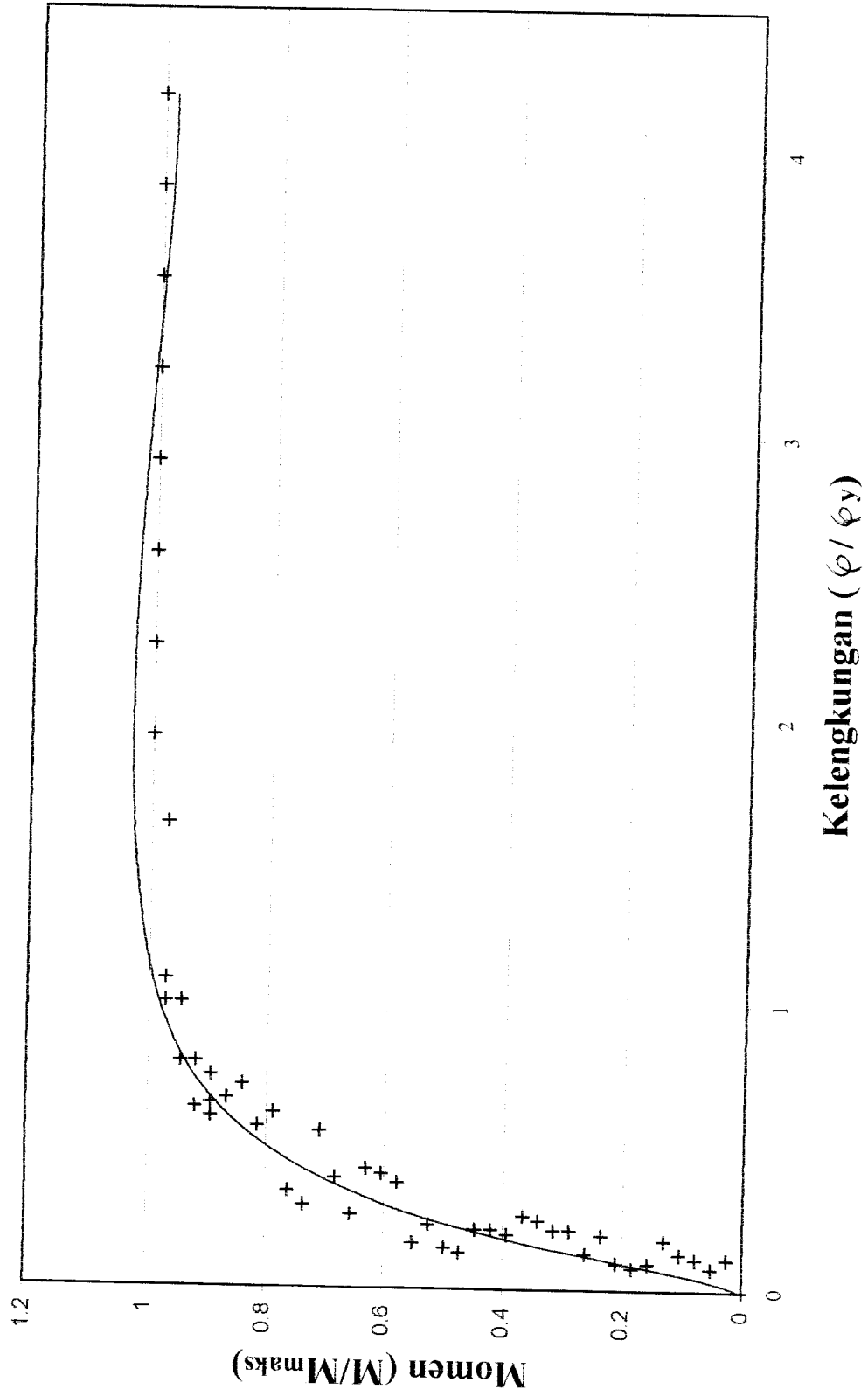
# Grafik Momen - kelengkungan Balok Variasi 5 %



# Grafik Momen - Kelengkungan Balok Variasi 7,5 %



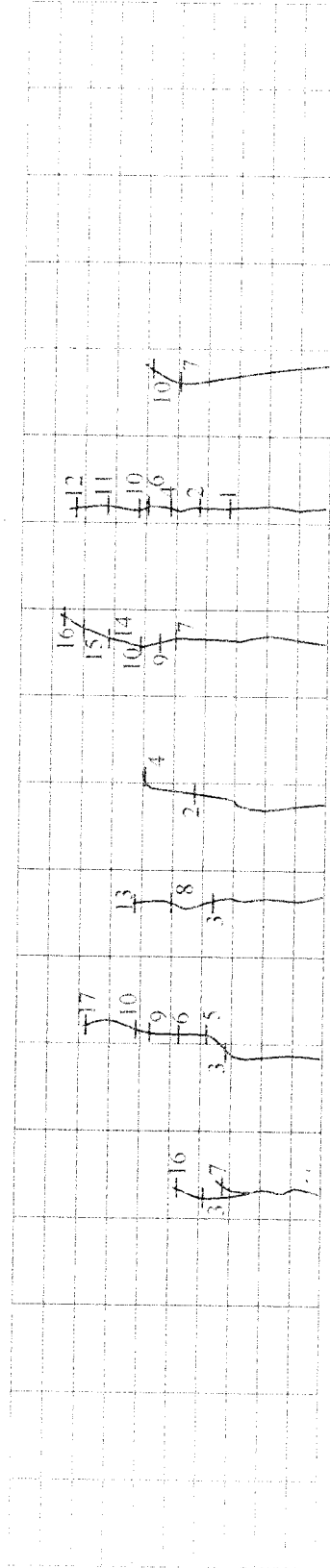
# Grafik Momen - Kelengkungan Balok Variasi 10 %



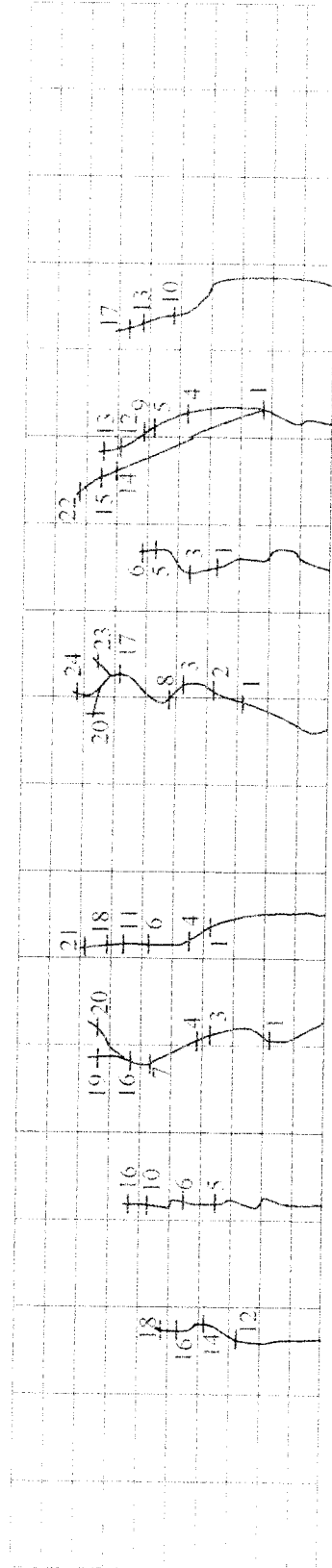
+ Variasi 10 %

# GAMBAR POLA RETAK BALOK BETON BERTULANG

Sampel RCB-A2

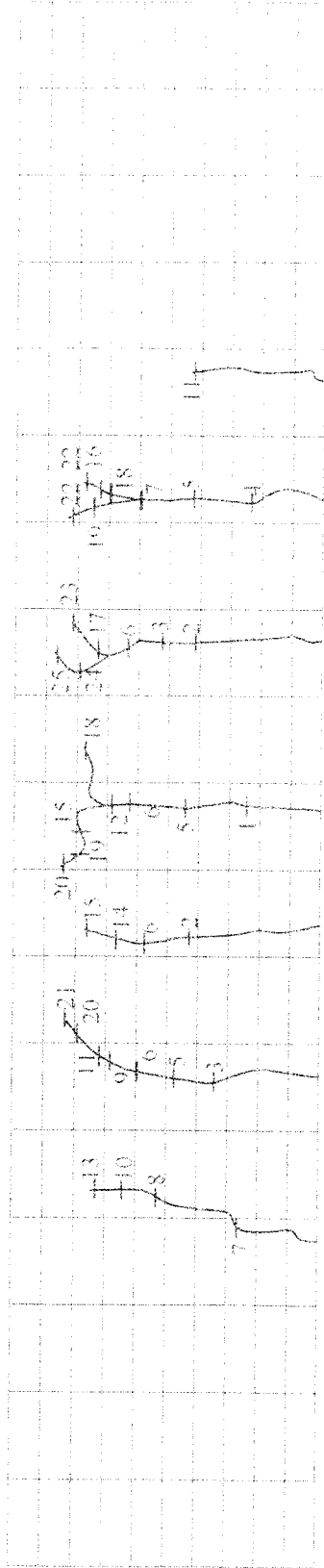


Sampel RCB-B1

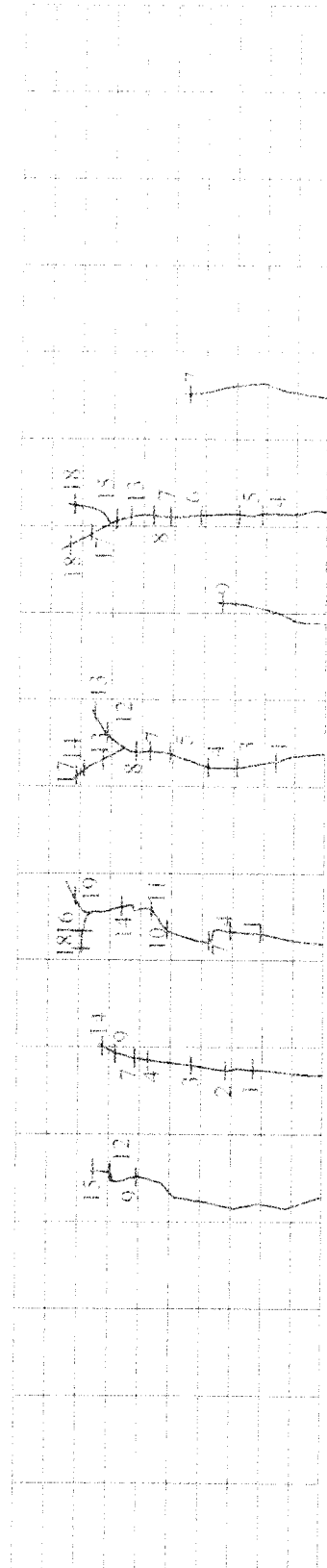


# GAMBAR POLA RETAK BALOK BETON BERTULANG

Sampel RCB-B2

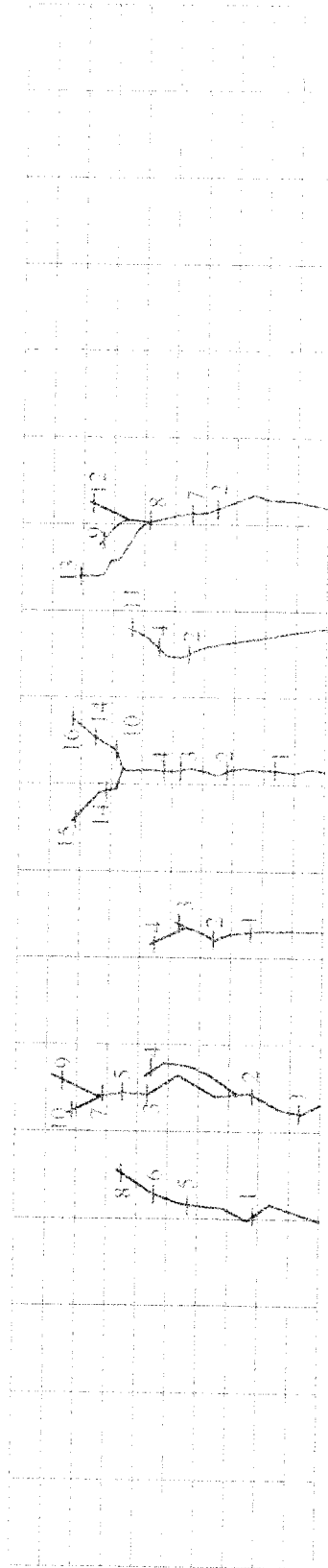


Sampel RCB-C1

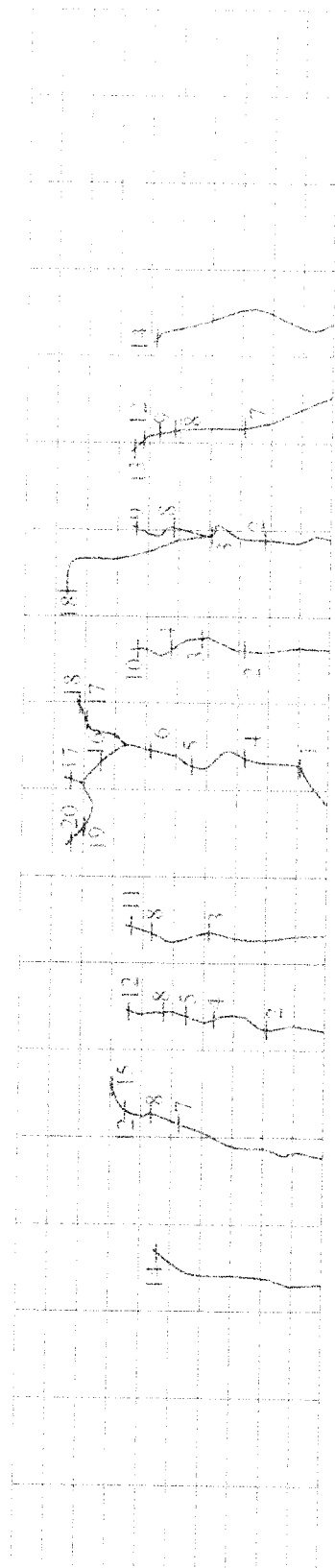


# GAMBAR POLA RETAK BALOK BETON BERTULANG

Sampel RCB-D1

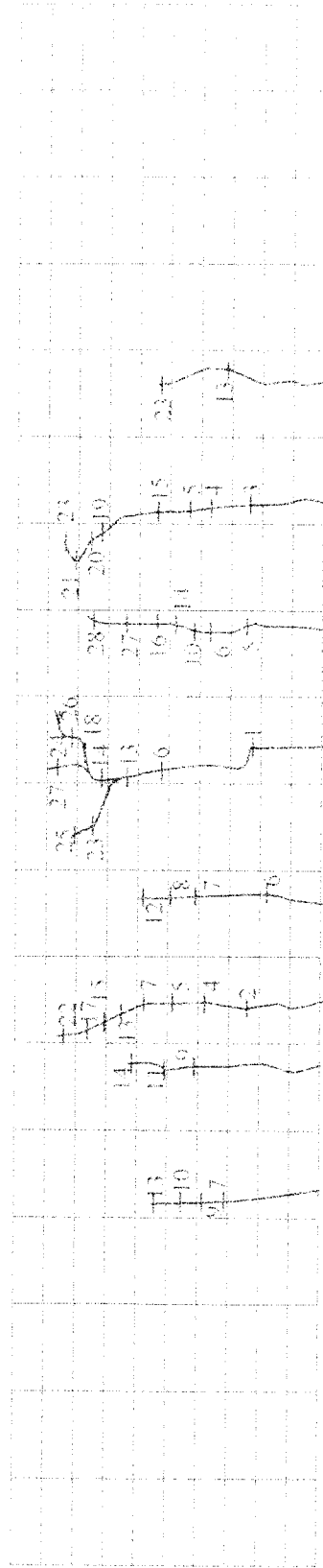


Sampel RCB-D2

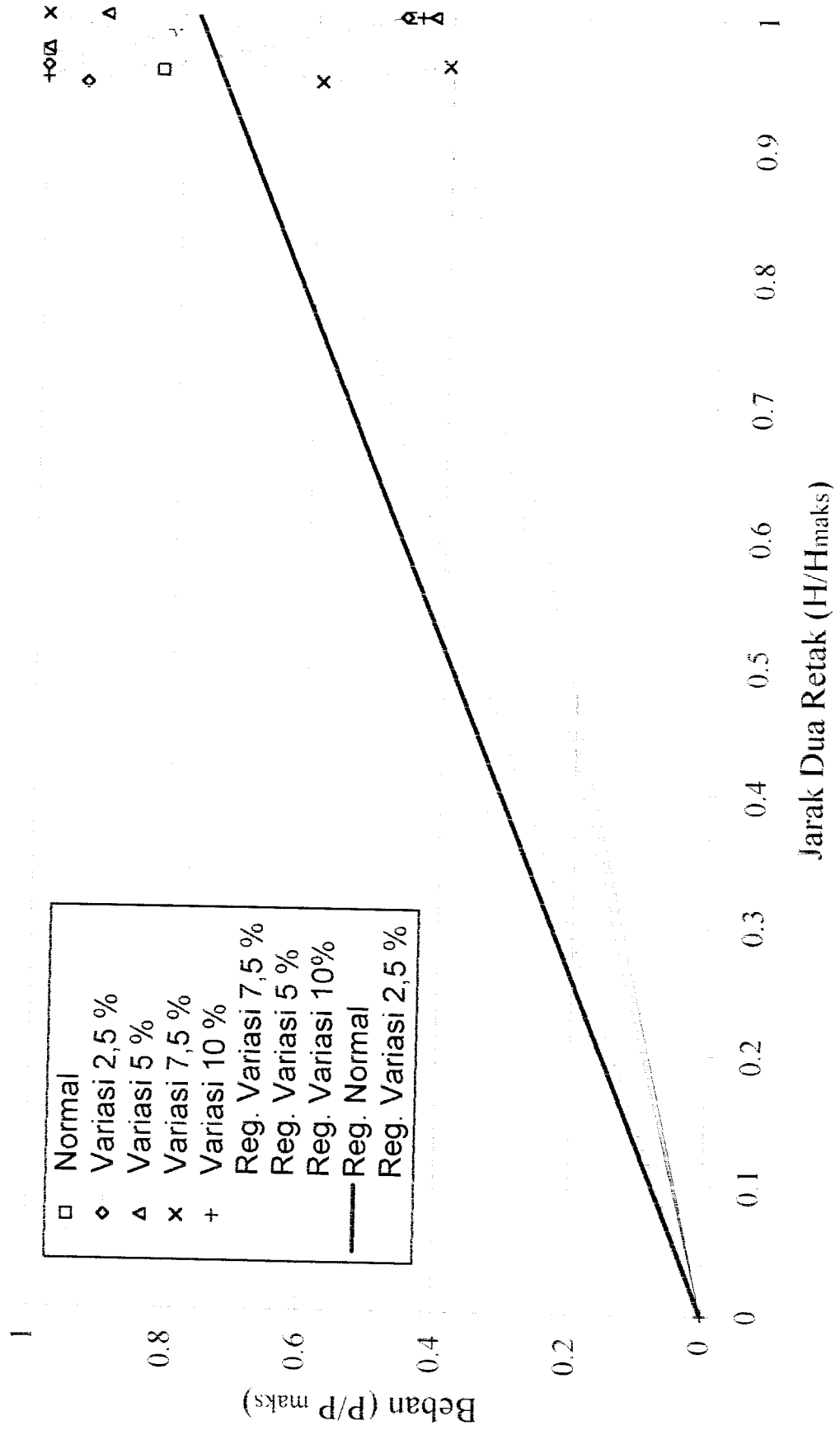


# GAMBAR POLA RETAK BALOK BETON BERTULANG

Sampel RCB-E1

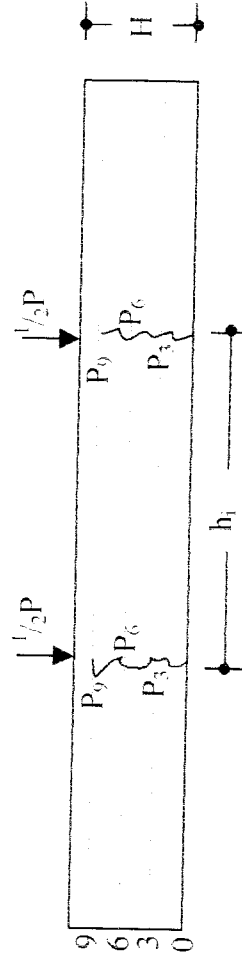


# Grafik Hubungan Beban dan Jarak Dua Retak



## DATA HUBUNGAN BEBAN TERHADAP JARAK DUA RETAK

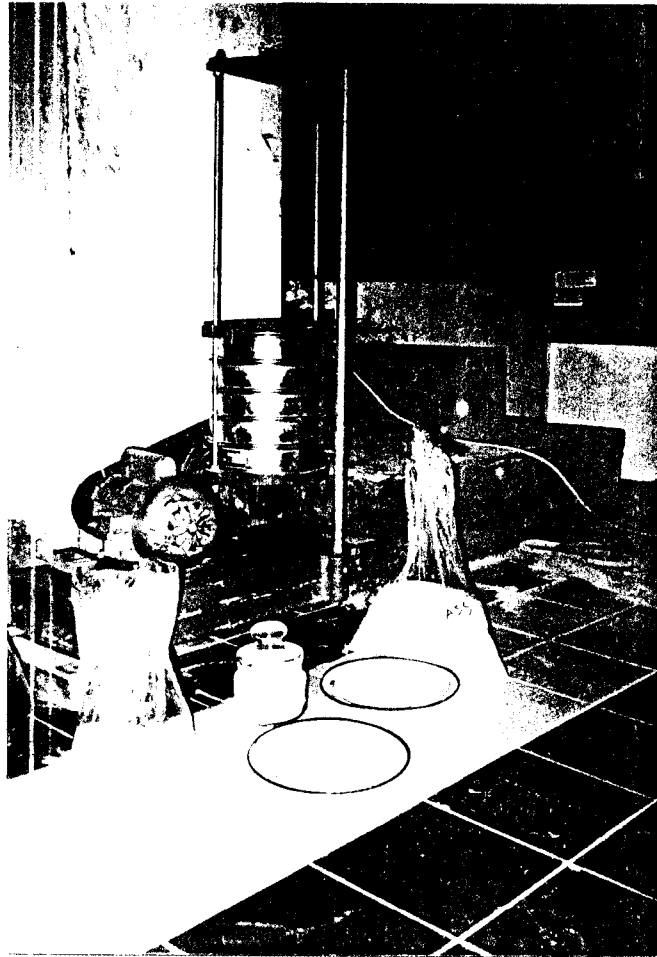
Notasi	SAMPSEL																	
	A			B			C			D			E					
	0	3	6	0	3	6	0	3	6	0	3	6	0	3	6			
$h_i$	0	7,1	6,8	6,9	7,6	7,2	7,3	7,7	7,7	7,5	7,6	7,5	7,9	8,2	8,1	7,8		
$P_i$	0	15	27	32,5	16	32	34	15	32	35	15	22	37	0	17	31		
$H_{maks}$	7,1			7,6			7,7			7,9			8,2					
$P_{Maks}$	32,5			34			35			37			38					



Keterangan :

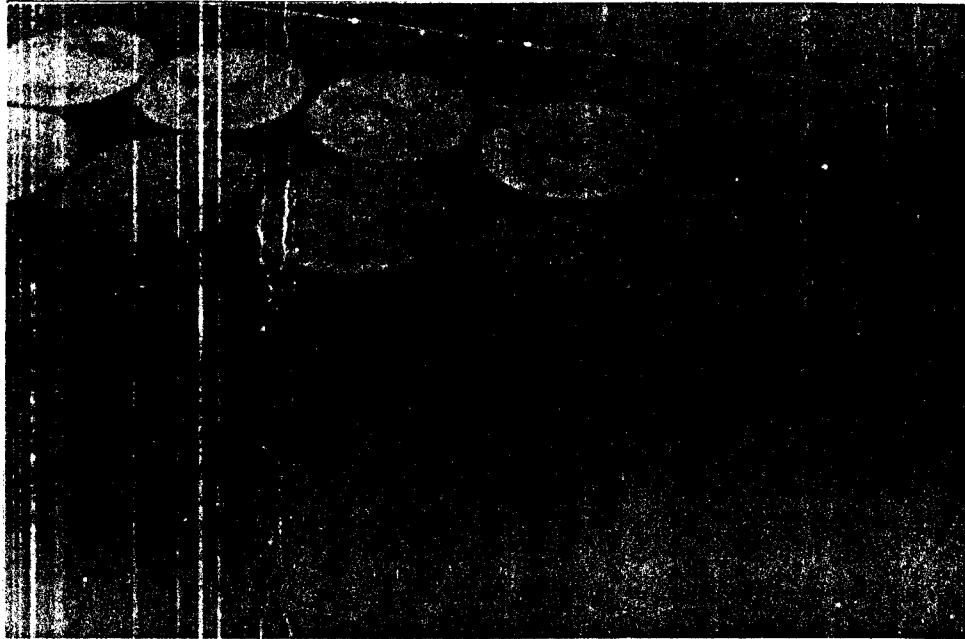
- $h_i$  = jarak 2 retak
- $P_i$  = beban yang bekerja pada saat retak terjadi
- $H_{maks}$  = jarak retak maksimum balok yang terjadi
- $P_{maks}$  = beban maksimum yang dapat ditahan oleh balok

## DOKUMENTASI PENELITIAN

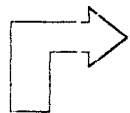


**Foto 1** Proses pengayakan pecahan kaca untuk mendapatkan tepung kaca yang lolos saringan No. 200 ASTM (75 – 150  $\mu\text{m}$ ).

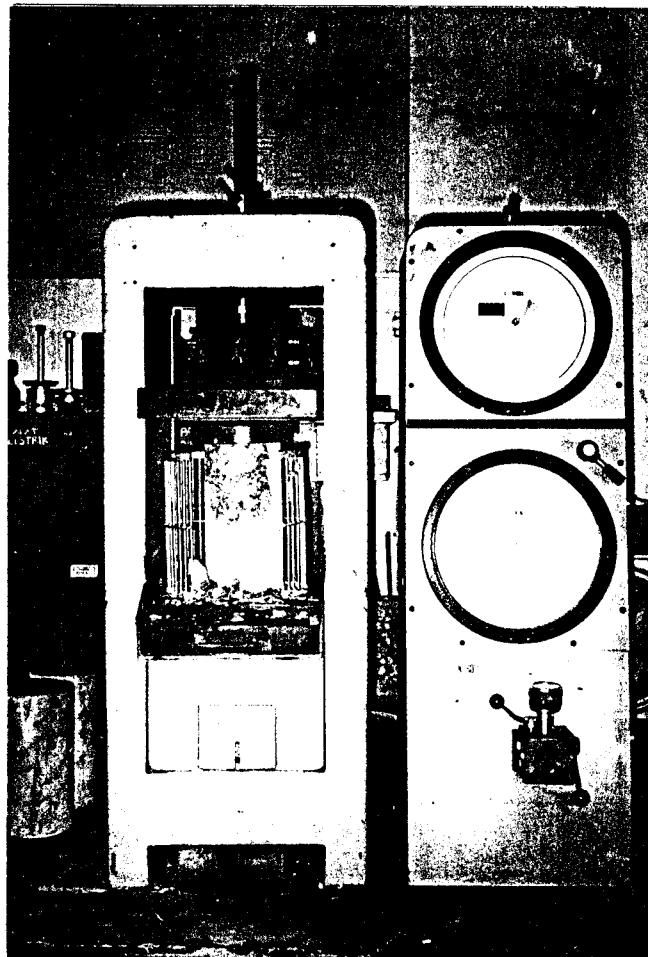
## DOKUMENTASI PENELITIAN



**Foto 2** Proses perawatan silinder beton dengan merendam ke dalam bak selama 28 hari.  
(Test oleh Aryawan & Bobby)

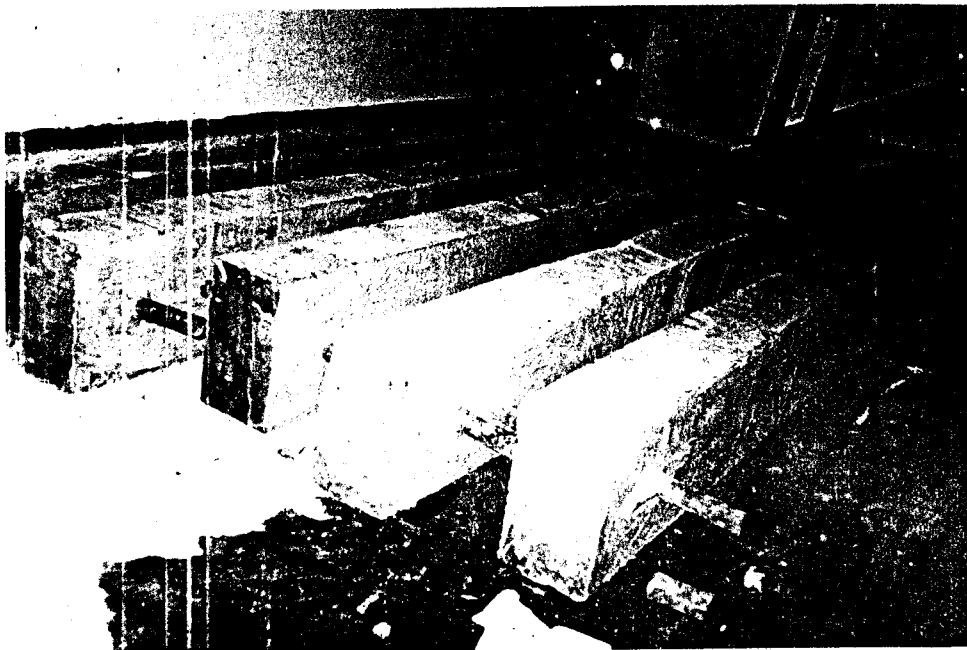


**Foto 3** Pengujian kuat desak silinder beton umur 28 hari.





**Foto 4** Proses perawatan balok beton bertulang yang dilakukan dengan cara menyelimuti dengan karung basah.



**Foto 5** Balok beton bertulang umur 28 hari, dan siap untuk diuji.

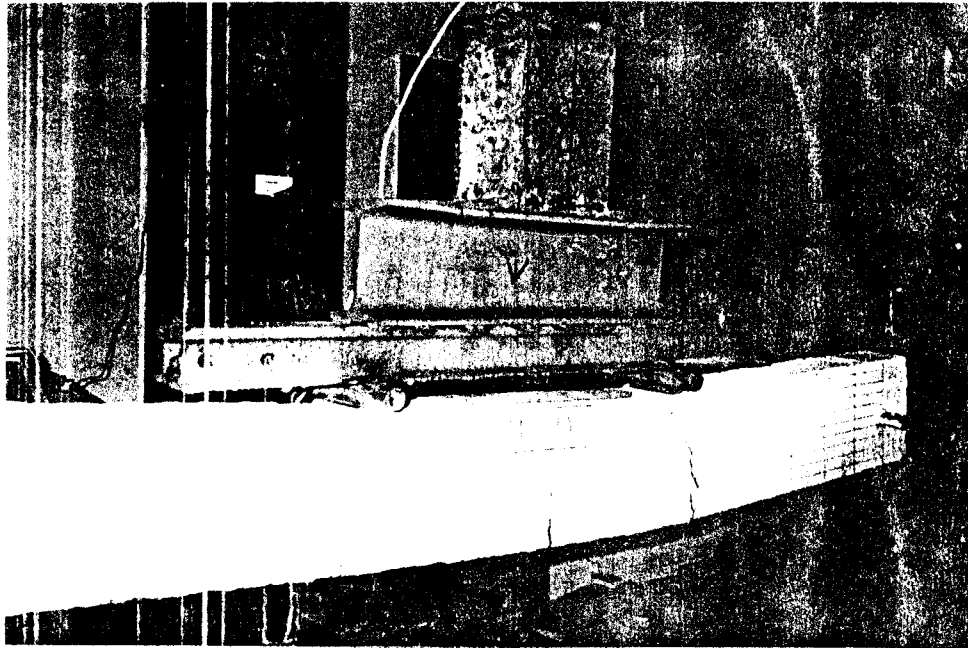


Foto 6 Gambar pola retak lentur pada balok beton bertulang yang mengalami kegagalan lentur sebelum beban mencapai maksimum.

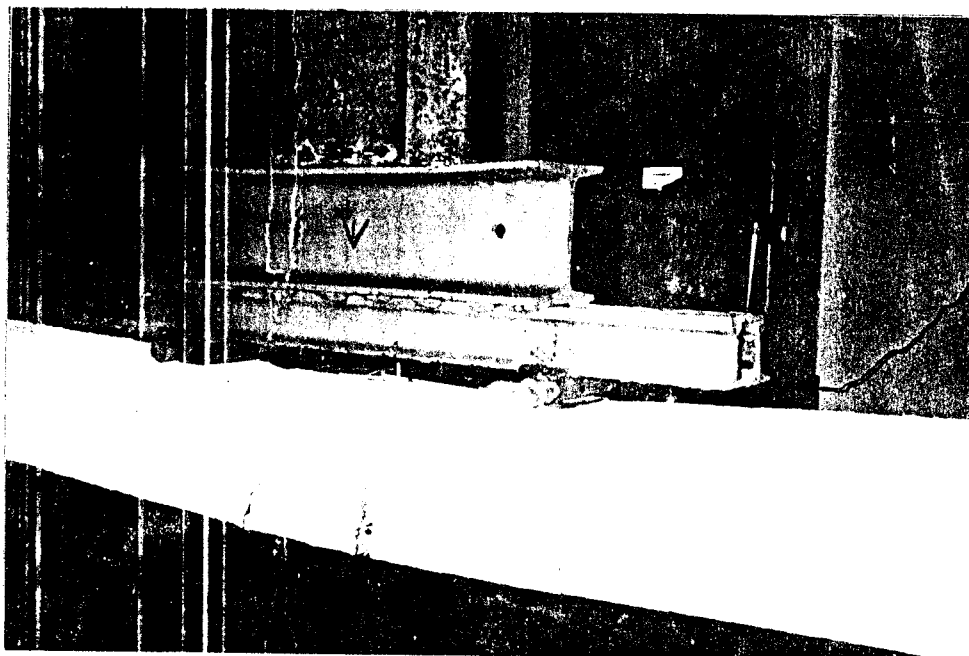


Foto 7 Gambar pola retak lentur pada balok beton bertulang yang mengalami kegagalan lentur setelah beban mencapai maksimum.